

ANEXO I

**USOS POTENCIAIS DAS ESPÉCIES VEGETAIS
IDENTIFICADAS NA ÁREA DE PROTEÇÃO AMBIENTAL
MUNICIPAL SERRAS E ÁGUAS DE PIUMHI - PL
48/2023**



**Usos potenciais das espécies vegetais identificadas na Área de Proteção Ambiental
Municipal Serras e Águas de Piumhi – PL 48/2023**

Estudo preliminar

1. As espécies identificadas

Para elaborar o presente estudo, foi usada a base de dados bibliográfica de usos tradicionais das plantas brasileiras, o Dataplamt (= Banco de Dados de Plantas Aromáticas, Medicinais e Tóxicas). O Dataplamt contém informações sobre os usos tradicionais e locais de ocorrência de cerca de 3800 espécies de plantas nativas do Brasil. As informações inseridas são extraídas de bibliografia e documentos produzidos desde o período colonial até a década de 1950. Nesta época, iniciou-se um progresso desordenado no Brasil, com acelerada implantação de atividades econômicas consideradas “mais rentáveis”, como a mineração de ferro e o agronegócio. A substituição da vegetação nativa por pastagens e monoculturas causou um intenso processo de erosão genética e cultural sobre as plantas úteis e medicinais nativas, levando ao seu esquecimento. O objetivo do Dataplamt é, portanto, disponibilizar, por meio de uma forma moderna e de fácil acesso, informações estratégicas sobre as potencialidades das plantas nativas usadas pelos brasileiros no passado, contribuindo assim para sua valorização e conservação.

Um total de 295 espécies de plantas nativas que ocorrem na Área de Proteção Ambiental Municipal Serras e Águas de Piumhi, e identificadas taxonomicamente, foram submetidas ao Dataplamt. Dessas, 102 (34,6%) estão presentes na base de dados, com indicativo de variados usos tradicionais. Essas espécies estão distribuídas em 50 famílias botânicas (metade), indicando uma grande variedade de usos e composição química diferentes, entre as espécies das plantas. As famílias como maior número de representantes foram Fabaceae (9), Rubiaceae (6) Asteraceae, Myrtaceae e Vochysiaceae (5) e Poaceae (4). Todas as demais famílias tiveram três ou menos representantes. Importante enfatizar que o Dataplamt conta, até o momento, com informações tradicionais extraídas de 114 obras sobre as plantas usadas pelos brasileiros produzidas por 74 autores. As espécies presentes na APA foram citadas por 33 desses autores (44,5%), indicando mais uma vez a importância dos seus usos tradicionais. A relação de todas as espécies identificadas, os usos tradicionais obtidos no Dataplamt e os autores estão descritos na tabela 1.

É importante destacar a existência na APA de plantas citadas na obra de naturalistas Europeus, que percorreram a região no século XIX, entre eles Auguste de Saint-Hilaire (1779-1853), Emmanuel Pohl (1782-1834) e Francis Castelnau (1810-1880). Algumas espécies, observadas na região de Piumhi, foram incluídas por Saint Hilaire na sua obra “Plantas Usuais dos Brasileiros”, na qual são elencadas 70 plantas consideradas por ele as mais importantes. As plantas observadas por esses e outros autores na região da APA estão assinaladas na tabela 1. Outras espécies tiveram citação de vários autores, incluindo dos séculos XVI ao XVIII, indicando a importância dessas plantas ao longo de toda a história do Brasil. A relação de todos os autores que citaram usos tradicionais das plantas identificadas na APA encontra-se junto à tabela 1.

2. Os usos tradicionais das plantas segundo o Dataplant

Os usos tradicionais de cada planta, extraídos do Dataplant, foram classificados e distribuídos em sete categorias:

- I. Medicinais (40 tipos)
- II. Alimentação e bebidas (9)
- III. Cosméticos e edulcorantes (aditivos) (8)
- IV. Produtos tecnológicos (16)
- V. Madeira (5)
- VI. Sucedâneos/ substitutos (9)
- VII. Outros usos (4)
- VIII. Função ecológica (5)

A separação dos usos tradicionais em categorias foi feita para facilitar a compreensão das formas de uso indicado para cada planta. É possível que alguns estejam sendo apresentados em categorias não muito adequadas. Outros usos mais antigos descritos nos textos, como por exemplo planta acre, ácida, para tratar clorose, febres palustres (malária) ou câncer, também não foram consideradas pela irrelevância atual no contexto do estudo.

As formas de uso tradicional em cada categoria, e o potencial representado por cada uma delas, são discutidos no item 3.

3. Usos tradicionais versus potencial das plantas

I. Usos medicinais

Usos	No
Cicatrizante/ feridas/ abstergente	20
Afecções dos rins e bexiga/ diurético/ hidropsia	17
Antifebril	13
Blenorragia/ antissifilítico/ doenças venéreas	13
Digestivo/ dispepsia/ estomacal	13
Laxativo/ purgativo	12
Afecções pulmonares/ bronquite/ peitoral	8
Antirreumático	7
Estimulante/ excitante	7
Vermífugo	7
Apatia/ astenia	6
Dermatose/ sarna	6
Emenagoga/ doença uterinas	6
Histeria/ narcótica/ sedativo	6
Picada de cobras	6
Sudorífica	6
Tônico	6
Afecções do fígado e do baço/ colagogo/ hepatite/ icterícia	5
Afrodisíaco/ impotência	5
Antidisentérico/ diarreia	5
Antídoto	4
Antiespasmódico/ cólicas	4
Cistite/ uretrite	4
Expectorante/ tosses/ tuberculose	4
Herpes	4
Uso veterinário	4
Artrite/ dores articulares/ gota	3
Eméticode/ vomitivo	3
Hemorroïda	3
Orquite/ próstata	2
Carminativo	2
Conjuntivite	2
Depurativo	2
Leucorreia	2
Anestésico	1
Anorexia/ aperiente	1
Antisséptico	1
Asma	1
Odontalgico	1
Sialagogo	1

Entre os usos medicinais (categoria I), o número maior de espécies (20) foi citado como cicatrizante/ feridas/ abstergente (=limpar feridas), seguido de afecções dos rins e bexiga/ diurético/ hidropsia (17). Treze espécies são referidas como antifebril, para tratar

doenças venéreas e como digestivo/ estomacal e para tratar dispepsias. Doze espécies foram citadas como laxativa/ purgativa e oito para tratar problemas respiratórios (bronquite, peitoral). Sete espécies foram indicadas como antirreumático, estimulante/ excitante e vermífuga. Sete diferentes usos foram citados para seis plantas indicadas (apatia, dermatoses, emenagoga, histeria, picada de cobras, sudorífica e tônico). Os demais usos medicinais foram indicados para cinco ou menos espécies. O vasto número de diferentes usos medicinais, e a grande quantidade de espécies distribuídas entre eles, confirma a riqueza vegetal presentes na área em estudo. A relação do número de espécies citadas para cada uso medicinal está na lista abaixo:

Importante esclarecer que, desde a década de 1970 a Organização Mundial da Saúde (OMS) vem apoiando o uso das plantas medicinais validadas pela ciência. Validar uma planta significa confirmar sua eficácia farmacológica e ausência de toxicidade, em laboratório. Por outro lado, desde 2002, a OMS passou a considerar também o desenvolvimento de produtos de plantas medicinais a partir da sua tradicionalidade. Considera-se, nesses casos, que o uso secular de uma planta, para um fim específico, pode atestar a sua efetividade. A Anvisa aceita registros das duas categorias, sendo a primeira chamada de medicamento fitoterápicos e a segunda de fitoterápico tradicional. Quase a totalidade das espécies da tabela 1 apresentaram alguma indicação de uso medicinal na bibliografia histórica, e varias contam com o mesmo uso citado em obras produzidas em diferentes séculos. As plantas que contam com uma linha do tempo para determinado uso têm o que se chama “tradicionalidade”. Desenvolver os fitoterápicos tradicionais com as plantas da região pode representar assim uma forma eficiente de se valorar as plantas.

Outro dado importante a destacar é a ocorrência de grande quantidade de espécies similares às já consagradas como medicinais. É possível que as espécies de *Echinodorus* e *Phyllanthus*, por exemplo, não identificadas, tenham composição química e a mesma utilidade que suas congêneres *Echinodorus macrophyllus* (chapéu-de-couro) e *Phyllantus niruri* (quebra-pedra). Da mesma forma, é possível que outras espécies identificadas desencadeiem também o mesmo efeito que as congêneres consagradas. Exemplos seria *Kielmeyera pumila* (com ocorrência na região) x a reconhecidamente medicinal *Kielmeyera speciosa*. Estudos químicos sejam necessários para comprovar a equivalência na composição das espécies congêneres. O conjunto de todas essas observações confirmam a riqueza e o potencial bioeconômico das plantas da APA.

A categoria II (abaixo), com plantas indicadas para uso na alimentação e preparo de bebidas, foi separada em nove diferentes tipos de uso. Dezessete frutos foram indicados como comestíveis, sendo quatro deles doce/agridoce e outros quatro considerados saborosos. Outros produtos indicados para uso das plantas foram para preparo de bebidas (6), doces/compotas/geleias/sorvetes (3), óleo, tubérculo e palmito. Sete espécies são indicadas para alimentação de animais. Não há dúvidas sobre o potencial dessas espécies tanto para uso caseiro da população quanto para a preparação de produtos comerciais. Importante destacar o mercado em expansão de alimento e outros produtos para os animais.

II. Alimentação e bebidas

Usos	no
Fruto comestível	9
Alimentos para animais	7
Bebida (licor, vinho, suco)/ Refrescante/ refrigerante	6
Fruto doce/agridoce	4
Fruto saboroso	4
Preparo de doces, geleias, sorvetes....	3
Óleo culinário	2
palmito	2
Tubérculo comestível	1

Na categoria III (abaixo) foram reunidos produtos que podem ser usados na preparação de cosméticos, alimentos e medicamentos. Dezoito espécies são citadas no Dataplant como aromáticas, ou seja, têm óleos voláteis na sua composição, sendo duas indicadas especificamente para uso em perfumaria. Outras 11 são indicadas como demulcente ou contendo mucilagens, que são “calmante da pele”. Oito espécies são indicadas como adstringente, com uso como tônico, seguido de duas espécies com efeito balsâmico e uma contra manchas da pele. Oito espécies são amargas, três doces e um usada como condimento.

III. Cosméticos e edulcorantes (aditivos)

Usos	no
Aromático/ óleo volátil	18
Demulcente/ mucilagem	11
Adstringente	8
Amargo	8
Sabor doce	3

Balsâmico	2
Condimento	1
Manchas na pele	1

Na categoria IV foram incluídos usos tradicionais que poderiam ser aproveitados como aditivos no desenvolvimento/ inovação de bioprodutos. O maior número de plantas (13) foi indicado para uso no curtume, devido ao elevado teor de taninos. Esta é uma prática em desuso na atualidade, mas o ácido tânico, componente dos taninos, é aproveitado na indústria de alimentos, sucos, cervejaria, cosméticos, farmacêutica e indústria química. Ele é usado na estabilização da cor do vinho e refrigerantes a base de cola, por exemplo. Doze espécies citadas contêm fibras, inclusive têxteis, e outras resistentes para cordoaria. A produção de tecidos e cordas com esses materiais servem como alternativa natural para a produção de cordas e tecidos, contribuindo para a redução dos níveis de microplásticos despejados na natureza. Nove plantas com pigmentos amarelo, vermelho e preto foram indicadas para uso em tinturaria, sendo a busca por esses pigmentos naturais também intensa, como forma de substituição às substâncias sintéticas. Várias espécies foram citadas por contêm amido, gomas, resinas, verniz e óleos combustíveis, materiais usados industrialmente para diferentes fins. Duas espécies foram indicadas também para a produção de álcool.

IV. Produtos tecnológicos

Usos	no
Curtume/ tanino	13
Cordoaria/ fibras/ fibras têxteis/ estopa	12
Corante/ pigmento/ tinturaria (preta, vermelho, amarelo)	9
Oleoresina/ resina	5
Cobertura casas	3
Goma	3
Sabão	3
Álcool	2
Amilácea/ farinha	2
Borracha	1
combustível	1
Óleo iluminação	1
verniz	1

Mais de vinte espécies foram indicadas para aproveitamento da madeira (categoria V), para fins comuns (marcenaria, mastros, soalhos, etc.) e estão descritas na lista abaixo.

Obviamente não é de nosso interesse estimular esses usos antigos para as plantas, uma vez que o objetivo do estudo é contribuir com dados que promovam a conservação da área. No entanto, é interessante destacar a existência de grande demanda hoje de madeiras flexíveis para uso em tanoaria e envelhecimento de bebidas, como a cachaça. Buscar formas de cultivar e incluir essas árvores em programas de reflorestamento poderia se transformar numa fonte de renda no futuro.

V. Madeira

Usos	no
Madeira (usos comuns e diversos)	23
Tanoaria	3
Celulose	2
Ebanosteria	1
Madeira de lei	1

Na categoria VI estão reunidos “usos” que tem funções ecológicas por manter o equilíbrio entre os indivíduos. Dez espécies foram indicadas como forrageiras, que precisariam ser introduzidas em áreas como predominância da invasora *Brachiaria*. Nove espécies são indicadas como alimento de animais silvestres e como atrativo para pássaros: além de contribuir com o equilíbrio natural da área, a presença desses animais pode estimular também o turismo ecológico.

VI. Função Ecológica

Usos	no
Forrageira	10
Alimento animais silvestres	5
Atrativo de aves	4
Melífera	3
Mirmecófila	1

Na categoria VII, dezoito espécies foram indicadas como ornamental, o que dispensa comentários sobre o seu potencial econômico. Já as plantas venenosas, na maior parte com efeito citotóxico, podem fornecer substâncias químicas úteis para tratar doenças como câncer. Estes seriam produtos a serem obtidos a longo prazo. Importante destacar as três espécies usadas no passado para repelir e eliminar os insetos: trata-se de uma emergência atual no combate de doenças.

VII. Outras características/ usos

Usos	no
Ornamental	18
Venenoso	10
Insetífuga/ inseticida	3
Ictiotóxica	1

As nove espécies da categoria VIII foram indicadas como substitutas de outras plantas introduzidas (chá verde, pimenta do reino), ou produtos importados pela indústria (alcaçuz, goma acácia, terebintina). A substituição de produtos do exterior pelos nacionais contribuiria não apenas com a economia de recursos financeiros, mas também com a valorização da sociobiodiversidade brasileira.

VIII. Sucedâneos/ substitutos

Alcaçuz
Cedro (óleo)
Chá da índia/ chá verde
Goma acácia
Incenso do oriente
Maná
Pimenta do reino
Terebintina
Vime

Considerações finais

É inquestionável a importância cultural e econômica das plantas presentes na APA de Piumhi, e a necessidade de sua proteção e aproveitamento adequado, inclusive a partir do desenvolvimento de bioprodutos. Encerro este relatório apresentando textos do naturalista A. de Saint-Hilaire que, há 200 anos, já chamava a atenção para a necessidade de proteção da flora nativa brasileira.

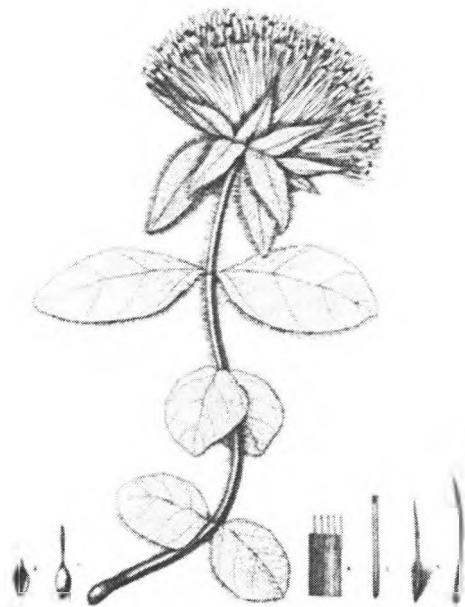
"Seja como for, sente-se que a matéria médica dos brasileiros, baseada unicamente no empirismo, deve ser muito imperfeita. Todavia, entre tantas plantas às quais se atribuem falsamente propriedades maravilhosas, algumas existem que realmente fornecem remédios eficacíssimos. Se existisse no Brasil maior número de homens instruídos, o governo desse país faria obra de grande utilidade, nomeando em cada província uma comissão que se encarregasse de submeter a exame minucioso todas as plantas de que se utilizam os colonos para aliviar seus males. Por esse meio, poder-se-ia chegar a constituir, para os vegetais, uma matéria médica brasileira, que elucidaria os colonos a respeito de remédios ineficazes ou perigosos, e, ao mesmo tempo, daria a conhecer aos nacionais e estrangeiros grande número de plantas benéficas. Trabalho de tal envergadura não se poderá fazer, sem dúvida, senão daqui a longos anos. Possa ao esperar a que vier, a obra que publiquei sobre as Plantas Usuais do Brasil³¹⁸ tomar o lugar, tanto quanto possível, de uma matéria médica mais aprofundada, e provar aos brasileiros o desejo que tenho de lhes demonstrar meu profundo reconhecimento mediante um trabalho que lhes seja útil!"

Viagens pela pelas províncias do Rio de Janeiro e Minas Gerais.

Abaixo incluímos textos sobre quatro espécies presentes na APA extraídos da obra "Plantas Usuais dos Brasileiros" de Auguste de Saint-Hilaire: *Gomphrena arborescens*, *Helicteres sacarrolha*, *Croton antissifiliticus* e *Erytroxylum suberosus*:

"PARA TODO, PERPÉTUA, RAIZ DO PADRE SALERMA. LOCALIDADES. Esta planta é comum nos pastos naturais da província de Minas Gerais, e nas do norte da província de São Paulo. Florece do mês de dezembro ao mês de março."

"A acreditar nos agricultores do interior do Brasil, a raiz dessa planta seria própria para curar todos os males. Eles a empregam particularmente nas febres intermitentes, na cólicas, na diarréia; pretendem que ela é boa contra a mordida de serpentes; dizem que ela fortifica o estômago, os intestinos, etc. Não se poderia acreditar em tantas virtudes diferentes reunidas num só vegetal, e, infelizmente, a analogia não pode aqui nos ajudar a descobrir a verdade, porque até o presente, como bem observaram Candole e Martius, nenhuma planta da família das Amaranthaceas tinha sido assinalada por suas propriedades medicinais. Por outro lado, entretanto, a raiz do Paratudo é geralmente louvada demais para que não tenha, em certos casos, produzido efeitos: logo, é de se desejar que algum médico instruído faça experiências sistemáticas com a planta em questão, e que procure distinguir o que há de verdade nos relatos maravilhosos sobre as curas atribuidas a essa mesma planta.* *É preciso evitar confundir a Gomphrena officinalis com uma árvore da família das Apocináceas, que é também conhecida na província de Minas com o nome de Paratudo, e que por sua vez farei conhecer nesta obra."



"SACAROLHA, ROSEA PARA MALAS. LOCALIDADES. Essa planta, que varia um pouco pela forma e pela pubescência de suas folhas, foi colhida em vários lugares do Brasil, mais frequentemente na província de Minas, a saber: nos campos perto da cidade de Paracatu, nos campos de Taracambi, perto de Nossa Senhora da Penha de Minas Novas, perto do povoado de Contendas e Olho d'Água, na sua parte ocidental e deserta chamada Certao, perto de Formiga na sua parte meridional. Foi encontrada também nas pastagens mistas perto de Pindamonhangaba, não longe de Taubaté, cidade da província de São Paulo. Colhidas do mês de março ao mês de agosto, essas amostras apresentam todas as fases, da passagem do botão ao fruto, depois da dispersão das sementes."

"USOS. A decocção de sua raiz é administrada nas afecções venéreas. Ignoramos a partir de que efeitos é empregado esse medicamento, mas imaginamos que é como mucilaginoso e emoliente que ele serve para prevenir ou combater os acidentes inflamatórios nessas doenças. Realmente, vê-se, fazendo uma infusão das flores dos diversos *Helicteres* na água fervente, que eles contêm uma grande quantidade de mucilagem, da mesma forma que a maioria das Malváceas. Os autores dão pouca informação sobre as propriedades medicinais das outras espécies desse gênero. Lê-se simplesmente em Reed, a propósito da *Helicteres Isora*, que, na Índia, o suco de sua raiz era administrada com sucesso, como bebida, na cardialgia, e aplicada externamente contra os abcessos e as inflamações da pele; é provável que esse medicamento tenha tido êxito nesses casos em virtude dos mesmos princípios."



"PÉ DE PERDIZ (no interior da Província de Minas), **ALCANFORA** (no deserto do Rio São Francisco), **COCALEIRA** (na Província de São Paulo).

LOCALIDADES. Possuímos amostras desta espécie provenientes de diferentes pontos do Brasil. Aquelas que deram origem a esta descrição tinham sido coletadas no mês de março nos campos perto de Tanque, na parte da província de Minas chamada Comarca do Rio das Mortes. Foi encontrada também facilmente nos campos perto de Tapeira, casa de campo situada a algumas léguas de Paracatu, no deserto do Rio São Francisco. Enfim, alguns galhos colhidos em outubro, perto de Mogim, na parte setentrional da província de São Paulo, pertencem sem dúvida a esta espécie da qual só diferem pelas folhas um pouco maiores e mais velutinas."

"Usos. A decocção dessa planta é diurética; ela é também empregada contra a sifilis. Sabe-se que meios bastante suaves, os sudoríferos, por exemplo, são suficientes para curar essa doença, que, no nosso clima mais frio, só cede a um tratamento mais enérgico. A propriedade excitante que existe tão frequentemente nas Euforbiáceas está presente nesta, em graus diversos, e produz consequentemente efeitos variáveis, segundo a espécie ou a parte que é utilizada. O gênero Croton oferece um exemplo notável: as sementes de algumas dessas espécies fornecem à medicina um desses efeitos mais violentos e drásticos; a madeira ou a casca de algumas outras é emético, sudorífico ou simplesmente aromático. A que acabamos de apresentar (*C. perdipes*) é ainda célebre na província de Minas, pela virtude que se lhe atribui, qual seja a de se curar das mordidas das serpentes. Pretende-se, enfim, que a aplicação das folhas, se frescas e moidas ou secas e reduzidas a pó, favorece a cura das feridas." **Localidades.**

Possuímos amostras desta espécie provenientes de diferentes pontos do Brasil. Aquelas que deram origem a esta descrição tinham sido coletadas no mês de março nos campos perto de Tanque, na parte da província de Minas chamada Comarca do Rio das Mortes. Foi encontrada também facilmente nos campos perto de Tapeira, casa de campo situada a algumas léguas de Paracatu, no deserto do Rio São Francisco. Enfim, alguns galhos colhidos em outubro, perto de Mogi, na parte setentrional da província de São Paulo, pertencem sem dúvida a esta espécie da qual só diferem pelas folhas um pouco maiores e mais velutinas.



"GALINHA CHOCA, MERCÚRIO DO CAMPO. LOCALIDADES. Essa espécie se encontra nos planaltos cobertos de matas chamadas Carascos, perto de Piedade (Minas Novas) e nos campos perto de Canoas e Corgo do Matias, no Certao da província de Minas. Foi coletada com flores em maio e setembro."

"USOS. Obtém-se da casca dessa planta uma tinta fulva, que dizem ser firme."



REFERÊNCIAS!!

**Usos tradicionais das plantas identificadas na Área de Proteção Ambiental Municipal Serras e Águas de Piumhi – PL 48/2023,
autores do século 16 até o ano de 1950 que os registraram (índices¹⁻³⁴), e evidências recentes de bioatividade**

Família/ espécie / nome popular/autores	Local de ocorrência	Usos tradicionais	Bioatividade e outros estudos
1 <i>Gomphrena arborescens</i> L.f./ Paratudo ^{3,4,6,16,17,19,29,30,34}	B. Belinha	Amargo, anorexia, antidiarreico, antiespasmódico, anti febril, antirreumático, aromático, astenia, dispépsia, Enterite, estomacal, excitante, purgativo, picada de cobras, tônico	Nenhum
2 <i>Pfaffia juhatá</i> Mart./ Macela-branca ²⁹	B. Belinha	Digestivo, purgativo	Pode ser substituto do ginseng brasileiro <i>Pfaffia glomerata</i> (Cotrim Ribeiro e cols. 2024)
3 <i>Anacardium</i> <i>obtusa</i> (Benth.) J.D.Mitch. (Pombeiro) ²⁹	Centro de Formação	Alimento para animais silvestres, atrativo para aves, curtume, madeira (carpintaria, construção naval, lenha, marcenaria, obras internas)	Nenhum
4 <i>Anemia cf. tomentosa</i> (Sav.) Sw. / Espigade-ferrugem ⁴⁴		Goma elástica, oleoresina, vulnerária	Repelente de insetos (Gillij e cols., 2008)
5 <i>Annona coriacea</i> Mart./ Araticum ^{9,11,20,34}	B. belinha	Antidiarreico, aromático, fibras, fruto doce, óleo culinário	Antitumoral in vitro (Gomes e cols., 2019); antifúngica (Almeida-Apolonio e cols., 2018)
6 <i>Duguetia furfuracea</i> (A. St.-Hil.) Saff./ Araticu-cagão ^{29,34}	C. pedras	Combate de piolhos e pulgas, cordoaria, fibras, fruto saboroso, madeira flexível (tanoaria), picada de cobras	Anti-inflamatório (Saldanha et al., 2021)

7	<i>Xylopia sericea</i> A. St.-Hil. ^{3,6,9,28,34}	C. pedras	Antiespasmódico, carminativo, condimento, cordária, estimulante, estopá, fibras, madeira (elástica, mastros, construção civil, barcos), óleo volátil, ornamental, perfumaria, substituto da pimenta do reino, tônico, vermífugo	Auxiliar regimes de emagrecimento (Oliveira e cols., 2018)
8	<i>Mandevilla illustris</i> (Vell.) Woodson/ jalapa ^{6,29}	B. belinha	Ornamental, purgativo forte, resina, picada de cobras, venenoso para o gado.	Nenhum
9	<i>Mandevilla tenuifolia</i> (J.C. Millan) Woodson/ purga-de-pastor ^{6,29,30}	C. pedras	Apatia, purgativo forte, uso veterinário, venenoso para o gado.	Nenhum
10	<i>Mandevilla velutina</i> (A.St.-Hil.) Pichon (Velame) ^{3,29}	Serra da Pimenta	Antissifilitico, depurativo, feridas dos animais, venenoso.	Nenhum
11	<i>Thaumatophyllum bipinnatifidum</i> (Schott ex Endl.) Sakur. [*] Calacans & Mayo (Cipó imbé) ^[1,28,29,34]	Abaixo da Belinha	Alimento para animais, antineurártico, construção de choupanas, feridas, fibras resistentes, fruto saboroso, orquíte, preparo de doces, sabor doce, vassouras, vermífugo	Nenhum
12	<i>Euterpe edulis</i> Mart. (Juçara) ^{2,3,4,11,16,17,19,23,27,29,31,33,34}	Água Limpa	Bebida, cicatrizante, cobertura de casas, encanamentos, feridas, forrageira, fruto saboroso, madeira (ripas, construção civil), óleo e palmito comestíveis, ornamental, preparo de álcool, vinho, sabão, vassouras.	Dezenas de estudos demonstrando benefícios do consumo dos frutos para a prevenção de várias doenças
13	<i>Geonoma schottiana</i> Mart. (Guaricana) ^{2,29,34}	Abaixo da Belinha	Cobertura de casas, cestos, madeira flexível, objetos trançados, ornamental, peneiras.	nenhum
14	<i>Syagrus jucuosa</i> (Mart.) Becc./ Coco- de-Quaresma ^{6,11,12,17,18,29,34}	Abaixo da Belinha	Amêndoas comestíveis, fibras, fruto comestível, óleo culinário, ornamental, palmito comestível, preparo de álcool.	nenhum

15	Aristolochiaceae <i>Aristolochia labiata</i> Willd./ Angelicó ^{6,29,34}	Belinha	Abortivo, amargo, anti-histérico, antiasmático, antifebril, anisséptico, dispêscia, diurético, dores reumáticas, feridas crônicas, gota, impotência, óleo volátil, ornamental.	nenhum
16	Asteraceae <i>Chresta sphaerocephala</i> DC. ¹⁷	Morro da Onça	Ornamental	nenhum
17	<i>Elephantopus micropappus</i> Less./ Sucuia ²⁹	Serra da Pimenta	Antifebril, sudorífico.	nenhum
18	<i>Lychnophora ericoides</i> Mart. (<i>Amica</i>) ^{3,29}	Serra da Pimenta	Aromático, combustível, curtume, madeira para palitos, objetos torneados, cercas, obras expostas à umidade, esteios, lenha e carvão.	Cicatrizante de feridas (Marinho e cols, 2023)
19	<i>Vernonanhuura brasiliiana</i> (L.) H.Rob./ Assa-peixe	Centro de Formação	Aromático, conjuntivite, estimulante.	Contra leishmaniose in vitro (Froes e cols., 2023)
20	<i>Begonia angularis</i> Raddi / <i>Begonia</i> ²¹	laranjinhas	Ornamental.	nenhum
21	Bignoniacae <i>Anemopaegma arvense</i> (Vell.) Stellfeld ex de Souza (Catuaba) ^{28,29,30,32}	Serra da Pimenta	Afrodisíaco, antianêmico, antissifilitico, afecções nervosas, estimulante, impotência, paralisia, peitoral, tônico	Disfunção erétil (Teixeira e cols, 2024), micropropagação para cultivo da planta (Pereira e cols, 2003)
22	<i>Zepheria montana</i> Mart. / bolsa-de-pastor ^{28,30,31}		Antissifilitico, dermatoses, venenosos.	Imunomodulador (Seito e cols., 2014)
23	Bromeliaceae <i>Acanthostachys strobilacea</i> (Schult. & Schult.f.) Klotzsch / Caraguatá ²⁹	C. pedras	Ornamental.	nenhum

	Calophyllaceae		
24	<i>Calophyllum brasiliense</i> Cambess./ Jacareíuba ^{1,5,6,8,11,19,29}	Abstergente, alimento para animais silvestres, aves, porcos, amargo, antireumático, arborização, aromático, balsâmico, estopa, feridas crônicas, fruto doce, madeira de lei (carpintaria, caixotaria, mastros, construção civil, naval, marcenaria, obras internas, taboadio), melifera, óleo iluminação, oleoresina, resolvente, substituto da terebinfina e cedro, uso veterinário.	Tratamento de feridas (Lordani e cols., 2015), antiparasitário (Leishmania e T. cruzi)(Cardos e cols., 2017; Roçirigues-Hernandez e cols., 2019). Estudo sobre a propagação da planta (Nery e cols., 2016)
25	<i>Trema micranthum</i> (L.) Blume ²⁹	Vila Goga	Obtenção de canabidiol
26	<i>Plenckia populnea</i> Reissek./ Mangabarana ²⁹	B. belinha	Nenhum
27	<i>Terminalia glabrescens</i> Mart./ Araça d'água ²⁹	Centro de Formação	Antidiisenérico, madeira (carpintaria, objetos torneados, construção civil, marcenaria), substituto do vime.
28	<i>Commelina obliqua</i> Vahl./ batata-ovo ^{29,34}	Serra da Pimenta	Curtume, madeira de lei (carpintaria, dormentes, construção civil, esteiros, marcenaria), pigmento, tinturaria
29	<i>Tripogandra diuretica</i> (Mart.) Handls (Trapoeira) ^{3,6,19,24,28,29,32}	Abaixo da Belinha	Amilacea, hidropsia, demulcente, forrageira, manchas na pele, mucilagem, ornamental, sabor doce, tubérculos comestíveis, vermífugo
30	<i>Melothria campestris</i> (Naudin) H. Schaeff. & S.S. Renner/ melancia do campo ²⁹	Serra da Pimenta	Alimento para animais, antireumático, antibiorrágico, cistite, constipação, hemoroidal, diurético, demulcente, forrageira, herpes, leucorréia, ornamental, uretrite
			Nenhum

	Cyperaceae			
31	<i>Bulbostylis junciflomis</i> (Kunth) C.B.Clarke/ Cafuz ²⁹	Serra do Andaiáme	Alimento para o gado, forrageira	Nenhum
32	<i>Cyperus hortensis</i> (Salzm. Ex Steud.) Dorr/ capim de um só botão ²⁹		Forrageira	Nenhum
	Dilleniaceae			
33	<i>Davilla elliptica</i> A. St.Hil./Sambaibinha ^{3,6,19,24}	Morro da Onça	Adstringente, feridas, inchaço das pernas e dos pés, mucilagem, orquite, vulnerária.	Gastroprotektiva contra <i>H. pylori</i> (Kushima e cols., 2009)
	Droseraceae			
34	<i>Drosera montana</i> A. St.Hil. ²³	Serra do Andaiáme	Pigmento vermelho, tinturaria	Nenhum
	Euphorbiaceae			
35	<i>Croton amisyphiliticus</i> Mart./ Alcafora ^{3,6,19}	B. belinha	Antidiáfrágico, antirreumático, antissifilítico, diurético, estimulante, feridas, picada de cobras, purgativo forte, sudorífico.	Antioxidante (Silva e cols., 2020), anti-inflamatório (Reis e cols., 2014)
36	<i>Euphorbia potentilloides</i> Boiss./ Andorinha ^{3,6,29}	B. belinha	Conjunilívit, feridas crônicas.	Nenhum
37	<i>Tragia volubilis</i> L. ²⁹	laranjeiras	Aperiente, diurético, doenças cutâneas, feridas, suorífico.	Auxiliar no tratamento do câncer (Bailón-Moscovo e cols., 2023)
	Erythroxylaceae			
38	<i>Erythroxylum tortuosum</i> Mart./ cabelo-de-negro ^{6,9}	C. pedras	Adstringente, madeira (capintaria, construção civil, obras externas), pigmento, tintura: a preta e vermelha, tanino	Nenhum
39	<i>Erythroxylum suberosum</i> A. St.-Hil./ Azoague-do-campo ^{3,6,24,29}		Adstringente, atraiivo para aves, curutume, madeira para carpintaria e marcenaria, pigmento, tintura preta e vermelha, purgativo forte, tanino.	Auxiliar no tratamento do câncer (Macetio e cols., 2016)
	Fabaceae			
40	<i>Bauhinia holophylla</i> (Bong.) Steud./ tamanduá ²⁹	Serra da Pimenta	Madeira para caibros, moiroes, iehna e carvão.	Anti-dengue (Santos e cols., 2021), anti-candida (Fonseca e cols., 2022)
41	<i>Clitoria gianensis</i> (Aubl.) Benth./ espelina ²⁹	Serra da Pimenta	Alimento para cavalos, cistite, diurético, forrageira, purgativo, uretrite, venenoso.	Nenhum

42	<i>Dalbergia miscolobium</i> Benth./ Cabiúna do campo ^{10,29}	Serra da Pimenta	Madeira, pigmento, tinturaria	Nenhum
43	<i>Desmodium platycarpum</i> Benth./ amores do campo seco ²⁹	Serra da Pimenta	Forrageira	Nenhum
44	<i>Dimorphandra mollis</i> Benth./ faveira ²⁹	Serra da Pimenta	Curtume, enchimento de almofadas, colchões, travesseiros, cangalhas e selas, tanino.	Obtenção do flavonoide querceína com valor comercial
45	<i>Hymenaea stignocarpa</i> Mart. ex Hayne/ jatobá do cerrado ^{6,9,24,29}	Serra da Pimenta	Afecções das vias respiratórias, alimento para porcos, balsamo, cordearia, curiume, farinha fibras, fruto comestível, laxativo, madeira (carpintaria, dormentes, postes, construção civil, naval, esteios, marcenaria, obras hidráulicas, tanoaria) resina, sabor doce, tosses crônicas, tuberculose, verniz, vidragem de louças.	Anti-inflamatório intestinal (Boniface e cols., 2027)
46	<i>Leptolobium dasycarpum</i> Vogel/ Chapada ²⁹	C. pedras	Ornamental	Nenhum
47	<i>Periandra mediterrânea</i> (Vell.) Taub. (Alcaçuz do Brasil) ^{2,6,9,29,34}	Bacia da Belinha	Afecções pulmonares, ornamental, sabor doce, substituto do alcaçuz.	Componente com sabor doce (Sittistri e cols., 1993)
48	<i>Platygodium elegans</i> Vogel. ²⁹	Cachoeira da Belinha	Ornamental, madeira para carpintaria, cabos, marcenaria, obras internas.	Nenhum
49	Gentianaceae <i>Deianira nervosa</i> Cham. & Schleidl /centaurea do Brasil ²⁹	Morro da Onça	Amargo, antifebril, dispépsia, vermífugo	Nenhum
50	Lauraceae <i>Ocotea pulchella</i> (Nees & Mart.) Mez/ Canela preta	Centro de Formação	Afecções uterinas, emenagoga, estomacal madeira (vigas, dormitórios, moirões, cercas, esteios, marcenaria, taboadão). tônico.	Antifúngica (Souza e cols., 2023)
51	Loranthaceae <i>Psittacanthus robustus</i> (Mart.) Mart./ erva de passarinho ^{28,34}	Caldo de Cana	Feridas crônicas	Nenhum
52	<i>Siruhamia flexicaulis</i> (Mart.) Mart. ²⁹	C. pedras	Alimento para aves, borracha, curtiure, leucorreia	Controle da poluição do ar (Paula e cols., 2015)

53	Malpighiaceae <i>Brysonima verbascifolia</i> (L.) DC/ murici ^{6,11,29}	C. pedras	Adstringente, antifebril, antissifilítico, corante, diurético, curtume, emético, fruto agudizante laxativo, madeira (construção civil, bancos, ebanisteria, lenha e carvão), pigmento, tintura preta e vermelha, tanino	Antioxidante (Souza e cols., 2020), anti-inflamatório (Scuza e cols., 2023)
54	Malvaceae <i>Helicteres saca-rolha</i> A.St.-Hil. [*] , Juss. & Cambess. (Saca-rolha) ^{3,6,29,30}	Córrego das Pedras	Antiblenorragico, antissifilítico, cordoaria, demulcente, dermaçaes, estopa, fibras, inflamações, madeira para celulose, mucilagem, ornamental	Gastroprotectivo (Bologun e cols., 2015)
55	<i>Waltheria indica</i> L./ malva-branca ²⁹	B. belinha	Cordoaria, fibras.	Varias atividades (Zongo e cols., 2013)
56	Melastomataceae <i>Microlicia euphorbioidea</i> Mart./ vassourinha do campo ²⁹	Serra da Pimenta	Ornamental.	Nenhum
57	<i>Pleroma heteromallum</i> (D.Don) D.Don/ quaresmnia ^{26,29}	Bacia da Belinha	Ornamental.	Nenhum
58	<i>Rhynchanthera grandiflora</i> (Aubl.) DC./ Flor de quaresma ²⁹		Corante, pigmento preto, tinturaria*	Nenhum
59	Meliaceae <i>Cabralea canjerana</i> (Vell.) Mart./ canjerana ^{4,25,28,29,30}		Abortivo, adstringente, amargo, aromático, artrite, dispépsia, emético, erisipela, febrifuga, inseticida, incisivo, madeira (carpintaria, vigas, caixotaria, dormentes, escultura, moinhos, construção civil, ebanisteria, esterco, marcenaria, tabocarlo), narcótica, perfumaria, purgativo forte	Inseticida (Magini e cols., 2014)
60	<i>Cedrela fissilis</i> (Cedro) ^{1,3,15,20,28,29,34}	Capoeira/Caxambú	Adstringente, antidiarreico, aromático, emético, ferides, goma, madeira (de lei, caixotaria, dormentes, forros, construção civil, bancos, ebanisteria, objetos torneados, obras internas, soalho, tábua), oleaginoso, resina, veterinário.	Nenhum

61	Myrtaceae <i>Campomanesia pubescens</i> (Mart. ex DC.) O.Berg/ guabiroba ^{6,29,34}	Belinha	Adstringente, aromático, curtume, fruto saboroso, madeira para cabos, caibros, moirões, esteios, lenha e carvão, obras internas, preparo de doces, refrigerante.	Ansiolítico, antidepressivo, inflamação intestinal (Santos e cols., 2023; Vilas Boas e cols., 2020)
62	<i>Myrcia splendens</i> (Sw.)DC./ araçá-do-campo ^{22,29}		Adstringente, curtume, feridas, fruto comestível, insetífuga, madeira para carpintaria, cabos, caibros, moirões construção civil, lenha e carvão, marcenaria, melifera, pigmento, tintura preta, Rico em tanino, substituto da Acacia catechu.	Antitumoral in vitro (Montalvão e cols., 2023)
63	<i>Myrcia tomentosa</i> (Aubl.) DC./ árvore-do-manaí ²⁰		Melifera, mimécófila, substituto do maná.	Antimicrobiana (Silva-Sá e cols., 2027)
64	<i>Myrciaria floribunda</i> (H.West ex Willd.) C. laranjeiras O.Berg/ Ástia ²⁹	Melifera		Cercaricida (Machado e cols., 2023), anti-inflamatória (Moraes e cols., 2023)
65	<i>Psidium grandifolium</i> Mart. ex DC. ^{6,28,34}	Belinha	Adstringente, astenia, fruto saboroso, madeira para cabos, moirões, objetos torneados, lenha e carvão, refrigerante.	Vários estudos (Macedo e cols., 2021)
	Orchidaceae			
66	<i>Vanilla planifolia</i> Klotzsch ^{19,23,24,28}		Alimento para animais silvestres, aromático, emenagoga, estimulante.	Favas aromáticas com valor comercial
	Orobanchaceae			
67	<i>Esterhazyia splendida</i> J.C.Mikan/ Imbiri ²⁹	Serra da Pimenta	Uso medicinal	
	Passifloraceae			
68	<i>Passiflora suberosa</i> L. (Maracujá do mato) ²⁹	Serra da Pimenta	Antifebril, fruto comestível.	Hipoglicêmico (Sadasinghe & Peris, 2018)

69	Piperaceae <i>Piper arboreum</i> Aubl. (Pimenteira longa) ³⁴	Centro de Formação	A afrodisíaco, alimento para animais silvestres, antídoto de venenos vegetais, aromático, diurético, demulcente, estimulante, expectorante, odontálgico, paralítico, sudorífico.	Desenvolvimento de enxaguante bucal (Matias e cois., 2022)
70	Piper cf. corcovadensis (Miq.) C.DC./ jaborandi ³⁴	Laranjeiras	Anestésico, antídoto de intoxicação, sialagogo	Inseticida (Lira Pimentel e cols., 2022)
	Poaceae <i>Actinocladum verticillatum</i> (Nee)		Balaios, confecção de cestos.	Nenhum
71	McClure ex Soderstr./ taquara-miriáim ³⁴	Serra da Pimenta	Confecção de cestos, forrageira, madeira para celulose, vassouras	Nenhum
72	<i>Andropogon leucostachyus</i> Kunth./ capim flexa ^{3,23,29}	Serra da Pimenta	Atrativo para aves, demulcente, forrageira	Presença de mucilagens demulcentes (Souza e cols., 2010)
73	<i>Echinolaena inflexa</i> (Poir.) Chase/capim-flecha ^{29,34}	Serra da Pimenta	Afrodisíaco, antiirreumático, bronquites, inflamação na bexiga, inseticida, paralisia.	Obtenção de citral (Fueller e cols., 2014)
74	<i>Elionurus muticus</i> (Spreng.) Kuntze/ capim jasmim ³⁴	Serra da Pimenta		
75	Polygalaceae <i>Polygala paniculata</i> L. barba de São Pedro ²⁹	Serra da Pimenta	Antibleorrágico, antídoto de veneno de cobras.	Antidepressivo (Bettio e cols., 2011)
	Primulaceae <i>Mrysine monticola</i> Mart./ Azeitona do Mato ²⁹	Serra da Pimenta		Nenhum
76	Pteridaceae <i>Adiantum cf. raddeanum</i> C.Presl. / Avenca-miúda ³⁴	Laranjeiras	Fruto comestível, madeira para caibros, lenha e carvão, obras internas, pteráio de doces Demulcente, diaforetico, ornamental, tosse crônicas	Nenhum
77	<i>Adiantum subcordatum</i> Sw. / Avenca ^{6,34}	Laranjeiras	Adstringente, demulcente, diaforetico, peitoral, rouquidão	Nenhum
78				

79	<i>Chiococca alba</i> (L.) Hitchc./ Cainca ^{3,6,8,9,14,19,24,28,30,32,34}	laranjeiras	Abortivo, adstringente, afecções nervosas, afecções venéreas, amargo, antiastmático, anti-doto de veneno de cobras, antifebril, diurético, emenagoga, emético, hidragogo, picada de animais peçonhentos, purgativo forte, sudorífico.	Repelente (Borges e cols., 2022)
80	<i>Declieuxia cordigera</i> Mart. & Zucc. ex Schult. & Schult.f./ Cruzeiro ²⁹	Belinha	Antifebril	Nenhum
81	<i>Palicourea macrogravii</i> A. St.-Hil./ erva de rato ^{3,4,6,9,16,19,29,30,31,34}	Serra da Pimenta	Afeções dos rins, antissifilítico, diurético, doenças cutâneas, envenenar ratos, hidropisia, narcótica, óleo volátil, tóxico, uso veterinário, venenoso gado.	Acaricida veterinário (Silva e cols., 2011)
82	<i>Palicourea rigida</i> Kunth./ Batedeira ^{3,6,29,30}	Belinha, pedras	Dores articulares, emético, envenenar ratos, erupções cutâneas, inflamação da próstata, inflamação na bexiga, venenoso.	Anti-inflamatório (Pineiro e cols., 2018)
83	<i>Rudgea viburnioides</i> (Cham.) Benth./ chá de bugre ²⁹	Serra da Paciência	Astenia, dispepsia, gota, edemas, tuberculose, úlcera gástrica	Nenhum
84	<i>Tocoyena formosa</i> (Cham. & Schltdl.) K. Schum./ Araçá-da-praia ^{9,29}		Fruto comestível, madeira para marcenaria e obras internas, ornamental	Anti-inflamatório (Alves e cols., 2019)
85	<i>Galipea jasminiflora</i> (A.St.-Hil.) Engl./ laranjeira-brava ^{3,6,19,28,29,30,34}	Cachoeira da Belinha	Antifebril, estomacal, madeira para calçotaria, eixos de roda, marcenaria, obras internas, rico em tanino	Nenhum
86	<i>Casearia sylvestris</i> Sw./ Guaçatonga ^{28,29,32}	Centro de Formação	Alimento para animais silvestres, antidiarréico, antissifilítico, anti-reumático, antifebril, depurativo, doenças cutâneas, feridas, herpes, madeira para carpintaria, objetos tornados, construção civil, marcenaria, picada de cobras, sarna.	Várias estudos, especialmente coração analgésico e anti-inflamatório

87	Sapindaceae <i>Serjania lethalis</i> A.St.-Hil. ^{3,20,29}	Serra da Pimenta	Ictiotóxico, narcótico, venenoso.	Acaricida (Vasconcelos e cols., 2018)
88	Siparunaceae <i>Siparuna guianensis</i> Aubl./ caa-pití ^{29,34}	Serra da Pimenta	Antiespasmódico, antifebre, aromático, beribéri, diurético, carminativo, digestivo, emenagoga, estimulante, estomacal, excitante, hidropisia, madeira para carpintaria, marcenaria, peitoral	Antitumoral in vitro (Viana Barbosa e cols., 2023), anti-inflamatório (Corregrundes e cols., 2021)
89	Smilacaceae <i>Smilax</i> (Salsaparrilha) ^{vários}	Serra da Pimenta	Antibleorrágico, antissifilítico, demulcente, feridas, peitoral, refrescante, sudorífico	
90	Solanaceae <i>Cestrum corymbosum</i> Schlech./ Coerana ^{6,29}	Serra da Pimenta	Abstergente, antiespasmódico, anti-hemorroidal, corante, demulcente, diurético, feridas, insciúida, narcótica, sedativo, ornamental, vermicíguo,	Nenhum
91	Solanum lycocarpum A. St.-Hil/ fruta-do-lobo ^{3,7,17,18,29,31}	Belinha	Alimento para animais silvestres, fruto comestível, preparo de doces, sabão	Antidiabético (Guimaraes e cols., 2021)
92	Solanum paniculatum L./ jurubeba ^{6,9,14,19,28,29,30,32}	Cachoeira da Belinha	Amargo, antianêmico, antifebril, antissifilítico, afecções do fígado e do baço, astenia, colárgico, diurético, feridas, fruto comestível, hepatite, ictericia, inflamação na bexiga, resolvente, tônico, vermicíguo,	Anti-inflamatório (Rios e cols., 2017)
93	Styracaceae <i>Styrax camporum</i> Pohl/ estoraoke da América ^{9,29}	Serra da Pimenta	Aromático, incenso, oleoresina, substituto do incenso do oriente.	Pré-tratamento do câncer (Francielli e cols., 2021)
94	Urticaceae <i>Cecropia pachystachia</i> Trécul/ Ambaiba ^{3,11,29}	Pedras	Antibleorrágico, cordearia, anti-hemorroidal, feridas, fibras têxteis, fruto doce, leucorréia, madeira (para lenha e carvão, obtenção de celulose), sabão.	Vários estudos, inclusive de desenvolvimento de produtos anti-idade (Fernandes e cols., 2019)
95	Vellereaceae <i>Barbacenia cf. tomentosa</i> Mart./ canela-de-ema ²⁹	Bacia da Belinha	Aromático, ornamental	Nenhum

96	<i>Vellozia</i> sp (Canela de ema) ^{vários}	Bacia da Belinha	Aromático, ornamental	Nenhum
	Verbenaceae			
97	<i>Lantana trifolia</i> L./ Camará ²⁹	Cór.das Laranjeiras	Aromático, forrageira, Fruto comestível.	Antifungica (Valério e cols., 2023); Sedativo (Julião e cols., 2010)
98	<i>Lippia corymbosa</i> Cham./ chá de pedestre ²⁹	Serra da Pimenta	Bebida, preparo de chás.	Nenhum
99	<i>Stachytarpheta cayennensis</i> (Rich.) Vahl/ gervão ^{28,29,32}		Alimento para cabras/ carneiros, ovelhas, antifebril, aromático, astringente, cicatrizante, detergente, dispepsia, diurético, estomacal, afecções do fígado e do báço, estimulante, estomacal, feridas, laxativo, ornamental, pigmento, tintura preta, substituto do chá da índia, sudorífico, tônico.	Antiasmático (Guimaraes e cols., 2023)
	Vochysiaceae			
100	<i>Qualea grandiflora</i> Mart./ pau-terra ^{6,12,16,29,31}	Laranjeira	Madeira (carpintaria, caixotaria, construção naval, lenha e carvão, obras internas), pigmento, tintura amarela, tanino.	Antiúlcera (Huruma-Lima e cols., 2006)
101	<i>Qualea multiflora</i> Mart./ Cinzeiro		Madeira (para carpintaria, caixotaria, barcos, obras internas), pigmento, tinturaria, tanino.	Antiúlcera (Bonacorsi e cols., 2013)
102	<i>Qualea parviflora</i> Mart./ Coatá ²⁹	Pedras	Madeira para construir barcos, tanino.	Inflamação intestinal (Mazzolin e cols., 2013)
103	<i>Vochysia tucanorum</i> Mart./ pau-de-vinho ²⁹		Bebida, madeira (carpintaria, caixotaria, obras internas), preparo de licor, vinho, suco.	Antitumoral (Morgan e cols., 2021)
104	<i>Vochysia thyrsoides</i> Pohl./ árvore-dagoma ²⁹		Aglutinante, antissígeno, bebida, gema, Madeira (forros, moirões, peitoral, preparo de licor, vinho)	Polissacárideo antióxigulante (Bardhal e cols., 2015)

Autores que citaram as plantas em suas obras, e respectivos índices assinalados na tabela
 (ver mais dados sobre os autores em www.dataplant.org.br)

índice	autor	Data nasc./morte	Nacionalidade
1	A.F. Brandão	1555-1618	Português
2	A.R. Wallace	1823-1913	Inglês
3	A.Saint-Hilaire	1779-1853	Francês
4	C. Bumbury	1808-1866	Inglês
5	C.D Abberville	15xx-1632	Francês
6	C.Von Martius	1794-1868	Alemão
7	A. Caldcleugh	1795-1858	Inglês
8	A. D'Orbigny	1805-1875	Francês
9	A. Ducke	1876-1959	Italiano
10	E. Warming	1841-1924	Dinamarquês
11	F. C. Hoehne	1882-1959	Brasileiro
12	F. Castelnau	1810-1880	Francês
13	F. Noronha	1744-1814	Português
14	F. Teixeira	1920-1977	Brasileiro
15	G. Barleu	1584-1648	Português
16	G. Gardner	1812-1849	Inglês
17	H. Burmeister	1807-1898	Alemão
18	H.W.F. Halfeld	1797-1873	Alemão
19	J. B. Spix	1781-1826	Alemão
20	J. Daniel	1772-1776	Português
21	J. Raddi	1770-1829	Italiano
22	J.B. Rodrigues	1842-1909	Brasileiro
23	J.E. Pohl	1782-1834	Austríaco
24	J.F.X. Sigaud	1796-1856	Francês
25	J.P. Silva Manso	1753-1801	Brasileiro
26	M. North	1830-1890	Inglês
27	M. Wied-Neuwied	1782-1867	Alemão
28	M.C. Velloso	1741-1811	Brasileiro

29	M.P. Correa	1844-1934	Português
30	P.L. Chernoviz	1812-1881	Polonês
31	R. Burton	1821-1890	Inglês
32	R. Coimbra	1905-1979	Brasileiro
33	R. Spruce	1817-1893	Inglês
34	T. Peckolt	1822-1912	Alemão

ANEXO II

ANTIGOS MURADAS DE PEDRA

Antigos muradas de pedras: divisas de fazenda e hoje chamado de 'muro dos escravos'

Luís Augusto Júnio Melo

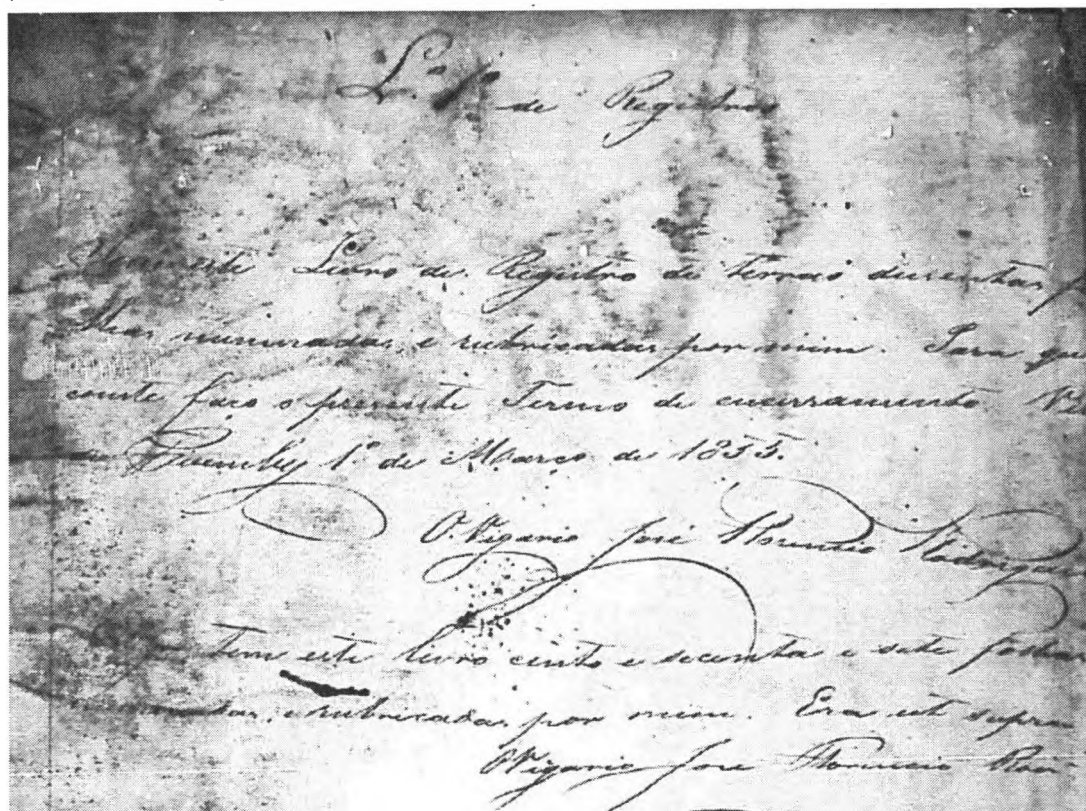
O processo de colonização e exploração do Brasil foi orientado pelas rígidas regras estabelecidas pela coroa portuguesa através de um complexo conjunto de normas com força de lei chamadas de Ordenações. O Brasil, foi inicialmente dividido em Capitanias Hereditárias, as quais eram subdivididas em Sesmarias, as quais podem ser entendidas como grandes lotes de terras destinadas a exploração. O colono recebia do governo um documento chamado *Carta de Sesmaria* que lhe dava direito à posse da terra, mas a propriedade da mesma continuava sendo da coroa portuguesa. O múnus de exploração era hereditário, ou seja, passava de pai para filho, sendo a mesma partilhada em inventários. A posse também era transmitida por meio de escrituras públicas lavradas nos Cartórios de Notas. Em Piumhi essas serventias foram instaladas no ano de 1842.

O sistema de distribuição de sesmarias avançava enquanto os colonos dominavam cada vez mais o interior de nosso país. O Arquivo Público Mineiro (APM), sediado em Belo Horizonte, guarda um valioso acervo de *Cartas de Sesmarias*, as quais permitem mapear o início da colonização e exploração de nossa região. Após a Independência do Brasil, ocorrida em 1822, Dom Pedro I proibiria a concessão de novas Sesmarias, porém, não criou outra forma de apropriação de terras no Brasil.

Somente no ano 1850 é que se aprovou a famosa "Lei de Terras" no Brasil. O primeiro artigo da lei proibiria a invasão de terras públicas. O descumprimento da regra poderia resultar em cadeia. A lei previa também uma anistia geral para quem estivesse em situação irregular até aquele momento.

Os párocos foram designados para lavrar em livro próprio o "Registro de Terras". O Vigário José Florêncio Rodrigues, responsável pela Paróquia de Piumhi, organizou dois livros. O primeiro deles tem o Termo de Abertura datado de 1º de março de 1855 e possui o

registro de 687 propriedades em Piumhi, enquanto o segundo livro possui 114 registros. Esses livros estão hoje no APM.



Termo de abertura do Livro de Registro de Terras da Vila de Piumhy (1855). Fonte: Arquivo Público Mineiro.

Imagine o quanto era confuso estabelecer as divisas dessas propriedades. Naquela época não havia arame farpado. Esse instrumento foi inventado nos Estados Unidos, em 1867, por Lucien B. Smith de Kent, detentor da primeira patente do produto. A inovação só chegou no Brasil em 1913, quando foi iniciada a importação de aproximadamente 30 toneladas anualmente. Por ser importado era um produto muito caro e levou muito tempo ainda para chegar ao interior.

Surge aí uma dúvida: como eram feitas as cercas de divisas antes da popularização do arame farpado? Ainda hoje, passados tantos anos, temos contínuos exemplos dessas divisas. Onde o terreno era plano e com solo macio era cavada uma vala na divisa de entorno de pelo menos 1,5 de profundidade por dois de largura. Caso o local tivesse serras ou solo duro com cascalho ou pedras a solução era erguer uma murada de pedra. Como dissemos, muitas dessas valas e muradas de pedra ainda resistem ao tempo e se apresentam hoje como verdadeiro patrimônio histórico dos

municípios que os possuem. Tanto as cercas quanto as valas delimitavam o perímetro da propriedade e impediam que animais atravessassem os limites da fazenda.

Quanto às Valas, também chamado de Valos, a profundidade e largura variavam conforme o gosto do proprietário e a região em que eram construídas, não havendo um padrão geral. Eram cavados por força humana e gastava-se nessa empreitada muitos dias de trabalho. Com certeza foi utilizada muita mão de obra escrava, típica no século XIX nas fazendas da região.

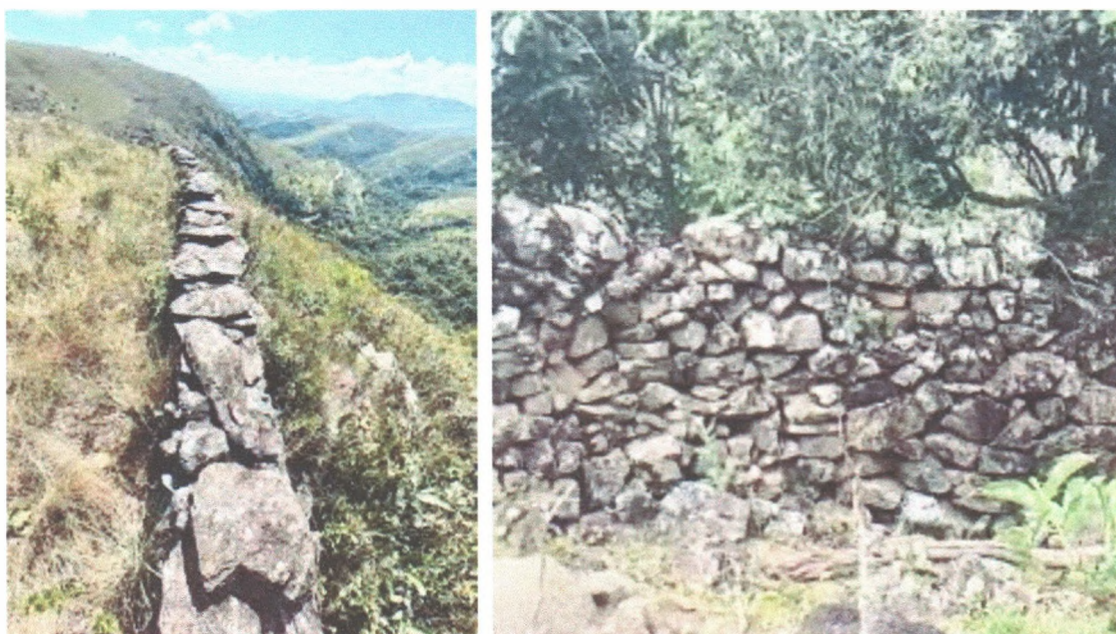
Os muros de pedras, mais que centenários são testemunhas de muitos fatos que permearam a formação e desenvolvimento de nosso município. Inicialmente marcava-se o local da construção do muro. Em seguida fazia-se a seleção das rachas, sempre do mesmo tipo, algumas eram lavradas de forma promovesse encaixe perfeito umas nas outras, outras eram caprichosamente oferecidas pela natureza na forma em desejavam.

Muitos escravos sob o escaldante sol e, certamente, pelo incentivo do chicote davam os toques na construção desses belos monumentos históricos. As marcas dos relhos e dos açoites deixavam nos cativos profundas cicatrizes: na pele e principalmente na alma. Associados aos escravizados à mão de obra também contava com o trabalho de pretos livres e brancos pobres, os quais vendiam a sua força de trabalho por uma milharia. Desse modo, ao custo de suor e sangue os muros de pedra eram erguidos pedra sob pedra. O encaixe delas tinha que ser perfeito, pois não era utilizado nenhum tipo de argamassa ou cimento. Aos poucos os muros tomavam forma. Raros eram os que superavam altura de um metro, tendo em entre trinta a quarenta centímetros de largura. Quanto ao comprimento, este era definido pela necessidade. Esse tipo de edificação era utilizado também para cercar cemitérios e igrejas.



*Escravizado com marca de corte de chicote no rosto. As feridas da alma não estão visíveis na foto, mas são percebidas na tristeza do olhar.
Fonte: Biblioteca Nacional.*

Por ser erguido por mão de obra cativa, as cercas ganharam, na atualidade, a alcunha de “Muro dos Escravos”. Dessa forma, os muros não pertenciam aos escravos como a expressão sugere, mas foram por eles construídos. Em diversas propriedades rurais do nosso município, cortado por muitas cadeias de serras havia uma expressiva quantidade desses muros, mas ao longo dos anos a grande maioria foi desmanchado pelos proprietários e outros quedaram pela implacável ação do tempo. Muitas de suas pedras acabaram sendo utilizadas em bases e alicerces para construção de casas. Nos dias de hoje, restam muito pouco do que foi construído, razão pela qual o que ainda existe precisa e merece ser conservado. Os “Muros dos Escravos” são testemunhas vivas da nossa história e lembrança de um passado, que apesar de ser triste, merece ser conservado.



*Muros de pedras construídos pelos escravos na Serra do Andaiá: testemunhas ocultas de um tempo de muito sofrimento e que precisa ser conservado, pois faz parte do nosso patrimônio histórico e cultural. Fonte:
<https://www.facebook.com/turismopiumhi2021/videos/muros-de-pedras-feitos-pelas-m%C3%A3os-de-escravosao-percorrer-a-serra-do-andaime-voc/1832211910308633/>.*

ANEXO III

**DECISÕES DO SUPERIOR TRIBUNAL DE JUSTICA – STJ
E SUPERIOR TRIBUNAL FEDERAL – STF PROIBINDO
MINERAÇÃO EM APA MUNICIPAL**

Superior Tribunal de Justiça

RECURSO ESPECIAL Nº 1.549.329 - MG (2015/0059524-0)

RELATOR : MINISTRO HERMAN BENJAMIN
RECORRENTE : TOGNI S/A MATERIAIS REFRATARIOS
ADVOGADOS : JUANA NOVAIS MACHADO E OUTRO(S) - MG102333
FERNANDA GUIMARÃES C MARQUES - MG120781
ANDREA VIGGIANO GONCALVES - MG045943N
RECORRIDO : MUNICÍPIO DE CALDAS
ADVOGADO : LUIZ CLAUDIO LUQUINI - MG119103

EMENTA

PROCESSUAL CIVIL. CRIAÇÃO DE UNIDADE DE CONSERVAÇÃO PELO MUNICÍPIO. POSSIBILIDADE, NOS TERMOS DA LEI FEDERAL 9.985/2000. OMISSÃO E CONTRADIÇÃO. INEXISTÊNCIA. INTERPRETAÇÃO DA LEI 1.973/2006 DO MUNICÍPIO DE CALDAS. SÚMULA 280/STF. REEXAME DO CONTEXTO FÁTICO-PROBATÓRIO. SÚMULA 7/STJ.

1. Na hipótese dos autos, o Tribunal de origem julgou integralmente a lide e solucionou a controvérsia, como lhe foi apresentada, manifestando-se de forma clara sobre o disposto no art. 22 da Lei Federal 9.985/2000, que permite aos municípios criarem unidades de conservação.
2. No mais, extrai-se das razões do Recurso Especial que a parte recorrente pretende que o Superior Tribunal de Justiça examine possíveis conflitos existentes entre lei municipal (Lei 1.973/06) e lei federal (Lei 9.985/00), o que não se admite, seja pela incidência, *in casu*, do óbice da Súmula 280/STF, seja porque o exame da *vexata quaestio* compete ao Supremo Tribunal Federal. Precedente do STJ.
3. Recurso especial parcialmente conhecido e não provido.

ACÓRDÃO

Vistos, relatados e discutidos os autos em que são partes as acima indicadas, acordam os Ministros da Segunda Turma do Superior Tribunal de Justiça: ""A Turma, por unanimidade, conheceu em parte do recurso e, nessa parte, negou-lhe provimento, nos termos do voto do(a) Sr(a). Ministro(a)-Relator(a)." Os Srs. Ministros Og Fernandes, Mauro Campbell Marques, Assusete Magalhães (Presidente) e Francisco Falcão votaram com o Sr. Ministro Relator.

Dr(a). GABRIELLA FERNANDES DE ASSUNÇÃO VIAL. pela parte
RECORRENTE: TOGNI S/A MATERIAIS REFRATARIOS"

Brasília, 22 de novembro de 2016(data do julgamento).

MINISTRO HERMAN BENJAMIN
Relator

Superior Tribunal de Justiça

RECURSO ESPECIAL N° 1.549.329 - MG (2015/0059524-0)

RELATOR : MINISTRO HERMAN BENJAMIN
RECORRENTE : TOGNI S/A MATERIAIS REFRATARIOS
ADVOGADOS : JUANA NOVAIS MACHADO E OUTRO(S) - MG102333
FERNANDA GUIMARÃES C MARQUES - MG120781
ANDREA VIGGIANO GONCALVES - MG045943N
RECORRIDO : MUNICÍPIO DE CALDAS
ADVOGADO : LUIZ CLAUDIO LUQUINI - MG119103

RELATÓRIO

O EXMO. SR. MINISTRO HERMAN BENJAMIN (Relator): Trata-se de Recurso Especial (art. 105, III, "a", da CF) interposto contra acórdão do Tribunal de Justiça do Estado de Minas Gerais cuja ementa é a seguinte (fl. 1236, e-STJ):

REEXAME NECESSÁRIO. APELAÇÃO CÍVEL. MANDADO DE SEGURANÇA. PROIBIÇÃO DE ATIVIDADE MINERÁRIA EM ÁREA DE PRESERVAÇÃO AMBIENTAL. INCIDENTE DE INCONSTITUCIONALIDADE. DISPOSITIVOS DA LEI N.º 1.973/06 DO MUNICÍPIO DE CALDAS.

No julgamento do incidente n.º 1.0103.09.010174-4/004, o Órgão Especial deste Tribunal de Justiça afastou a arguição de constitucionalidade dos artigos 7º, V, 8º, VII, 9º, IV e 10, IX e 51, caput, da Lei Municipal n.º 1.973/06, entendendo que os dispositivos não invadem esfera de competência legislativa privativa da União, pois cuidam de normas de proteção ambiental, cuja competência é concorrente entre os entes federados.

Por outro lado, reconheceu-se a constitucionalidade da segunda parte do § 1º e do § 2º do artigo 51 da mesma Lei, por trazerem exigência que ofende a autonomia da vontade.

Sentença reformada parcialmente no reexame necessário conhecido de ofício. Prejudicado o recurso da apelação.

Os Embargos de Declaração foram rejeitados (fl. 1272, e-STJ).

A recorrente, nas razões do Recurso Especial, sustenta que ocorreu violação dos arts. 535, I e II, do CPC, 22 e 25 da Lei 9.985/2000, 6º, §§ 1º e 2º, 8º, 10 e 11 da Lei 6.938/1981, sob o argumento de que não houve a necessária consulta pública para a criação da unidade de conservação. Alega, ademais, que a criação da zona de amortecimento, em área de proteção ambiental, por lei municipal colide com normas federais.

Sem contraminuta (fl. 1435, e-STJ).

É o relatório.

Superior Tribunal de Justiça

RECURSO ESPECIAL N° 1.549.329 - MG (2015/0059524-0)

VOTO

O EXMO. SR. MINISTRO HERMAN BENJAMIN (Relator): Os autos foram recebidos neste Gabinete em 11.6.2016.

A irresignação não merece prosperar.

O Tribunal de origem, ao decidir a *vexata quaestio*, consignou (fls. 1238-1242/e-STJ):

Conheço de ofício do reexame necessário, na forma do artigo 14, §1º da Lei nº 12.016/09, bem como do recurso de apelação, uma vez presentes os pressupostos de admissibilidade.

Infere-se dos autos que os apelantes Togni S/A Materiais Refratários e outros impetraram mandado de segurança contra ato do Prefeito Municipal de Caldas e outros, pretendendo discutir a constitucionalidade de diversos dispositivos da Lei Municipal n.º 1.97.3, de 29/12/2006, que criou a "Área de Proteção Ambiental do Município de Caldas - Santuário Ecológico da Pedra Branca".

Requereram a concessão da segurança, para que as autoridades coatoras se abstenham de dar efetividade aos comandos da Lei, uma vez que, segundo narraram, seus dispositivos geram "constrangimento ilegal no direito líquido e certo de desenvolverem a atividade minerária no território hoje compreendido por aquele espaço protegido" (fls. 08).

A primeira questão a ser enfrentada diz respeito ao ato de criação da Área de Proteção Ambiental - APA, que segundo o artigo 22 da Lei Federal nº 9.985/00 deve ser precedido de estudos técnicos e consulta pública. Veja-se:

"Art. 22. As unidades de conservação são criadas por ato do Poder Público:

§ 2º A criação de uma unidade de conservação deve ser precedida de estudos técnicos e de consulta pública que permitam identificar a localização, a dimensão e os limites mais adequados para a unidade, conforme se dispuser em regulamento.

§ 3º No processo de consulta de que trata o § 2º, o Poder Público é obrigado a fornecer informações adequadas e inteligíveis à população local e a outras partes interessadas."

O dispositivo é regulamentado pelos artigos 4º e 5º do Decreto nº 4.340/02, com a seguinte redação:

"Art. 4º Compete ao órgão executor proponente de nova unidade de conservação elaborar os estudos técnicos preliminares e realizar, quando for o caso, a consulta pública e os demais procedimentos administrativos necessários à criação da unidade."

Superior Tribunal de Justiça

"Art. 5º A consulta pública para a criação de unidade de conservação tem a finalidade de subsidiar definição da localização, da dimensão e dos limites mais adequados para a unidade.

§ 1º A consulta consiste em reuniões públicas ou, a critério do órgão ambiental competente, outras formas de oitiva da população local e de outras partes interessadas.

§2º No processo de consulta pública, o órgão executor competente deve indicar, de modo claro e em linguagem acessível, as implicações para a população residente no interior e no entorno da unidade proposta."

No caso dos autos, verifica-se que houve duas audiências públicas para tratar do projeto de criação da APA, uma no dia 02/06/2006 e outra em 30/06/2006, conforme editais de convocação juntados a fls.436/437 e Ofício Circular de fls. 438.

(...)

A Lei Municipal nº 1.973/06, no entanto, ao trazer as vedações constantes dos dispositivos acima mencionados, acabou por atribuir à APA características típicas de uma "Unidade de Proteção Integral", que é aquela cujo objetivo "é preservar a natureza, sendo admitido apenas o uso indireto dos seus recursos naturais" (art.7º, §1º).

No entanto, não foi essa a orientação firmada no já mencionado incidente de constitucionalidade nº 1.0103.09.010174-4/004 (fls.1034/1038v), em que o Órgão Especial decidiu pela possibilidade de a legislação municipal estabelecer restrições adicionais, "quando conveniente para a efetiva proteção da unidade de conservação criada.", vinculando, mais uma vez, este julgamento.

Exatamente por isso, sequer é possível analisar a pretensão sob o aspecto da legalidade, tal como requerido pelos apelantes no memorial recebido em 29/01/2014, já que no julgamento do incidente de constitucionalidade, o Órgão Especial concluiu pela "possibilidade de a legislação ambiental municipal formular exigências adicionais àquelas já tratadas em legislações federal e estadual." (...)

Inicialmente, constata-se que não se configura a ofensa ao art. 535 do Código de Processo Civil, uma vez que o Tribunal de origem julgou integralmente a lide e solucionou a controvérsia, como lhe foi apresentada, manifestando-se de forma clara sobre o disposto no art. 22 da Lei 9.985/00 e sobre os aspectos da constitucionalidade e da legalidade suscitados pela parte recorrente.

Outrossim, extrai-se das razões do Recurso Especial que a parte recorrente pretende que o Superior Tribunal de Justiça examine possíveis conflitos entre lei municipal (Lei

Superior Tribunal de Justiça

1.973/06) e lei federal (Lei 9.985/00), o que não se admite, seja pela incidência, *in casu*, do óbice da Súmula 280/STF, seja porque o exame da *vexata quaestio* compete ao Supremo Tribunal Federal.

A propósito:

PROCESSUAL CIVIL. TRIBUTÁRIO. AGRAVO INTERNO NO RECURSO ESPECIAL.

CÓDIGO DE PROCESSO CIVIL DE 2015. APLICABILIDADE. ARGUMENTOS INSUFICIENTES PARA DESCONSTITUIR A DECISÃO ATACADA. VIOLAÇÃO AO ART.

535 DO CPC/73. DEFICIÊNCIA DE FUNDAMENTAÇÃO. AUSÊNCIA DE COMBATE A FUNDAMENTOS AUTÔNOMOS DO ACÓRDÃO. RAZÕES RECURSAIS DISSOCIADAS.

INCIDÊNCIA, POR ANALOGIA, DAS SÚMULAS N. 283 E 284/STF. ACÓRDÃO EMBASADO EM NORMA DE DIREITO LOCAL. LEIS MUNICIPAIS N. 805/66 E N.

3.499/90. INCIDÊNCIA, POR ANALOGIA, DA SÚMULA N. 280/STF. CONFLITO ENTRE LEI LOCAL EM FACE DE LEI FEDERAL. COMPETÊNCIA DA SUPREMO CORTE. ART. 7º DA LEI MUNICIPAL 3.316/89 EM CONFLITO COM O ART. 33 DO CÓDIGO TRIBUTÁRIO NACIONAL. ACÓRDÃO RECORRIDO ASSENTADO EM FUNDAMENTOS CONSTITUCIONAIS. IMPOSSIBILIDADE DE REVISÃO EM SEDE DE RECURSO ESPECIAL. DISSÍDIO JURISPRUDENCIAL. AUSÊNCIA DE COTEJO ANALÍTICO.

I - Consoante o decidido pelo Plenário desta Corte na sessão realizada em 09.03.2016, o regime recursal será determinado pela data da publicação do provimento jurisdicional impugnado. Assim sendo, *in casu*, aplica-se o Código de Processo Civil de 2015.

II - A orientação deste Superior Tribunal de Justiça considera que quando a arguição de ofensa ao dispositivo de lei federal é genérica, sem demonstração efetiva da contrariedade, aplica-se, por analogia, o entendimento da Súmula n. 284, do Supremo Tribunal Federal.

III - A jurisprudência desta Corte considera deficiente a fundamentação quando a parte deixa de impugnar fundamentos suficiente para manter o acórdão recorrido, apresentando razões recursais dissociadas dos fundamentos utilizados pela Corte de origem. Incidência, por analogia, das Súmulas n. 283 e 284/STF.

IV - Não cabe ao Superior Tribunal de Justiça, no Recurso Especial, rever o acórdão que demanda interpretação de direito local, à luz do óbice contido na Súmula n. 280 do Supremo Tribunal Federal.

V - Compete ao Supremo Tribunal Federal julgar, em única ou última instância, causas em que lei local é contestada em face de lei federal, sendo, portanto, vedada a análise da violação ora apontada por esta Corte, sob pena de usurpação de competência.

VI - O recurso especial possui fundamentação vinculada, não se constituindo em instrumento processual destinado a revisar acórdão em base em fundamentos eminentemente constitucionais, tendo em vista a necessidade de interpretação de matéria de competência exclusiva da Suprema Corte.

Superior Tribunal de Justiça

VII - É entendimento pacífico dessa Corte que o Recurso Especial não pode ser conhecido com fundamento na alínea c, do permissivo constitucional, ante a ausência de cotejo analítico entre os arrestos confrontados.

VIII - O Agravante não apresenta, no agravo, argumentos suficientes para desconstituir a decisão recorrida.

IX - Agravo Interno improvido.

(AgInt no REsp 1360060/SC, Rel. Ministra REGINA HELENA COSTA, PRIMEIRA TURMA, julgado em 16/08/2016, DJe 26/08/2016)

Por fim, o acolhimento da pretensão recursal relativa à inexistência de audiências, consultas públicas e estudos técnicos demanda o reexame do contexto fático probatório, o que não se admite, ante o óbice da Súmula 7/STJ.

Por tudo isso, conheço parcialmente do Recurso Especial e, nesta parte, nego-lhe provimento.

É como **voto**.

Superior Tribunal de Justiça

CERTIDÃO DE JULGAMENTO SEGUNDA TURMA

Número Registro: 2015/0059524-0

PROCESSO ELETRÔNICO

REsp 1.549.329 /

MG

Números Origem: 01017447120098130103 0103090101744 10103090101744003 10103090101744005
10103090101744006 10103090101744008 103090093552 103090101744

PAUTA: 22/11/2016

JULGADO: 22/11/2016

Relator

Exmo. Sr. Ministro **HERMAN BENJAMIN**

Presidente da Sessão

Exma. Sra. Ministra ASSUSETE MAGALHÃES

Subprocuradora-Geral da República

Exma. Sra. Dra. MÔNICA NICIDA GARCIA

Secretária

Bela. VALÉRIA ALVIM DUSI

AUTUAÇÃO

RECORRENTE	:	TOGNI S/A MATERIAIS REFRATARIOS
ADVOGADOS	:	JUANA NOVAIS MACHADO E OUTRO(S) - [REDACTED]
		FERNANDA GUIMARÃES C MARQUES - [REDACTED]
		ANDREA VIGGIANO GONCALVES - [REDACTED]
RECORRIDO	:	MUNICÍPIO DE CALDAS
ADVOGADO	:	LUIZ CLAUDIO LUQUINI - [REDACTED]

ASSUNTO: DIREITO ADMINISTRATIVO E OUTRAS MATÉRIAS DE DIREITO PÚBLICO - Meio Ambiente - Área de Preservação Permanente

SUSTENTAÇÃO ORAL

Dr(a). GABRIELLA FERNANDES DE ASSUNÇÃO VIAL, pela parte RECORRENTE: TOGNI S/A MATERIAIS REFRATARIOS

CERTIDÃO

Certifico que a egrégia SEGUNDA TURMA, ao apreciar o processo em epígrafe na sessão realizada nesta data, proferiu a seguinte decisão:

"A Turma, por unanimidade, conheceu em parte do recurso e, nessa parte, negou-lhe provimento, nos termos do voto do(a) Sr(a). Ministro(a)-Relator(a)."

Os Srs. Ministros Og Fernandes, Mauro Campbell Marques, Assusete Magalhães (Presidente) e Francisco Falcão votaram com o Sr. Ministro Relator.

RECURSO EXTRAORDINÁRIO COM AGRAVO 1.051.716 MINAS GERAIS

RELATOR	: MIN. DIAS TOFFOLI
RECTE.(S)	: TOGNI S/A MATERIAIS REFRATARIOS
ADV.(A/S)	: ANDREA VIGGIANO GONCALVES
ADV.(A/S)	: MARCELO MENDO GOMES DE SOUZA
RECDO.(A/S)	: MUNICÍPIO DE CALDAS
ADV.(A/S)	: PROCURADOR-GERAL DO MUNICÍPIO DE CALDAS

DECISÃO:

Vistos.

Trata-se de agravo contra a decisão que não admitiu recurso extraordinário interposto contra acórdão da Terceira Câmara Cível do Tribunal de Justiça do Estado de Minas Gerais, assim ementado:

**"REEXAME NECESSÁRIO. APELAÇÃO CÍVEL.
MANDADO DE SEGURANÇA. PROIBIÇÃO DE ATIVIDADE
MINERÁRIA EM ÁREA DE PRESERVAÇÃO AMBIENTAL.
INCIDENTE DE INCONSTITUCIONALIDADE.
DISPOSITIVOS DA LEI Nº 1.973/06 DO MUNICÍPIO DE
CALDAS.**

No julgamento do incidente nº 1.0103.09.010174-4/004, o Órgão Especial deste Tribunal de Justiça afastou a arguição de constitucionalidade dos artigos 7º, V, 8º, VII, 9º, IV e 10, IX e 51, caput, da Lei Municipal nº 1.973/06, entendendo que os dispositivos não invadem esfera de competência legislativa privativa da União, pois cuidam de normas de proteção ambiental, cuja competência é concorrente entre os entes federados.

Por outro lado, reconheceu-se a constitucionalidade da segunda parte do § 1º e do § 2º do artigo 51 da mesma Lei, por trazerem exigência que ofende a autonomia da vontade.

Sentença reformada parcialmente no reexame necessário conhecido de ofício. Prejudicado o recurso da apelação."

ARE 1051716 / MG

Opostos embargos de declaração, foram rejeitados.

O recurso extraordinário foi interposto com fundamento nas alíneas "c" e "d" do permissivo constitucional. Alega-se que o Tribunal de origem acabou por julgar válida a Lei nº 1.973/2006, do Município de Caldas/MG, contestada em face de Lei Federal e de normas constitucionais.

Opina o Ministério Público Federal, em parecer da lavra do Subprocurador-Geral da República Dr. **Paulo Gustavo Gonçalves Branco**, pelo provimento parcial do recurso extraordinário. Referido parecer restou assim ementado:

"Recurso extraordinário com agravo. Área de Proteção Ambiental criada por lei municipal. Imposição de restrições à mineração. Parecer por que seja dado parcial provimento ao recurso extraordinário, a fim de que se afaste a exigibilidade da licença ambiental municipal para os empreendimentos sujeitos ao licenciamento estadual".

Decido.

A irresignação não merece prosperar.

Colhe-se do voto do condutor do acórdão recorrido a seguinte fundamentação:

"(...).

A primeira questão a ser enfrentada diz respeito ao ato de criação da Área de Proteção Ambiental - APA, que segundo o artigo 22 da Lei Federal nº 9.985/00 deve ser precedido de estudos técnicos e consulta pública. Veja-se:

'Art. 22. As unidades de conservação são criadas por ato do Poder Público:

§ 2º A criação de uma unidade de conservação deve ser precedida de estudos técnicos e de consulta pública que permitam identificar a localização, a dimensão e os limites mais adequados para a unidade, conforme se

ARE 1051716 / MG

dispuser em regulamento.

§ 3º No processo de consulta de que trata o § 2º, o Poder Público é obrigado a fornecer informações adequadas e inteligíveis à população local e a outras partes interessadas.'

O dispositivo é regulamentado pelos artigos 4º e 5º do Decreto nº 4.340/02, com a seguinte redação:

'Art. 4º Compete ao órgão executor proponente de nova unidade de conservação elaborar os estudos técnicos preliminares e realizar, quando for o caso, a consulta pública e os demais procedimentos administrativos necessários à criação da unidade.'

'Art. 5º A consulta pública para a criação de unidade de conservação tem a finalidade de subsidiar a definição da localização, da dimensão e dos limites mais adequados para a unidade.

§ 1º A consulta consiste em reuniões públicas ou, a critério do órgão ambiental competente, outras formas de oitiva da população local e de outras partes interessadas.

§ 2º No processo de consulta pública, o órgão executor competente deve indicar, de modo claro e em linguagem acessível, as implicações para a população residente no interior e no entorno da unidade proposta.'

(...).

A Lei Municipal nº 1.973/06, no entanto, ao trazer as vedações constantes dos dispositivos acima mencionados, acabou por atribuir à APA características típicas de uma 'Unidade de Proteção Integral', que é aquela cujo objetivo 'é preservar a natureza, sendo admitido apenas o uso indireto dos seus recursos naturais' (art.7º, §1º).

No entanto, não foi essa a orientação firmada no já mencionado incidente de constitucionalidade nº 1.0103.09.010174-4/004 (fls.1034/1038v), em que o Órgão Especial decidiu pela possibilidade de a legislação municipal

ARE 1051716 / MG

estabelecer restrições adicionais, ‘quando conveniente para a afetiva proteção da unidade de conservação criada’, vinculando, mais uma vez, este julgamento.

Exatamente por isso, sequer é possível analisar a pretensão sob o aspecto da legalidade, tal como requerido pelos apelantes no memorial recebido em 29/01/2014, já que no julgamento do incidente de constitucionalidade, o Órgão Especial concluiu pela ‘possibilidade de a legislação ambiental municipal formular exigências adicionais àquelas já tratadas em legislações federal e estadual.’

(...).”

Assim, não procede o apelo pelas alíneas “c” e “d” do permissivo constitucional, haja vista que o acórdão atacado, ao atestar a “*possibilidade de a legislação ambiental municipal formular exigências adicionais àquelas já tratadas em legislação federal*” não julgou válida lei ou ato de governo local contestado em face desta Constituição e, tampouco, julgou válida lei local contestada em face de lei federal. Manifestamente incabível, portanto, o recurso extraordinário nesses pontos. Nesse sentido:

“AGRAVO REGIMENTAL EM AGRAVO DE INSTRUMENTO. PROCESSUAL CIVIL. RECURSO EXTRAORDINÁRIO INTERPOSTO COM BASE NAS ALÍNEAS C E D DO INCISO III DO ART. 102 DA CONSTITUIÇÃO FEDERAL. INOCORRÊNCIA DE CONFLITO DE COMPETÊNCIA LEGISLATIVA. AGRAVO IMPROVIDO.

I - O acórdão recorrido não julgou válida lei ou ato de governo local contestado em face da Constituição. Incabível, portanto, o recurso pela alínea c do art. 102, III, da Constituição.

II - A admissão do recurso extraordinário pela alínea d do inciso III do art. 102 da Constituição Federal pressupõe a ocorrência de conflito de competência legislativa entre os entes da Federação. Dessa forma, é incabível o apelo extremo, fundado no aludido dispositivo, cuja pretensão seja provocar o reexame da interpretação de norma infraconstitucional conferida pelo Juízo de origem.

ARE 1051716 / MG

III - Agravo regimental improvido" (AI nº 769.919/RS AgR-segundo, Segunda Turma, Relator o Ministro **Ricardo Lewandowski**, DJe de 27/9/11).

No julgamento da Questão de Ordem no Agravo de Instrumento nº 132.755, Relator o Ministro **Joaquim Barbosa**, do qual fui o redator para o acórdão, o Ministro **Marco Aurélio** bem esclareceu que:

"Na alínea d, Presidente, não está essa explicitação e, então, em visão primeira, admitir-se-ia recurso extraordinário desde que contestada lei local em face de lei federal, inclusive quanto ao mérito em si. Foi quando imaginamos que o alcance desse preceito não é outro senão submeter ao Supremo a competência legiferante, ou seja, apenas quando em discussão - na Corte de origem e formalizado o acórdão impugnado mediante o extraordinário -, em termos de competência, se cabe ao Poder Legislativo local ou federal disciplinar a matéria, é que se abre a porta para chegar ao Supremo. Fora isso, o Supremo ficará inviabilizado se admitirmos todo e qualquer conflito entre a lei local e a federal" (DJe 25/2/2010).

Diga-se, ainda, que o E. STJ, ao apreciar o recurso especial paralelamente interposto, já assentou, no âmbito de sua competência de última instância da legislação infraconstitucional brasileira, a plena possibilidade de criação de unidades de conservação pelos municípios, nos termos da Lei Federal nº 9.985/2000.

Já a análise das eventuais violações ao disposto nessa legislação, em razão da criação da APA em análise nestes autos, implicaria no necessário reexame do conjunto fático-probatório dos autos, o que se mostra incabível em sede extraordinária. Incidência da Súmula nº 279 do Supremo Tribunal Federal. Sobre o tema:

ARE 1051716 / MG

“Agravo regimental no recurso extraordinário com agravo. Administrativo. Artigo 22, inciso IV, da CF. Prequestionamento. Ausência. Poço artesiano. Uso da água para consumo humano. Local abastecido pela rede pública. Legislação local. Ofensa reflexa. Precedentes. 1. Inadmissível o recurso extraordinário se o dispositivo constitucional que nele se alega violado não está devidamente prequestionado. Incidência das Súmulas nºs 282 e 356/STF. 2. Impossibilidade de análise, em recurso extraordinário, da legislação local. Incidência da Súmula nº 280/STF. 3. Agravo regimental não provido. 4. Inaplicável o art. 85, § 11, do CPC, pois o agravado não apresentou contrarrazões” (ARE nº 959.833/RS, Segunda Turma, de minha relatoria, DJe de 28/11/16).

“DIREITO ADMINISTRATIVO. AGRAVO REGIMENTAL EM RECURSO EXTRAORDINÁRIO COM AGRAVO. LICENÇA AMBIENTAL. ÁREA DE PRESERVAÇÃO PERMANENTE. INEXISTÊNCIA DE CONSTATAÇÃO DE DANO AMBIENTAL. MATÉRIA INFRACONSTITUCIONAL. SÚMULA 279/STF. DESCABIMENTO. 1. Hipótese em que a resolução da controvérsia demanda a análise de legislação infraconstitucional e o reexame do conjunto fático-probatório dos autos (Súmula 279/STF), procedimentos inviáveis nesta fase recursal. Precedentes. 2. Agravo regimental a que se nega provimento” (ARE nº 869.787-AgR/GO, Primeira Turma, Relator o Ministro Roberto Barroso, DJe de 13/11/15).

“AGRAVO REGIMENTAL NO RECURSO EXTRAORDINÁRIO COM AGRAVO. ADMINISTRATIVO. DEMOLIÇÃO DE IMÓVEL EM SITUAÇÃO IRREGULAR. PRÉVIA ANÁLISE DE LEGISLAÇÃO INFRACONSTITUCIONAL E REEXAME DE PROVAS. SÚMULAS NS. 279 E 280 DO SUPREMO TRIBUNAL FEDERAL. AUSÊNCIA DE OFENSA CONSTITUCIONAL DIRETA. AGRAVO REGIMENTAL AO QUAL SE NEGA PROVIMENTO.” (ARE nº 868.838/DF-AgR, Segunda Turma,

ARE 1051716 / MG

Relatora a Ministra Cármem Lúcia, DJe de 28/4/15).

“Agravo regimental no recurso extraordinário com agravo. Negativa de prestação jurisdicional. Não ocorrência. Administrativo. Construção em área pública. Legislação local. Reexame de fatos e provas. Impossibilidade. Precedentes. 1. A jurisdição foi prestada pelo Tribunal de origem mediante decisão suficientemente motivada. 2. Inadmissível, em recurso extraordinário, a análise da legislação local e o reexame dos fatos e das provas dos autos. Incidência das Súmulas nºs 280 e 279/STF. 3. Agravo regimental não provido” (ARE nº 718.301/DF-AgR, Primeira Turma, de minha relatoria, DJe de 1/8/14).

“Agravo regimental no recurso extraordinário. Imóvel construído em área de preservação permanente. Determinação judicial para sua demolição. Direito de propriedade. Circunstâncias fáticas e legais que nortearam a decisão da origem em prol do princípio da proteção ao meio ambiente. Legislação infraconstitucional. Reexame de fatos e provas. Impossibilidade. Precedentes. 1. A Corte de origem, analisando as Leis nºs 4.771/65, 6.938/81 e 7.347/85, a Resolução nº 4/85 do CONAMA e os fatos e as provas dos autos, concluiu que o ora agravante, com a construção não autorizada de imóvel em área de preservação permanente, causou dano ambiental, bem como que a condenação pecuniária não seria apta a reconstituir o espaço degradado, motivo pelo qual impunha-se a demolição do imóvel. 2. Para divergir da conclusão a que chegou o Tribunal de origem, seria necessário analisar a referida legislação, bem como o conjunto fático-probatório da causa, o que é inviável em recurso extraordinário. Incidência das Súmulas nºs 636 e 279/STF. 3. Agravo regimental não provido.” (RE nº 605.482/SC-AgR, Primeira Turma, de minha relatoria, DJe de 5/11/13).

Nesse mesmo sentido, ainda, as seguintes decisões: RE nº

ARE 1051716 / MG

1.093.497/SC, de minha relatoria, DJe de 10/5/18; ARE nº 1.064.812/RS, Relatora a Ministra **Rosa Weber**, DJe de 21/8/17 e ARE nº 1.037.773/RJ, Relator o Ministro **Ricardo Lewandowski**, DJe de 20/4/17.

Ante o exposto, nos termos do artigo 21, § 1º, do Regimento Interno do Supremo Tribunal Federal, nego seguimento ao recurso.

Publique-se.

Brasília, 21 de junho de 2018.

Ministro DIAS TOFFOLI

Relator

Documento assinado digitalmente

ANEXO IV

MEMORIAL DESCrittIVO DA DEMARCAÇÃO DA APA SERRAS E ÁGUAS DE PIUMHI



Memorial Descritivo

Local: Área de Proteção Ambiental Serras e Águas de Piumhi

Endereço: Zona Rural

Município/UF: Piumhi/MG

Perímetro (m): 117.534,89

Área (m²): 121.835.185,71

DESCRIÇÃO

A área descrita abaixo corresponde a uma extensão de 121.835.185,71 m², localizado à Zona Rural, no município de Piumhi/MG.

Inicia-se a descrição deste perímetro no vértice P0, de coordenadas N 7742811,40 m e E 408226,70; deste, segue com os seguintes azimute plano e distância: 108°15'25,92" e 168,69 m; até o vértice P1, de coordenadas N 7742758,56 m e E 408386,90 m; deste, segue com os seguintes azimute plano e distância: 110°58'41,44" e 208,58 m; até o vértice P2, de coordenadas N 7742683,88 m e E 408581,66 m; deste, segue com os seguintes azimute plano e distância: 100°44'42,29" e 162,54 m; até o vértice P3, de coordenadas N 7742653,58 m e E 408741,35 m; deste, segue com os seguintes azimute plano e distância: 144°51'53,77" e 122,31 m; até o vértice P4, de coordenadas N 7742553,55 m e E 408811,74 m; deste, segue com os seguintes azimute plano e distância: 164°35'33,04" e 186,23 m; até o vértice P5, de coordenadas N 7742374,02 m e E 408861,22 m; deste, segue com os seguintes azimute plano e distância: 183°18'39,37" e 283,08 m; até o vértice P6, de coordenadas N 7742091,41 m e E 408844,87 m; deste, segue com os seguintes azimute plano e distância: 182°18'25,84" e 180,95 m; até o vértice P7, de coordenadas N 7741910,61 m e E 408837,59 m; deste, segue com os seguintes azimute plano e distância: 139°53'9,98" e 217,30 m; até o vértice P8, de coordenadas N 7741744,42 m e E 408977,60 m; deste, segue com os seguintes azimute plano e distância: 166°32'36,25" e 161,65 m; até o vértice P9, de coordenadas N 7741587,22 m e E 409015,22 m; deste, segue com os seguintes azimute plano e distância: 117°23'8,67" e 258,88 m; até o vértice P10, de coordenadas N 7741468,14 m e E 409245,08 m; deste, segue com os seguintes azimute plano e distância: 115°08'32,94" e 152,18 m; até o vértice P11, de coordenadas N 7741403,48 m e E 409382,84 m; deste, segue com os seguintes azimute plano e distância: 116°19'55,01" e 243,47 m; até o vértice P12, de coordenadas N 7741295,49 m e E 409601,05 m; deste, segue com os seguintes azimute plano e distância: 149°30'26,86" e 232,78 m; até o vértice P13, de coordenadas N 7741094,90 m e E 409719,17 m; deste, segue com os seguintes azimute plano e distância: 123°03'56,57" e 220,11 m; até o vértice P14, de coordenadas N 7740974,80 m e E 409903,63 m; deste, segue com os seguintes azimute plano e distância: 130°23'48,32" e 285,12 m; até o vértice P15, de coordenadas N 7740790,03 m e E 410120,77 m; deste, segue com os seguintes azimute plano e distância: 255°47'39,31" e 18,88 m; até o vértice P16, de coordenadas N 7740785,39 m e E 410102,47 m; deste, segue com os seguintes azimute plano e distância: 253°57'43,49" e 31,84 m; até o vértice P17, de coordenadas N 7740776,60 m e E 410071,87 m; deste, segue com os seguintes azimute plano e distância: 258°13'32,72" e 30,05 m; até o vértice P18, de coordenadas N 7740770,47 m e E 410042,46 m; deste, segue com os seguintes azimute plano e distância: 258°52'12,81" e 25,93 m; até o vértice P19, de coordenadas N 7740765,46 m e E 410017,02 m; deste, segue com os seguintes azimute plano e distância: 251°11'46,53" e 31,01 m; até o vértice P20, de coordenadas N 7740755,47 m e E 409987,66 m; deste, segue com os seguintes azimute plano e distância: 247°24'34,79" e 26,26 m; até o vértice P21, de coordenadas N 7740745,38 m e E 409963,41 m; deste, segue com os seguintes azimute plano e distância: 239°52'18,40" e 25,15 m; até o vértice P22, de coordenadas N 7740732,75 m e E 409941,66 m; deste, segue com os seguintes azimute plano e distância: 236°45'32,59" e 27,48 m; até o vértice P23, de coordenadas N 7740717,69 m e E 409918,68 m; deste, segue com os seguintes azimute plano e distância: 223°35'7,81" e 29,80 m; até o vértice P24, de coordenadas N 7740696,11 m e E 409898,13 m; deste, segue com os seguintes azimute plano e distância: 199°34'50,43" e 26,95 m; até o vértice P25, de coordenadas N 7740670,72 m e E 409889,10 m; deste, segue com os seguintes azimute plano e distância: 215°24'23,54" e 26,45 m; até o vértice P26, de coordenadas N 7740649,16 m e E 409873,78 m; deste, segue com os seguintes azimute plano e distância: 216°45'52,16" e 30,10 m; até o vértice P27, de coordenadas N 7740625,05 m e E 409855,77 m; deste, segue com os seguintes azimute plano e distância: 213°23'48,92" e 30,33 m; até o vértice P28, de coordenadas N 7740599,73 m e E 409839,07 m; deste, segue com os seguintes azimute plano e distância: 214°39'36,03" e 24,71 m; até o vértice P29, de coordenadas N 7740579,41 m e E

409825,02 m; deste, segue com os seguintes azimute plano e distância: **214°07'9,33"** e **27,51 m**; até o vértice P30, de coordenadas N 7740556,63 m e E 409809,59 m; deste, segue com os seguintes azimute plano e distância: **215°36'13,63"** e **26,51 m**; até o vértice P31, de coordenadas N 7740535,08 m e E 409794,15 m; deste, segue com os seguintes azimute plano e distância: **225°15'58,26"** e **54,07 m**; até o vértice P32, de coordenadas N 7740497,02 m e E 409755,75 m; deste, segue com os seguintes azimute plano e distância: **233°59'58,67"** e **60,12 m**; até o vértice P33, de coordenadas N 7740461,68 m e E 409707,11 m; deste, segue com os seguintes azimute plano e distância: **238°56'8,73"** e **26,84 m**; até o vértice P34, de coordenadas N 7740447,84 m e E 409684,12 m; deste, segue com os seguintes azimute plano e distância: **248°51'25,31"** e **24,55 m**; até o vértice P35, de coordenadas N 7740438,98 m e E 409661,22 m; deste, segue com os seguintes azimute plano e distância: **247°37'46,86"** e **26,22 m**; até o vértice P36, de coordenadas N 7740429,00 m e E 409636,97 m; deste, segue com os seguintes azimute plano e distância: **246°51'30,33"** e **31,95 m**; até o vértice P37, de coordenadas N 7740416,44 m e E 409607,59 m; deste, segue com os seguintes azimute plano e distância: **242°18'34,04"** e **24,53 m**; até o vértice P38, de coordenadas N 7740405,04 m e E 409585,87 m; deste, segue com os seguintes azimute plano e distância: **244°58'13,07"** e **29,65 m**; até o vértice P39, de coordenadas N 7740392,50 m e E 409559,00 m; deste, segue com os seguintes azimute plano e distância: **249°05'45,12"** e **24,52 m**; até o vértice P40, de coordenadas N 7740383,75 m e E 409536,10 m; deste, segue com os seguintes azimute plano e distância: **243°50'24,91"** e **25,63 m**; até o vértice P41, de coordenadas N 7740372,45 m e E 409513,10 m; deste, segue com os seguintes azimute plano e distância: **247°24'27,07"** e **52,52 m**; até o vértice P42, de coordenadas N 7740352,27 m e E 409464,61 m; deste, segue com os seguintes azimute plano e distância: **244°58'11,34"** e **29,65 m**; até o vértice P43, de coordenadas N 7740339,73 m e E 409437,74 m; deste, segue com os seguintes azimute plano e distância: **252°35'14,45"** e **29,35 m**; até o vértice P44, de coordenadas N 7740330,95 m e E 409409,73 m; deste, segue com os seguintes azimute plano e distância: **255°51'1,98"** e **35,59 m**; até o vértice P45, de coordenadas N 7740322,25 m e E 409375,23 m; deste, segue com os seguintes azimute plano e distância: **261°45'25,74"** e **25,67 m**; até o vértice P46, de coordenadas N 7740318,57 m e E 409349,82 m; deste, segue com os seguintes azimute plano e distância: **261°13'52,17"** e **32,28 m**; até o vértice P47, de coordenadas N 7740313,65 m e E 409317,92 m; deste, segue com os seguintes azimute plano e distância: **251°07'54,35"** e **30,94 m**; até o vértice P48, de coordenadas N 7740303,64 m e E 409288,64 m; deste, segue com os seguintes azimute plano e distância: **260°29'58,27"** e **29,79 m**; até o vértice P49, de coordenadas N 7740298,72 m e E 409259,26 m; deste, segue com os seguintes azimute plano e distância: **256°54'32,95"** e **27,50 m**; até o vértice P50, de coordenadas N 7740292,49 m e E 409232,48 m; deste, segue com os seguintes azimute plano e distância: **249°04'22,30"** e **24,52 m**; até o vértice P51, de coordenadas N 7740283,74 m e E 409209,57 m; deste, segue com os seguintes azimute plano e distância: **237°21'16,55"** e **30,41 m**; até o vértice P52, de coordenadas N 7740267,33 m e E 409183,97 m; deste, segue com os seguintes azimute plano e distância: **215°32'7,41"** e **26,49 m**; até o vértice P53, de coordenadas N 7740245,78 m e E 409168,57 m; deste, segue com os seguintes azimute plano e distância: **217°13'47,54"** e **25,40 m**; até o vértice P54, de coordenadas N 7740225,55 m e E 409153,21 m; deste, segue com os seguintes azimute plano e distância: **210°09'23,62"** e **30,82 m**; até o vértice P55, de coordenadas N 7740198,91 m e E 409137,73 m; deste, segue com os seguintes azimute plano e distância: **211°59'46,38"** e **31,42 m**; até o vértice P56, de coordenadas N 7740172,26 m e E 409121,08 m; deste, segue com os seguintes azimute plano e distância: **206°58'11,94"** e **28,52 m**; até o vértice P57, de coordenadas N 7740146,84 m e E 409108,14 m; deste, segue com os seguintes azimute plano e distância: **215°36'48,06"** e **26,51 m**; até o vértice P58, de coordenadas N 7740125,29 m e E 409092,71 m; deste, segue com os seguintes azimute plano e distância: **218°26'3,33"** e **30,79 m**; até o vértice P59, de coordenadas N 7740101,18 m e E 409073,57 m; deste, segue com os seguintes azimute plano e distância: **225°17'50,78"** e **32,43 m**; até o vértice P60, de coordenadas N 7740078,36 m e E 409050,52 m; deste, segue com os seguintes azimute plano e distância: **223°43'40,31"** e **29,72 m**; até o vértice P61, de coordenadas N 7740056,89 m e E 409029,98 m; deste, segue com os seguintes azimute plano e distância: **235°32'8,21"** e **35,67 m**; até o vértice P62, de coordenadas N 7740036,70 m e E 409000,56 m; deste, segue com os seguintes azimute plano e distância: **234°29'48,35"** e **28,22 m**; até o vértice P63, de coordenadas N 7740020,31 m e E 408977,59 m; deste, segue com os seguintes azimute plano e distância: **243°41'43,67"** e **28,54 m**; até o vértice P64, de coordenadas N 7740007,66 m e E 408952,01 m; deste, segue com os seguintes azimute plano e distância: **241°13'57,97"** e **26,23 m**; até o vértice P65, de coordenadas N 7739995,04 m e E 408929,01 m; deste, segue com os seguintes azimute plano e distância: **231°35'23,54"** e **24,39 m**; até o vértice P66, de coordenadas N 7739979,89 m e E 408909,90 m; deste, segue com os seguintes azimute plano e distância: **239°52'1,28"** e **25,15 m**; até o vértice P67, de coordenadas N 7739967,26 m e E 408888,15 m; deste, segue com os seguintes azimute plano e distância: **232°59'31,75"** e **27,22 m**; até o vértice P68, de coordenadas N 7739950,88 m e E 408866,41 m; deste, segue com os seguintes azimute plano e distância: **229°06'22,26"** e **27,05 m**; até o vértice P69, de coordenadas N 7739933,17 m e E 408845,96 m; deste, segue com os seguintes azimute plano e distância: **232°25'52,14"** e **29,07 m**; até o vértice P70, de coordenadas N 7739915,44 m e E 408822,92 m; deste, segue com os seguintes azimute plano e distância: **225°27'29,75"** e **30,61 m**; até o vértice P71, de coordenadas N 7739893,97 m e E 408801,10 m; deste, segue com os seguintes azimute plano e distância: **218°53'42,97"** e **24,42 m**; até o vértice P72, de coordenadas N 7739874,96 m e E 408785,77 m; deste, segue com os seguintes azimute plano e distância: **214°52'7,61"** e **24,77 m**; até o vértice P73, de coordenadas N 7739854,64 m e E 408771,61 m; deste, segue com os seguintes azimute plano e distância: **202°04'58,91"** e **54,82 m**; até o vértice P74, de coordenadas N 7739803,84 m e E 408751,00 m; deste, segue com os seguintes azimute plano e distância: **203°37'52,54"** e **29,07 m**; até o vértice P75, de coordenadas N 7739777,21 m e E 408739,34 m; deste, segue com os seguintes azimute plano e distância: **198°45'28,37"** e **32,20 m**; até o vértice P76, de coordenadas N 7739746,72 m e E 408728,99 m; deste, segue com os seguintes azimute plano e distância: **204°48'8,42"** e **30,80 m**; até o vértice P77, de coordenadas N 7739718,76 m e E

408716,07 m; deste, segue com os seguintes azimute plano e distância: **205°31'6,56"** e **26,81** m; até o vértice P78, de coordenadas N **7739694,56** m e E **408704,52** m; deste, segue com os seguintes azimute plano e distância: **194°28'21,52"** e **26,21** m; até o vértice P79, de coordenadas N **7739669,19** m e E **408697,97** m; deste, segue com os seguintes azimute plano e distância: **177°34'56,51"** e **25,48** m; até o vértice P80, de coordenadas N **7739643,73** m e E **408699,04** m; deste, segue com os seguintes azimute plano e distância: **180°18'32,76"** e **28,00** m; até o vértice P81, de coordenadas N **7739615,73** m e E **408698,89** m; deste, segue com os seguintes azimute plano e distância: **183°09'10,43"** e **24,28** m; até o vértice P82, de coordenadas N **7739591,49** m e E **408697,56** m; deste, segue com os seguintes azimute plano e distância: **192°34'57,55"** e **29,97** m; até o vértice P83, de coordenadas N **7739562,24** m e E **408691,03** m; deste, segue com os seguintes azimute plano e distância: **200°34'17,75"** e **25,71** m; até o vértice P84, de coordenadas N **7739538,16** m e E **408681,99** m; deste, segue com os seguintes azimute plano e distância: **201°35'53,87"** e **24,56** m; até o vértice P85, de coordenadas N **7739515,33** m e E **408672,95** m; deste, segue com os seguintes azimute plano e distância: **206°58'2,92"** e **28,52** m; até o vértice P86, de coordenadas N **7739489,91** m e E **408660,02** m; deste, segue com os seguintes azimute plano e distância: **227°20'8,88"** e **26,12** m; até o vértice P87, de coordenadas N **7739472,20** m e E **408640,81** m; deste, segue com os seguintes azimute plano e distância: **221°22'8,72"** e **27,11** m; até o vértice P88, de coordenadas N **7739451,85** m e E **408622,89** m; deste, segue com os seguintes azimute plano e distância: **223°20'19,57"** e **24,32** m; até o vértice P89, de coordenadas N **7739434,16** m e E **408606,20** m; deste, segue com os seguintes azimute plano e distância: **232°21'18,98"** e **29,00** m; até o vértice P90, de coordenadas N **7739416,45** m e E **408583,23** m; deste, segue com os seguintes azimute plano e distância: **221°17'56,47"** e **50,62** m; até o vértice P91, de coordenadas N **7739378,42** m e E **408549,82** m; deste, segue com os seguintes azimute plano e distância: **228°42'46,54"** e **30,54** m; até o vértice P92, de coordenadas N **7739358,27** m e E **408526,87** m; deste, segue com os seguintes azimute plano e distância: **223°17'59,41"** e **26,14** m; até o vértice P93, de coordenadas N **7739339,24** m e E **408508,95** m; deste, segue com os seguintes azimute plano e distância: **236°39'3,38"** e **36,74** m; até o vértice P94, de coordenadas N **7739319,05** m e E **408478,26** m; deste, segue com os seguintes azimute plano e distância: **229°15'30,61"** e **27,14** m; até o vértice P95, de coordenadas N **7739301,34** m e E **408457,70** m; deste, segue com os seguintes azimute plano e distância: **233°18'51,11"** e **25,38** m; até o vértice P96, de coordenadas N **7739286,18** m e E **408437,35** m; deste, segue com os seguintes azimute plano e distância: **230°10'4,83"** e **31,65** m; até o vértice P97, de coordenadas N **7739265,91** m e E **408413,04** m; deste, segue com os seguintes azimute plano e distância: **227°20'4,25"** e **52,25** m; até o vértice P98, de coordenadas N **7739230,50** m e E **408374,63** m; deste, segue com os seguintes azimute plano e distância: **219°30'13,64"** e **26,22** m; até o vértice P99, de coordenadas N **7739210,27** m e E **408357,95** m; deste, segue com os seguintes azimute plano e distância: **218°11'50,41"** e **29,14** m; até o vértice P100, de coordenadas N **7739187,37** m e E **408339,93** m; deste, segue com os seguintes azimute plano e distância: **217°09'28,67"** e **25,38** m; até o vértice P101, de coordenadas N **7739167,15** m e E **408324,60** m; deste, segue com os seguintes azimute plano e distância: **214°56'12,97"** e **24,80** m; até o vértice P102, de coordenadas N **7739146,82** m e E **408310,40** m; deste, segue com os seguintes azimute plano e distância: **210°43'20,30"** e **20,16** m; até o vértice P103, de coordenadas N **7739129,49** m e E **408300,11** m; deste, segue com os seguintes azimute plano e distância: **218°32'26,12"** e **10,69** m; até o vértice P104, de coordenadas N **7739121,13** m e E **408293,45** m; deste, segue com os seguintes azimute plano e distância: **206°59'44,49"** e **11,28** m; até o vértice P105, de coordenadas N **7739111,08** m e E **408288,32** m; deste, segue com os seguintes azimute plano e distância: **213°09'29,34"** e **8,78** m; até o vértice P106, de coordenadas N **7739103,72** m e E **408283,52** m; deste, segue com os seguintes azimute plano e distância: **206°54'27,38"** e **28,50** m; até o vértice P107, de coordenadas N **7739078,31** m e E **408270,62** m; deste, segue com os seguintes azimute plano e distância: **208°18'34,42"** e **24,46** m; até o vértice P108, de coordenadas N **7739056,77** m e E **408259,02** m; deste, segue com os seguintes azimute plano e distância: **206°58'33,51"** e **25,64** m; até o vértice P109, de coordenadas N **7739033,92** m e E **408247,39** m; deste, segue com os seguintes azimute plano e distância: **210°16'10,44"** e **27,91** m; até o vértice P110, de coordenadas N **7739009,82** m e E **408233,32** m; deste, segue com os seguintes azimute plano e distância: **223°29'13,33"** e **28,05** m; até o vértice P111, de coordenadas N **7738989,46** m e E **408214,02** m; deste, segue com os seguintes azimute plano e distância: **225°15'28,35"** e **28,77** m; até o vértice P112, de coordenadas N **7738969,21** m e E **408193,58** m; deste, segue com os seguintes azimute plano e distância: **246°33'31,53"** e **25,07** m; até o vértice P113, de coordenadas N **7738959,24** m e E **408170,58** m; deste, segue com os seguintes azimute plano e distância: **257°58'10,80"** e **29,96** m; até o vértice P114, de coordenadas N **7738953,00** m e E **408141,28** m; deste, segue com os seguintes azimute plano e distância: **240°37'58,14"** e **30,76** m; até o vértice P115, de coordenadas N **7738937,91** m e E **408114,47** m; deste, segue com os seguintes azimute plano e distância: **222°00'10,78"** e **30,68** m; até o vértice P116, de coordenadas N **7738915,11** m e E **408093,94** m; deste, segue com os seguintes azimute plano e distância: **208°10'38,08"** e **27,32** m; até o vértice P117, de coordenadas N **7738891,02** m e E **408081,04** m; deste, segue com os seguintes azimute plano e distância: **197°42'49,58"** e **25,37** m; até o vértice P118, de coordenadas N **7738866,86** m e E **408073,32** m; deste, segue com os seguintes azimute plano e distância: **195°10'44,95"** e **25,03** m; até o vértice P119, de coordenadas N **7738842,69** m e E **408066,76** m; deste, segue com os seguintes azimute plano e distância: **185°43'10,03"** e **26,82** m; até o vértice P120, de coordenadas N **7738816,00** m e E **408064,09** m; deste, segue com os seguintes azimute plano e distância: **193°59'1,13"** e **38,03** m; até o vértice P121, de coordenadas N **7738779,10** m e E **408054,90** m; deste, segue com os seguintes azimute plano e distância: **192°30'19,99"** e **29,97** m; até o vértice P122, de coordenadas N **7738749,84** m e E **408048,41** m; deste, segue com os seguintes azimute plano e distância: **203°05'31,72"** e **26,29** m; até o vértice P123, de coordenadas N **7738725,66** m e E **408038,10** m; deste, segue com os seguintes azimute plano e distância: **210°28'39,18"** e **27,96** m; até o vértice P124, de coordenadas N **7738701,56** m e E **408023,92** m; deste, segue com os seguintes azimute plano e distância: **214°47'48,28"** e **24,62** m; até o vértice P125, de coordenadas N **7738681,35** m e

E 408009,87 m; deste, segue com os seguintes azimute plano e distância: 225°15'25,56" e 25,30 m; até o vértice P126, de coordenadas N 7738663,54 m e E 407991,90 m; deste, segue com os seguintes azimute plano e distância: 229°54'36,86" e 33,38 m; até o vértice P127, de coordenadas N 7738642,05 m e E 407966,37 m; deste, segue com os seguintes azimute plano e distância: 245°04'17,91" e 26,85 m; até o vértice P128, de coordenadas N 7738630,73 m e E 407942,02 m; deste, segue com os seguintes azimute plano e distância: 242°35'59,94" e 30,12 m; até o vértice P129, de coordenadas N 7738616,87 m e E 407915,28 m; deste, segue com os seguintes azimute plano e distância: 253°44'13,11" e 26,60 m; até o vértice P130, de coordenadas N 7738609,42 m e E 407889,74 m; deste, segue com os seguintes azimute plano e distância: 244°59'24,68" e 26,74 m; até o vértice P131, de coordenadas N 7738598,11 m e E 407865,51 m; deste, segue com os seguintes azimute plano e distância: 229°00'52,84" e 28,87 m; até o vértice P132, de coordenadas N 7738579,18 m e E 407843,72 m; deste, segue com os seguintes azimute plano e distância: 225°19'2,45" e 127,88 m; até o vértice P133, de coordenadas N 7738489,26 m e E 407752,79 m; deste, segue com os seguintes azimute plano e distância: 232°56'18,32" e 27,18 m; até o vértice P134, de coordenadas N 7738472,87 m e E 407731,10 m; deste, segue com os seguintes azimute plano e distância: 229°22'49,63" e 25,31 m; até o vértice P135, de coordenadas N 7738456,39 m e E 407711,89 m; deste, segue com os seguintes azimute plano e distância: 233°27'38,00" e 25,47 m; até o vértice P136, de coordenadas N 7738441,23 m e E 407691,43 m; deste, segue com os seguintes azimute plano e distância: 241°34'19,12" e 29,12 m; até o vértice P137, de coordenadas N 7738427,37 m e E 407665,81 m; deste, segue com os seguintes azimute plano e distância: 265°09'55,20" e 28,03 m; até o vértice P138, de coordenadas N 7738425,01 m e E 407637,89 m; deste, segue com os seguintes azimute plano e distância: 263°05'51,44" e 30,89 m; até o vértice P139, de coordenadas N 7738421,29 m e E 407607,22 m; deste, segue com os seguintes azimute plano e distância: 248°35'41,73" e 27,37 m; até o vértice P140, de coordenadas N 7738411,30 m e E 407581,74 m; deste, segue com os seguintes azimute plano e distância: 250°09'3,84" e 25,82 m; até o vértice P141, de coordenadas N 7738402,54 m e E 407557,45 m; deste, segue com os seguintes azimute plano e distância: 243°47'38,50" e 25,59 m; até o vértice P142, de coordenadas N 7738391,24 m e E 407534,49 m; deste, segue com os seguintes azimute plano e distância: 235°37'51,23" e 24,70 m; até o vértice P143, de coordenadas N 7738377,29 m e E 407514,10 m; deste, segue com os seguintes azimute plano e distância: 233°32'44,98" e 31,90 m; até o vértice P144, de coordenadas N 7738358,34 m e E 407488,44 m; deste, segue com os seguintes azimute plano e distância: 231°34'55,60" e 24,39 m; até o vértice P145, de coordenadas N 7738343,18 m e E 407469,33 m; deste, segue com os seguintes azimute plano e distância: 211°30'57,23" e 29,70 m; até o vértice P146, de coordenadas N 7738317,87 m e E 407453,81 m; deste, segue com os seguintes azimute plano e distância: 219°41'53,20" e 28,04 m; até o vértice P147, de coordenadas N 7738296,29 m e E 407435,90 m; deste, segue com os seguintes azimute plano e distância: 213°16'13,20" e 30,42 m; até o vértice P148, de coordenadas N 7738270,86 m e E 407419,22 m; deste, segue com os seguintes azimute plano e distância: 214°45'54,62" e 29,21 m; até o vértice P149, de coordenadas N 7738246,86 m e E 407402,56 m; deste, segue com os seguintes azimute plano e distância: 212°29'18,36" e 28,70 m; até o vértice P150, de coordenadas N 7738222,65 m e E 407387,14 m; deste, segue com os seguintes azimute plano e distância: 220°30'55,95" e 31,59 m; até o vértice P151, de coordenadas N 7738198,64 m e E 407366,62 m; deste, segue com os seguintes azimute plano e distância: 201°12'10,27" e 28,67 m; até o vértice P152, de coordenadas N 7738171,90 m e E 407356,25 m; deste, segue com os seguintes azimute plano e distância: 198°47'30,99" e 28,11 m; até o vértice P153, de coordenadas N 7738145,29 m e E 407347,19 m; deste, segue com os seguintes azimute plano e distância: 214°01'23,38" e 32,16 m; até o vértice P154, de coordenadas N 7738118,64 m e E 407329,20 m; deste, segue com os seguintes azimute plano e distância: 204°25'29,38" e 27,91 m; até o vértice P155, de coordenadas N 7738093,22 m e E 407317,66 m; deste, segue com os seguintes azimute plano e distância: 198°07'29,95" e 33,37 m; até o vértice P156, de coordenadas N 7738061,51 m e E 407307,28 m; deste, segue com os seguintes azimute plano e distância: 189°26'55,13" e 24,59 m; até o vértice P157, de coordenadas N 7738037,25 m e E 407303,24 m; deste, segue com os seguintes azimute plano e distância: 191°29'29,53" e 25,89 m; até o vértice P158, de coordenadas N 7738011,88 m e E 407298,08 m; deste, segue com os seguintes azimute plano e distância: 195°10'10,55" e 25,04 m; até o vértice P159, de coordenadas N 7737987,71 m e E 407291,53 m; deste, segue com os seguintes azimute plano e distância: 189°19'7,39" e 24,47 m; até o vértice P160, de coordenadas N 7737963,56 m e E 407287,57 m; deste, segue com os seguintes azimute plano e distância: 185°19'14,47" e 29,47 m; até o vértice P161, de coordenadas N 7737934,22 m e E 407284,83 m; deste, segue com os seguintes azimute plano e distância: 180°20'32,87" e 56,00 m; até o vértice P162, de coordenadas N 7737878,22 m e E 407284,50 m; deste, segue com os seguintes azimute plano e distância: 178°29'17,80" e 26,28 m; até o vértice P163, de coordenadas N 7737851,95 m e E 407285,19 m; deste, segue com os seguintes azimute plano e distância: 191°48'9,52" e 1,52 m; até o vértice P164, de coordenadas N 7737850,46 m e E 407284,88 m; deste, segue com os seguintes azimute plano e distância: 152°33'30,56" e 0,80 m; até o vértice P165, de coordenadas N 7737849,75 m e E 407285,25 m; deste, segue com os seguintes azimute plano e distância: 178°29'17,80" e 10,93 m; até o vértice P166, de coordenadas N 7737838,82 m e E 407285,54 m; deste, segue com os seguintes azimute plano e distância: 175°01'50,01" e 28,20 m; até o vértice P167, de coordenadas N 7737810,72 m e E 407287,98 m; deste, segue com os seguintes azimute plano e distância: 173°57'30,56" e 34,60 m; até o vértice P168, de coordenadas N 7737776,32 m e E 407291,62 m; deste, segue com os seguintes azimute plano e distância: 172°58'13,03" e 29,53 m; até o vértice P169, de coordenadas N 7737747,01 m e E 407295,24 m; deste, segue com os seguintes azimute plano e distância: 175°36'41,27" e 30,63 m; até o vértice P170, de coordenadas N 7737716,47 m e E 407297,58 m; deste, segue com os seguintes azimute plano e distância: 171°06'50,26" e 32,24 m; até o vértice P171, de coordenadas N 7737684,62 m e E 407302,56 m; deste, segue com os seguintes azimute plano e distância: 169°02'35,07" e 26,02 m; até o vértice P172, de coordenadas N 7737659,08 m e E 407307,51 m; deste, segue com os seguintes azimute plano e distância: 157°31'3,93" e 26,17 m; até o vértice P173, de coordenadas N 7737634,90 m e E

407317,51 m; deste, segue com os seguintes azimute plano e distância: 139°26'38,76" e 25,23 m; até o vértice P174, de coordenadas N 7737615,73 m e E 407333,91 m; deste, segue com os seguintes azimute plano e distância: 153°43'13,20" e 25,73 m; até o vértice P175, de coordenadas N 7737592,67 m e E 407345,30 m; deste, segue com os seguintes azimute plano e distância: 164°05'13,46" e 31,83 m; até o vértice P176, de coordenadas N 7737562,05 m e E 407354,03 m; deste, segue com os seguintes azimute plano e distância: 169°35'37,83" e 27,21 m; até o vértice P177, de coordenadas N 7737535,29 m e E 407358,95 m; deste, segue com os seguintes azimute plano e distância: 156°23'24,41" e 25,06 m; até o vértice P178, de coordenadas N 7737512,33 m e E 407368,99 m; deste, segue com os seguintes azimute plano e distância: 161°46'17,05" e 32,22 m; até o vértice P179, de coordenadas N 7737481,72 m e E 407379,06 m; deste, segue com os seguintes azimute plano e distância: 175°02'27,23" e 26,87 m; até o vértice P180, de coordenadas N 7737454,95 m e E 407381,39 m; deste, segue com os seguintes azimute plano e distância: 173°30'13,80" e 32,06 m; até o vértice P181, de coordenadas N 7737423,09 m e E 407385,02 m; deste, segue com os seguintes azimute plano e distância: 177°50'56,92" e 29,23 m; até o vértice P182, de coordenadas N 7737393,88 m e E 407386,11 m; deste, segue com os seguintes azimute plano e distância: 182°20'37,95" e 35,68 m; até o vértice P183, de coordenadas N 7737358,23 m e E 407384,65 m; deste, segue com os seguintes azimute plano e distância: 182°38'41,41" e 30,59 m; até o vértice P184, de coordenadas N 7737327,68 m e E 407383,24 m; deste, segue com os seguintes azimute plano e distância: 180°17'42,41" e 67,51 m; até o vértice P185, de coordenadas N 7737260,17 m e E 407382,89 m; deste, segue com os seguintes azimute plano e distância: 183°14'3,22" e 46,84 m; até o vértice P186, de coordenadas N 7737213,40 m e E 407380,25 m; deste, segue com os seguintes azimute plano e distância: 197°43'46,21" e 1,84 m; até o vértice P187, de coordenadas N 7737211,65 m e E 407379,69 m; deste, segue com os seguintes azimute plano e distância: 189°15'5,14" e 3,64 m; até o vértice P188, de coordenadas N 7737208,05 m e E 407379,10 m; deste, segue com os seguintes azimute plano e distância: 217°42'47,25" e 25,76 m; até o vértice P189, de coordenadas N 7737187,67 m e E 407363,35 m; deste, segue com os seguintes azimute plano e distância: 192°16'32,99" e 31,19 m; até o vértice P190, de coordenadas N 7737157,20 m e E 407356,72 m; deste, segue com os seguintes azimute plano e distância: 191°02'48,04" e 33,75 m; até o vértice P191, de coordenadas N 7737124,07 m e E 407350,25 m; deste, segue com os seguintes azimute plano e distância: 195°32'53,53" e 28,99 m; até o vértice P192, de coordenadas N 7737096,14 m e E 407342,48 m; deste, segue com os seguintes azimute plano e distância: 185°57'19,20" e 26,84 m; até o vértice P193, de coordenadas N 7737069,45 m e E 407339,69 m; deste, segue com os seguintes azimute plano e distância: 196°14'15,80" e 27,82 m; até o vértice P194, de coordenadas N 7737042,74 m e E 407331,91 m; deste, segue com os seguintes azimute plano e distância: 197°51'47,77" e 25,40 m; até o vértice P195, de coordenadas N 7737018,56 m e E 407324,12 m; deste, segue com os seguintes azimute plano e distância: 196°18'42,21" e 27,83 m; até o vértice P196, de coordenadas N 7736991,85 m e E 407316,31 m; deste, segue com os seguintes azimute plano e distância: 192°03'44,31" e 24,71 m; até o vértice P197, de coordenadas N 7736967,69 m e E 407311,14 m; deste, segue com os seguintes azimute plano e distância: 198°52'55,19" e 36,21 m; até o vértice P198, de coordenadas N 7736933,43 m e E 407299,42 m; deste, segue com os seguintes azimute plano e distância: 194°16'42,41" e 31,45 m; até o vértice P199, de coordenadas N 7736902,95 m e E 407291,67 m; deste, segue com os seguintes azimute plano e distância: 187°46'43,13" e 29,62 m; até o vértice P200, de coordenadas N 7736873,60 m e E 407287,66 m; deste, segue com os seguintes azimute plano e distância: 183°04'21,65" e 26,72 m; até o vértice P201, de coordenadas N 7736846,91 m e E 407286,22 m; deste, segue com os seguintes azimute plano e distância: 194°27'54,30" e 26,21 m; até o vértice P202, de coordenadas N 7736821,54 m e E 407279,68 m; deste, segue com os seguintes azimute plano e distância: 198°38'42,52" e 28,21 m; até o vértice P203, de coordenadas N 7736794,81 m e E 407270,66 m; deste, segue com os seguintes azimute plano e distância: 197°45'40,66" e 42,73 m; até o vértice P204, de coordenadas N 7736754,12 m e E 407257,63 m; deste, segue com os seguintes azimute plano e distância: 199°34'1,09" e 26,95 m; até o vértice P205, de coordenadas N 7736728,73 m e E 407248,60 m; deste, segue com os seguintes azimute plano e distância: 197°56'38,61" e 29,37 m; até o vértice P206, de coordenadas N 7736700,79 m e E 407239,55 m; deste, segue com os seguintes azimute plano e distância: 188°12'24,43" e 37,27 m; até o vértice P207, de coordenadas N 7736663,91 m e E 407234,23 m; deste, segue com os seguintes azimute plano e distância: 192°09'6,31" e 24,71 m; até o vértice P208, de coordenadas N 7736639,75 m e E 407229,03 m; deste, segue com os seguintes azimute plano e distância: 200°48'0,99" e 32,63 m; até o vértice P209, de coordenadas N 7736609,25 m e E 407217,45 m; deste, segue com os seguintes azimute plano e distância: 207°01'58,91" e 25,67 m; até o vértice P210, de coordenadas N 7736586,38 m e E 407205,78 m; deste, segue com os seguintes azimute plano e distância: 198°43'0,21" e 28,22 m; até o vértice P211, de coordenadas N 7736559,66 m e E 407196,72 m; deste, segue com os seguintes azimute plano e distância: 191°09'5,72" e 27,21 m; até o vértice P212, de coordenadas N 7736532,96 m e E 407191,46 m; deste, segue com os seguintes azimute plano e distância: 188°49'16,68" e 25,79 m; até o vértice P213, de coordenadas N 7736507,48 m e E 407187,51 m; deste, segue com os seguintes azimute plano e distância: 182°55'31,74" e 29,26 m; até o vértice P214, de coordenadas N 7736478,26 m e E 407186,01 m; deste, segue com os seguintes azimute plano e distância: 187°22'3,07" e 61,54 m; até o vértice P215, de coordenadas N 7736417,22 m e E 407178,12 m; deste, segue com os seguintes azimute plano e distância: 187°11'7,66" e 64,18 m; até o vértice P216, de coordenadas N 7736353,55 m e E 407170,09 m; deste, segue com os seguintes azimute plano e distância: 185°05'42,22" e 30,69 m; até o vértice P217, de coordenadas N 7736322,98 m e E 407167,37 m; deste, segue com os seguintes azimute plano e distância: 186°06'14,11" e 38,31 m; até o vértice P218, de coordenadas N 7736284,89 m e E 407163,30 m; deste, segue com os seguintes azimute plano e distância: 187°48'18,12" e 29,52 m; até o vértice P219, de coordenadas N 7736255,64 m e E 407159,29 m; deste, segue com os seguintes azimute plano e distância: 191°34'14,65" e 32,46 m; até o vértice P220, de coordenadas N 7736223,84 m e E 407152,78 m; deste, segue com os seguintes azimute plano e distância: 197°52'7,42" e 25,39 m; até o vértice P221, de coordenadas N 7736199,67 m e E

407144,98 m; deste, segue com os seguintes azimute plano e distância: **190°14'42,12"** e **29,72 m**; até o vértice P222, de coordenadas N **7736170,43 m** e E **407139,70 m**; deste, segue com os seguintes azimute plano e distância: **185°10'19,65"** e **29,47 m**; até o vértice P223, de coordenadas N **7736141,08 m** e E **407137,04 m**; deste, segue com os seguintes azimute plano e distância: **180°23'12,43"** e **58,55 m**; até o vértice P224, de coordenadas N **7736082,53 m** e E **407136,65 m**; deste, segue com os seguintes azimute plano e distância: **188°51'34,59"** e **25,68 m**; até o vértice P225, de coordenadas N **7736057,16 m** e E **407132,69 m**; deste, segue com os seguintes azimute plano e distância: **185°41'25,60"** e **26,93 m**; até o vértice P226, de coordenadas N **7736030,36 m** e E **407130,02 m**; deste, segue com os seguintes azimute plano e distância: **194°51'46,30"** e **35,43 m**; até o vértice P227, de coordenadas N **7735996,11 m** e E **407120,93 m**; deste, segue com os seguintes azimute plano e distância: **190°10'25,02"** e **29,71 m**; até o vértice P228, de coordenadas N **7735966,87 m** e E **407115,68 m**; deste, segue com os seguintes azimute plano e distância: **194°02'55,11"** e **43,30 m**; até o vértice P229, de coordenadas N **7735924,86 m** e E **407105,17 m**; deste, segue com os seguintes azimute plano e distância: **193°11'31,62"** e **33,93 m**; até o vértice P230, de coordenadas N **7735891,83 m** e E **407097,43 m**; deste, segue com os seguintes azimute plano e distância: **194°25'44,44"** e **31,58 m**; até o vértice P231, de coordenadas N **7735861,25 m** e E **407089,56 m**; deste, segue com os seguintes azimute plano e distância: **202°59'40,96"** e **33,03 m**; até o vértice P232, de coordenadas N **7735830,85 m** e E **407076,66 m**; deste, segue com os seguintes azimute plano e distância: **186°18'58,68"** e **24,40 m**; até o vértice P233, de coordenadas N **7735806,60 m** e E **407073,98 m**; deste, segue com os seguintes azimute plano e distância: **189°20'53,33"** e **32,22 m**; até o vértice P234, de coordenadas N **7735774,80 m** e E **407068,74 m**; deste, segue com os seguintes azimute plano e distância: **190°10'23,78"** e **29,71 m**; até o vértice P235, de coordenadas N **7735745,56 m** e E **407063,49 m**; deste, segue com os seguintes azimute plano e distância: **190°30'59,96"** e **36,18 m**; até o vértice P236, de coordenadas N **7735709,99 m** e E **407056,89 m**; deste, segue com os seguintes azimute plano e distância: **193°45'14,25"** e **27,50 m**; até o vértice P237, de coordenadas N **7735683,28 m** e E **407050,35 m**; deste, segue com os seguintes azimute plano e distância: **190°04'46,52"** e **37,47 m**; até o vértice P238, de coordenadas N **7735646,39 m** e E **407043,80 m**; deste, segue com os seguintes azimute plano e distância: **182°59'8,75"** e **29,37 m**; até o vértice P239, de coordenadas N **7735617,05 m** e E **407042,27 m**; deste, segue com os seguintes azimute plano e distância: **182°50'50,76"** e **27,93 m**; até o vértice P240, de coordenadas N **7735589,15 m** e E **407040,88 m**; deste, segue com os seguintes azimute plano e distância: **180°19'31,49"** e **67,52 m**; até o vértice P241, de coordenadas N **7735521,63 m** e E **407040,49 m**; deste, segue com os seguintes azimute plano e distância: **178°03'47,80"** e **33,10 m**; até o vértice P242, de coordenadas N **7735488,55 m** e E **407041,61 m**; deste, segue com os seguintes azimute plano e distância: **172°58'20,18"** e **29,54 m**; até o vértice P243, de coordenadas N **7735459,23 m** e E **407045,23 m**; deste, segue com os seguintes azimute plano e distância: **166°51'30,94"** e **32,80 m**; até o vértice P244, de coordenadas N **7735427,29 m** e E **407052,68 m**; deste, segue com os seguintes azimute plano e distância: **152°44'59,47"** e **30,17 m**; até o vértice P245, de coordenadas N **7735400,47 m** e E **407066,50 m**; deste, segue com os seguintes azimute plano e distância: **151°21'30,61"** e **29,04 m**; até o vértice P246, de coordenadas N **7735374,98 m** e E **407080,42 m**; deste, segue com os seguintes azimute plano e distância: **145°57'48,39"** e **29,28 m**; até o vértice P247, de coordenadas N **7735350,72 m** e E **407096,81 m**; deste, segue com os seguintes azimute plano e distância: **149°51'27,91"** e **25,14 m**; até o vértice P248, de coordenadas N **7735328,98 m** e E **407109,43 m**; deste, segue com os seguintes azimute plano e distância: **150°10'11,49"** e **35,36 m**; até o vértice P249, de coordenadas N **7735298,31 m** e E **407127,02 m**; deste, segue com os seguintes azimute plano e distância: **145°52'58,18"** e **24,77 m**; até o vértice P250, de coordenadas N **7735277,80 m** e E **407140,91 m**; deste, segue com os seguintes azimute plano e distância: **143°49'12,18"** e **30,05 m**; até o vértice P251, de coordenadas N **7735253,54 m** e E **407158,65 m**; deste, segue com os seguintes azimute plano e distância: **142°03'3,89"** e **30,74 m**; até o vértice P252, de coordenadas N **7735229,30 m** e E **407177,56 m**; deste, segue com os seguintes azimute plano e distância: **141°31'35,47"** e **24,49 m**; até o vértice P253, de coordenadas N **7735210,13 m** e E **407192,79 m**; deste, segue com os seguintes azimute plano e distância: **138°54'51,42"** e **30,70 m**; até o vértice P254, de coordenadas N **7735186,99 m** e E **407212,97 m**; deste, segue com os seguintes azimute plano e distância: **141°35'45,02"** e **24,47 m**; até o vértice P255, de coordenadas N **7735167,82 m** e E **407228,16 m**; deste, segue com os seguintes azimute plano e distância: **154°47'24,65"** e **32,46 m**; até o vértice P256, de coordenadas N **7735138,45 m** e E **407241,99 m**; deste, segue com os seguintes azimute plano e distância: **148°28'39,83"** e **31,45 m**; até o vértice P257, de coordenadas N **7735111,64 m** e E **407258,43 m**; deste, segue com os seguintes azimute plano e distância: **149°51'31,00"** e **25,13 m**; até o vértice P258, de coordenadas N **7735089,91 m** e E **407271,05 m**; deste, segue com os seguintes azimute plano e distância: **149°49'5,11"** e **32,42 m**; até o vértice P259, de coordenadas N **7735061,88 m** e E **407287,35 m**; deste, segue com os seguintes azimute plano e distância: **147°15'22,37"** e **35,00 m**; até o vértice P260, de coordenadas N **7735032,44 m** e E **407306,28 m**; deste, segue com os seguintes azimute plano e distância: **140°57'32,67"** e **36,19 m**; até o vértice P261, de coordenadas N **7735004,34 m** e E **407329,08 m**; deste, segue com os seguintes azimute plano e distância: **125°25'1,33"** e **31,08 m**; até o vértice P262, de coordenadas N **7734986,32 m** e E **407354,41 m**; deste, segue com os seguintes azimute plano e distância: **109°36'31,53"** e **26,96 m**; até o vértice P263, de coordenadas N **7734977,28 m** e E **407379,80 m**; deste, segue com os seguintes azimute plano e distância: **138°30'35,74"** e **32,50 m**; até o vértice P264, de coordenadas N **7734952,93 m** e E **407401,33 m**; este, segue com os seguintes azimute plano e distância: **141°31'39,68"** e **24,49 m**; até o vértice P265, de coordenadas N **7734933,76 m** e E **407416,57 m**; este, segue com os seguintes azimute plano e distância: **146°41'34,73"** e **27,58 m**; até o vértice P266, de coordenadas N **7734910,71 m** e E **407431,71 m**; este, segue com os seguintes azimute plano e distância: **166°16'44,99"** e **31,41 m**; até o vértice P267, de coordenadas N **7734880,20 m** e E **407439,16 m**; este, segue com os seguintes azimute plano e distância: **169°31'2,93"** e **27,21 m**; até o vértice P268, de coordenadas N **7734853,44 m** e E **407444,11 m**; este, segue com os seguintes azimute plano e distância: **164°32'8,10"** e **27,86 m**; até o vértice P269, de coordenadas N **7734826,59 m** e E

407451,54 m; deste, segue com os seguintes azimute plano e distância: **169°22'13,54"** e **33,75 m**; até o vértice P270, de coordenadas N **7734793,42 m** e E **407457,77 m**; deste, segue com os seguintes azimute plano e distância: **174°07'39,71"** e **34,48 m**; até o vértice P271, de coordenadas N **7734759,12 m** e E **407461,29 m**; deste, segue com os seguintes azimute plano e distância: **171°44'43,02"** e **25,81 m**; até o vértice P272, de coordenadas N **7734733,58 m** e E **407465,00 m**; deste, segue com os seguintes azimute plano e distância: **169°02'42,02"** e **26,02 m**; até o vértice P273, de coordenadas N **7734708,04 m** e E **407469,94 m**; deste, segue com os seguintes azimute plano e distância: **168°18'9,22"** e **24,72 m**; até o vértice P274, de coordenadas N **7734683,83 m** e E **407474,96 m**; deste, segue com os seguintes azimute plano e distância: **173°30'17,09"** e **32,06 m**; até o vértice P275, de coordenadas N **7734651,97 m** e E **407478,58 m**; deste, segue com os seguintes azimute plano e distância: **175°25'41,57"** e **29,31 m**; até o vértice P276, de coordenadas N **7734622,76 m** e E **407480,92 m**; deste, segue com os seguintes azimute plano e distância: **173°30'17,21"** e **32,06 m**; até o vértice P277, de coordenadas N **7734590,90 m** e E **407484,55 m**; deste, segue com os seguintes azimute plano e distância: **168°59'14,93"** e **32,55 m**; até o vértice P278, de coordenadas N **7734558,95 m** e E **407490,76 m**; deste, segue com os seguintes azimute plano e distância: **166°19'43,29"** e **26,16 m**; até o vértice P279, de coordenadas N **7734533,54 m** e E **407496,95 m**; deste, segue com os seguintes azimute plano e distância: **171°24'26,89"** e **24,50 m**; até o vértice P280, de coordenadas N **7734509,31 m** e E **407500,61 m**; deste, segue com os seguintes azimute plano e distância: **177°51'22,63"** e **29,34 m**; até o vértice P281, de coordenadas N **7734479,99 m** e E **407501,70 m**; deste, segue com os seguintes azimute plano e distância: **180°06'43,18"** e **25,46 m**; até o vértice P282, de coordenadas N **7734454,53 m** e E **407501,65 m**; deste, segue com os seguintes azimute plano e distância: **189°48'36,57"** e **38,67 m**; até o vértice P283, de coordenadas N **7734416,42 m** e E **407495,07 m**; deste, segue com os seguintes azimute plano e distância: **200°31'46,37"** e **40,74 m**; até o vértice P284, de coordenadas N **7734378,27 m** e E **407480,78 m**; deste, segue com os seguintes azimute plano e distância: **201°34'43,53"** e **24,57 m**; até o vértice P285, de coordenadas N **7734355,42 m** e E **407471,74 m**; deste, segue com os seguintes azimute plano e distância: **210°01'14,97"** e **30,78 m**; até o vértice P286, de coordenadas N **7734328,77 m** e E **407456,34 m**; deste, segue com os seguintes azimute plano e distância: **201°16'30,56"** e **28,68 m**; até o vértice P287, de coordenadas N **7734302,05 m** e E **407445,94 m**; deste, segue com os seguintes azimute plano e distância: **207°56'59,49"** e **27,28 m**; até o vértice P288, de coordenadas N **7734277,96 m** e E **407433,15 m**; deste, segue com os seguintes azimute plano e distância: **202°36'7,87"** e **30,28 m**; até o vértice P289, de coordenadas N **7734250,00 m** e E **407421,52 m**; deste, segue com os seguintes azimute plano e distância: **205°58'49,21"** e **32,46 m**; até o vértice P290, de coordenadas N **7734220,82 m** e E **407407,29 m**; deste, segue com os seguintes azimute plano e distância: **201°39'34,16"** e **24,59 m**; até o vértice P291, de coordenadas N **7734197,97 m** e E **407398,22 m**; deste, segue com os seguintes azimute plano e distância: **203°04'53,02"** e **35,93 m**; até o vértice P292, de coordenadas N **7734164,91 m** e E **407384,13 m**; deste, segue com os seguintes azimute plano e distância: **197°21'57,81"** e **5,40 m**; até o vértice P293, de coordenadas N **7734159,76 m** e E **407382,52 m**; deste, segue com os seguintes azimute plano e distância: **217°58'23,06"** e **10,53 m**; até o vértice P294, de coordenadas N **7734151,46 m** e E **407376,04 m**; deste, segue com os seguintes azimute plano e distância: **190°36'48,41"** e **43,92 m**; até o vértice P295, de coordenadas N **7734108,29 m** e E **407367,95 m**; deste, segue com os seguintes azimute plano e distância: **194°24'29,66"** e **3,23 m**; até o vértice P296, de coordenadas N **7734105,16 m** e E **407367,15 m**; deste, segue com os seguintes azimute plano e distância: **192°08'59,91"** e **24,71 m**; até o vértice P297, de coordenadas N **7734081,01 m** e E **407361,95 m**; deste, segue com os seguintes azimute plano e distância: **195°10'18,69"** e **25,03 m**; até o vértice P298, de coordenadas N **7734056,84 m** e E **407355,40 m**; deste, segue com os seguintes azimute plano e distância: **188°44'15,99"** e **25,78 m**; até o vértice P299, de coordenadas N **7734031,36 m** e E **407351,48 m**; deste, segue com os seguintes azimute plano e distância: **193°48'50,83"** e **27,38 m**; até o vértice P300, de coordenadas N **7734004,77 m** e E **407344,94 m**; deste, segue com os seguintes azimute plano e distância: **185°59'59,75"** e **25,62 m**; até o vértice P301, de coordenadas N **7733979,30 m** e E **407342,26 m**; deste, segue com os seguintes azimute plano e distância: **185°09'51,48"** e **15,70 m**; até o vértice P302, de coordenadas N **7733963,66 m** e E **407340,85 m**; deste, segue com os seguintes azimute plano e distância: **190°36'48,41"** e **26,99 m**; até o vértice P303, de coordenadas N **7733937,13 m** e E **407335,88 m**; deste, segue com os seguintes azimute plano e distância: **126°05'7,24"** e **4,39 m**; até o vértice P304, de coordenadas N **7733934,54 m** e E **407339,43 m**; deste, segue com os seguintes azimute plano e distância: **180°17'15,26"** e **86,42 m**; até o vértice P305, de coordenadas N **7733848,12 m** e E **407339,00 m**; deste, segue com os seguintes azimute plano e distância: **174°27'59,93"** e **24,34 m**; até o vértice P306, de coordenadas N **7733823,90 m** e E **407341,34 m**; este, segue com os seguintes azimute plano e distância: **166°05'19,90"** e **26,18 m**; até o vértice P307, de coordenadas N **7733798,48 m** e E **407347,64 m**; este, segue com os seguintes azimute plano e distância: **186°15'0,39"** e **25,63 m**; até o vértice P308, de coordenadas N **7733773,00 m** e E **407344,85 m**; este, segue com os seguintes azimute plano e distância: **180°10'14,72"** e **26,79 m**; até o vértice P309, de coordenadas N **7733746,22 m** e E **407344,77 m**; este, segue com os seguintes azimute plano e distância: **175°22'9,61"** e **29,41 m**; até o vértice P310, de coordenadas N **7733716,90 m** e E **407347,14 m**; este, segue com os seguintes azimute plano e distância: **163°14'59,94"** e **34,63 m**; até o vértice P311, de coordenadas N **7733683,75 m** e E **407357,12 m**; este, segue com os seguintes azimute plano e distância: **163°25'0,44"** e **30,55 m**; até o vértice P312, de coordenadas N **7733654,47 m** e E **407365,84 m**; este, segue com os seguintes azimute plano e distância: **163°33'24,14"** e **26,62 m**; até o vértice P313, de coordenadas N **7733628,94 m** e E **407373,37 m**; este, segue com os seguintes azimute plano e distância: **161°01'21,18"** e **26,98 m**; até o vértice P314, de coordenadas N **7733603,43 m** e E **407382,15 m**; este, segue com os seguintes azimute plano e distância: **162°45'31,05"** e **29,39 m**; até o vértice P315, de coordenadas N **7733575,35 m** e E **407390,86 m**; este, segue com os seguintes azimute plano e distância: **161°57'36,68"** e **32,18 m**; até o vértice P316, de coordenadas N **7733544,76 m** e E **407400,83 m**; este, segue com os seguintes azimute plano e distância: **157°28'34,68"** e **36,82 m**; até o vértice P317, de coordenadas N **7733510,75 m** e

E 407414,93 m; deste, segue com os seguintes azimute plano e distância: 163°10'59,48" e 23,15 m; até o vértice P318, de coordenadas N 7733488,59 m e E 407421,63 m; deste, segue com os seguintes azimute plano e distância: 165°09'47,65" e 11,83 m; até o vértice P319, de coordenadas N 7733477,15 m e E 407424,66 m; deste, segue com os seguintes azimute plano e distância: 163°33'25,34" e 26,62 m; até o vértice P320, de coordenadas N 7733451,62 m e E 407432,19 m; deste, segue com os seguintes azimute plano e distância: 165°54'6,59" e 40,80 m; até o vértice P321, de coordenadas N 7733412,05 m e E 407442,13 m; deste, segue com os seguintes azimute plano e distância: 168°57'7,07" e 32,44 m; até o vértice P322, de coordenadas N 7733380,21 m e E 407448,35 m; deste, segue com os seguintes azimute plano e distância: 173°16'6,03" e 71,84 m; até o vértice P323, de coordenadas N 7733308,86 m e E 407456,77 m; deste, segue com os seguintes azimute plano e distância: 173°36'6,69" e 33,28 m; até o vértice P324, de coordenadas N 7733275,79 m e E 407460,48 m; deste, segue com os seguintes azimute plano e distância: 169°07'4,59" e 32,54 m; até o vértice P325, de coordenadas N 7733243,84 m e E 407466,62 m; deste, segue com os seguintes azimute plano e distância: 169°24'14,92" e 40,16 m; até o vértice P326, de coordenadas N 7733204,36 m e E 407474,00 m; deste, segue com os seguintes azimute plano e distância: 174°32'51,19" e 25,55 m; até o vértice P327, de coordenadas N 7733178,93 m e E 407476,43 m; deste, segue com os seguintes azimute plano e distância: 174°17'28,41" e 24,34 m; até o vértice P328, de coordenadas N 7733154,70 m e E 407478,85 m; deste, segue com os seguintes azimute plano e distância: 177°40'56,86" e 26,80 m; até o vértice P329, de coordenadas N 7733127,92 m e E 407479,94 m; deste, segue com os seguintes azimute plano e distância: 177°34'41,27" e 25,48 m; até o vértice P330, de coordenadas N 7733102,47 m e E 407481,01 m; deste, segue com os seguintes azimute plano e distância: 173°32'15,79" e 33,28 m; até o vértice P331, de coordenadas N 7733069,40 m e E 407484,76 m; deste, segue com os seguintes azimute plano e distância: 171°59'47,95" e 25,80 m; até o vértice P332, de coordenadas N 7733043,85 m e E 407488,35 m; deste, segue com os seguintes azimute plano e distância: 174°48'9,27" e 26,88 m; até o vértice P333, de coordenadas N 7733017,08 m e E 407490,79 m; deste, segue com os seguintes azimute plano e distância: 169°54'37,02" e 34,92 m; até o vértice P334, de coordenadas N 7732982,69 m e E 407496,91 m; deste, segue com os seguintes azimute plano e distância: 171°24'28,77" e 24,50 m; até o vértice P335, de coordenadas N 7732958,47 m e E 407500,57 m; deste, segue com os seguintes azimute plano e distância: 169°40'3,83" e 34,95 m; até o vértice P336, de coordenadas N 7732924,09 m e E 407506,83 m; deste, segue com os seguintes azimute plano e distância: 176°26'8,48" e 60,19 m; até o vértice P337, de coordenadas N 7732864,01 m e E 407510,58 m; deste, segue com os seguintes azimute plano e distância: 176°23'53,31" e 25,50 m; até o vértice P338, de coordenadas N 7732838,56 m e E 407512,18 m; deste, segue com os seguintes azimute plano e distância: 174°37'59,67" e 30,67 m; até o vértice P340, de coordenadas N 7732778,82 m e E 407517,83 m; deste, segue com os seguintes azimute plano e distância: 179°21'30,07" e 181,96 m; até o vértice P341, de coordenadas N 7732596,87 m e E 407519,87 m; deste, segue com os seguintes azimute plano e distância: 181°10'3,49" e 40,74 m; até o vértice P342, de coordenadas N 7732556,14 m e E 407519,04 m; deste, segue com os seguintes azimute plano e distância: 181°58'13,43" e 29,24 m; até o vértice P343, de coordenadas N 7732526,91 m e E 407518,03 m; deste, segue com os seguintes azimute plano e distância: 179°14'57,26" e 29,33 m; até o vértice P344, de coordenadas N 7732497,59 m e E 407518,42 m; deste, segue com os seguintes azimute plano e distância: 181°22'51,27" e 39,42 m; até o vértice P345, de coordenadas N 7732458,18 m e E 407517,47 m; deste, segue com os seguintes azimute plano e distância: 182°10'22,02" e 24,26 m; até o vértice P346, de coordenadas N 7732433,94 m e E 407516,55 m; deste, segue com os seguintes azimute plano e distância: 187°19'31,56" e 28,25 m; até o vértice P347, de coordenadas N 7732405,92 m e E 407512,95 m; deste, segue com os seguintes azimute plano e distância: 184°31'2,16" e 28,10 m; até o vértice P348, de coordenadas N 7732377,91 m e E 407510,73 m; deste, segue com os seguintes azimute plano e distância: 184°48'53,48" e 26,89 m; até o vértice P349, de coordenadas N 7732351,11 m e E 407508,48 m; deste, segue com os seguintes azimute plano e distância: 189°14'27,10" e 29,64 m; até o vértice P350, de coordenadas N 7732321,86 m e E 407503,72 m; deste, segue com os seguintes azimute plano e distância: 185°21'2,82" e 24,35 m; até o vértice P351, de coordenadas N 7732297,61 m e E 407501,45 m; deste, segue com os seguintes azimute plano e distância: 191°41'10,23" e 29,98 m; até o vértice P352, de coordenadas N 7732268,25 m e E 407495,37 m; deste, segue com os seguintes azimute plano e distância: 187°07'2,27" e 37,17 m; até o vértice P353, de coordenadas N 7732231,37 m e E 407490,77 m; deste, segue com os seguintes azimute plano e distância: 190°48'57,48" e 32,49 m; até o vértice P354, de coordenadas N 7732199,46 m e E 407484,67 m; deste, segue com os seguintes azimute plano e distância: 189°08'3,55" e 29,74 m; até o vértice P355, de coordenadas N 7732170,10 m e E 407479,95 m; deste, segue com os seguintes azimute plano e distância: 198°43'53,15" e 26,92 m; até o vértice P356, de coordenadas N 7732144,60 m e E 407471,31 m; deste, segue com os seguintes azimute plano e distância: 204°49'21,27" e 26,78 m; até o vértice P357, de coordenadas N 7732120,29 m e E 407460,06 m; deste, segue com os seguintes azimute plano e distância: 191°04'27,33" e 24,72 m; até o vértice P358, de coordenadas N 7732096,03 m e E 407455,31 m; deste, segue com os seguintes azimute plano e distância: 192°18'32,59" e 28,69 m; até o vértice P359, de coordenadas N 7732068,00 m e E 407449,20 m; deste, segue com os seguintes azimute plano e distância: 198°29'14,08" e 30,99 m; até o vértice P360, de coordenadas N 7732038,61 m e E 407439,37 m; deste, segue com os seguintes azimute plano e distância: 200°40'0,06" e 24,54 m; até o vértice P361, de coordenadas N 7732015,65 m e E 407430,71 m; deste, segue com os seguintes azimute plano e distância: 194°18'18,86" e 39,57 m; até o vértice P362, de coordenadas N 7731977,31 m e E 407420,93 m; deste, segue com os seguintes azimute plano e distância: 187°32'27,87" e 26,93 m; até o vértice P363, de coordenadas N 7731950,61 m e E 407417,40 m; deste, segue com os seguintes azimute plano e distância: 190°37'13,71" e 32,46 m; até o vértice P364, de coordenadas N 7731918,70 m e E 407411,42 m; deste, segue com os seguintes azimute plano e distância: 192°14'8,09" e 28,69 m; até o vértice P365, de coordenadas N 7731890,67 m e E

407405,34 m; deste, segue com os seguintes azimute plano e distância: **187°32'41,32"** e **35,98** m; até o vértice P366, de coordenadas N **7731855,00** m e E **407400,61** m; deste, segue com os seguintes azimute plano e distância: **191°02'33,29"** e **31,27** m; até o vértice P367, de coordenadas N **7731824,31** m e E **407394,62** m; deste, segue com os seguintes azimute plano e distância: **194°06'2,59"** e **30,16** m; até o vértice P368, de coordenadas N **7731795,05** m e E **407387,27** m; deste, segue com os seguintes azimute plano e distância: **187°47'36,41"** e **25,83** m; até o vértice P369, de coordenadas N **7731769,47** m e E **407383,77** m; deste, segue com os seguintes azimute plano e distância: **184°50'13,22"** e **26,77** m; até o vértice P370, de coordenadas N **7731742,79** m e E **407381,51** m; deste, segue com os seguintes azimute plano e distância: **188°29'23,90"** e **24,53** m; até o vértice P371, de coordenadas N **7731718,52** m e E **407377,89** m; deste, segue com os seguintes azimute plano e distância: **181°19'20,23"** e **36,87** m; até o vértice P372, de coordenadas N **7731681,66** m e E **407377,04** m; deste, segue com os seguintes azimute plano e distância: **179°18'30,59"** e **50,91** m; até o vértice P373, de coordenadas N **7731630,75** m e E **407377,66** m; deste, segue com os seguintes azimute plano e distância: **173°45'11,83"** e **51,19** m; até o vértice P374, de coordenadas N **7731579,87** m e E **407383,23** m; deste, segue com os seguintes azimute plano e distância: **173°49'24,49"** e **26,82** m; até o vértice P375, de coordenadas N **7731553,21** m e E **407386,11** m; deste, segue com os seguintes azimute plano e distância: **171°16'49,98"** e **26,96** m; até o vértice P376, de coordenadas N **7731526,57** m e E **407390,20** m; deste, segue com os seguintes azimute plano e distância: **170°48'22,12"** e **25,77** m; até o vértice P377, de coordenadas N **7731501,13** m e E **407394,31** m; deste, segue com os seguintes azimute plano e distância: **170°24'36,09"** e **24,45** m; até o vértice P378, de coordenadas N **7731477,02** m e E **407398,39** m; deste, segue com os seguintes azimute plano e distância: **165°00'32,60"** e **40,74** m; até o vértice P379, de coordenadas N **7731437,68** m e E **407408,92** m; deste, segue com os seguintes azimute plano e distância: **167°32'58,53"** e **31,24** m; até o vértice P380, de coordenadas N **7731407,17** m e E **407415,66** m; deste, segue com os seguintes azimute plano e distância: **173°28'31,52"** e **24,28** m; até o vértice P381, de coordenadas N **7731383,05** m e E **407418,42** m; deste, segue com os seguintes azimute plano e distância: **166°29'7,80"** e **28,76** m; até o vértice P382, de coordenadas N **7731355,09** m e E **407425,14** m; deste, segue com os seguintes azimute plano e distância: **167°30'26,23"** e **31,13** m; até o vértice P383, de coordenadas N **7731324,69** m e E **407431,87** m; deste, segue com os seguintes azimute plano e distância: **169°55'44,25"** e **38,75** m; até o vértice P384, de coordenadas N **7731286,54** m e E **407438,65** m; deste, segue com os seguintes azimute plano e distância: **169°33'46,54"** e **29,68** m; até o vértice P385, de coordenadas N **7731257,35** m e E **407444,03** m; deste, segue com os seguintes azimute plano e distância: **168°27'38,00"** e **33,74** m; até o vértice P386, de coordenadas N **7731224,29** m e E **407450,77** m; deste, segue com os seguintes azimute plano e distância: **170°40'15,63"** e **24,43** m; até o vértice P387, de coordenadas N **7731200,19** m e E **407454,73** m; deste, segue com os seguintes azimute plano e distância: **174°49'38,58"** e **33,22** m; até o vértice P388, de coordenadas N **7731167,11** m e E **407457,73** m; deste, segue com os seguintes azimute plano e distância: **179°28'5,01"** e **29,22** m; até o vértice P389, de coordenadas N **7731137,89** m e E **407458,00** m; deste, segue com os seguintes azimute plano e distância: **176°56'43,52"** e **30,59** m; até o vértice P390, de coordenadas N **7731107,35** m e E **407459,63** m; deste, segue com os seguintes azimute plano e distância: **173°54'5,29"** e **26,80** m; até o vértice P391, de coordenadas N **7731080,70** m e E **407462,48** m; deste, segue com os seguintes azimute plano e distância: **179°23'54,56"** e **81,46** m; até o vértice P392, de coordenadas N **7730999,24** m e E **407463,33** m; deste, segue com os seguintes azimute plano e distância: **181°47'59,68"** e **30,57** m; até o vértice P393, de coordenadas N **7730968,68** m e E **407462,37** m; deste, segue com os seguintes azimute plano e distância: **185°04'52,70"** e **25,56** m; até o vértice P394, de coordenadas N **7730943,22** m e E **407460,11** m; deste, segue com os seguintes azimute plano e distância: **179°26'7,67"** e **25,46** m; até o vértice P395, de coordenadas N **7730917,76** m e E **407460,36** m; deste, segue com os seguintes azimute plano e distância: **181°30'29,22"** e **33,11** m; até o vértice P396, de coordenadas N **7730884,67** m e E **407459,49** m; deste, segue com os seguintes azimute plano e distância: **184°22'14,04"** e **29,43** m; até o vértice P397, de coordenadas N **7730855,32** m e E **407457,25** m; deste, segue com os seguintes azimute plano e distância: **190°03'33,02"** e **27,11** m; até o vértice P398, de coordenadas N **7730828,63** m e E **407452,51** m; deste, segue com os seguintes azimute plano e distância: **189°08'28,73"** e **37,48** m; até o vértice P399, de coordenadas N **7730791,62** m e E **407446,56** m; deste, segue com os seguintes azimute plano e distância: **188°29'35,22"** e **24,52** m; até o vértice P400, de coordenadas N **7730767,36** m e E **407442,93** m; deste, segue com os seguintes azimute plano e distância: **189°12'27,61"** e **29,73** m; até o vértice P401, de coordenadas N **7730738,01** m e E **407438,18** m; deste, segue com os seguintes azimute plano e distância: **188°45'49,79"** e **30,94** m; até o vértice P402, de coordenadas N **7730707,43** m e E **407433,46** m; deste, segue com os seguintes azimute plano e distância: **188°04'31,84"** e **25,74** m; até o vértice P403, de coordenadas N **7730681,95** m e E **407429,85** m; deste, segue com os seguintes azimute plano e distância: **189°12'27,24"** e **29,73** m; até o vértice P404, de coordenadas N **7730652,60** m e E **407425,09** m; deste, segue com os seguintes azimute plano e distância: **187°05'51,30"** e **28,24** m; até o vértice P405, de coordenadas N **7730624,58** m e E **407421,60** m; deste, segue com os seguintes azimute plano e distância: **193°31'13,11"** e **26,22** m; até o vértice P406, de coordenadas N **7730599,09** m e E **407415,47** m; deste, segue com os seguintes azimute plano e distância: **194°41'50,53"** e **28,99** m; até o vértice P407, de coordenadas N **7730571,05** m e E **407408,11** m; deste, segue com os seguintes azimute plano e distância: **194°50'36,37"** e **33,02** m; até o vértice P408, de coordenadas N **7730539,13** m e E **407399,65** m; deste, segue com os seguintes azimute plano e distância: **194°57'21,76"** e **47,61** m; até o vértice P409, de coordenadas N **7730493,13** m e E **407387,37** m; deste, segue com os seguintes azimute plano e distância: **194°40'42,54"** e **43,54** m; até o vértice P410, de coordenadas N **7730451,01** m e E **407376,33** m; deste, segue com os seguintes azimute plano e distância: **193°18'18,27"** e **36,67** m; até o vértice P411, de coordenadas N **7730415,32** m e E **407367,90** m; deste, segue com os seguintes azimute plano e distância: **187°59'38,40"** e **51,45** m; até o vértice P412, de coordenadas N **7730364,37** m e E **407360,74** m; deste, segue com os seguintes azimute plano e distância: **194°41'49,02"** e **28,99** m; até o vértice P413, de coordenadas N **7730336,33** m e

E 407353,39 m: deste, segue com os seguintes azimute plano e distância: $190^{\circ}00'47,35''$ e 27,23 m; até o vértice P414, de coordenadas N 7730309,52 m e E 407348,65 m; deste, segue com os seguintes azimute plano e distância: $191^{\circ}19'40,92''$ e 24,74 m; até o vértice P415, de coordenadas N 7730285,26 m e E 407343,79 m; deste, segue com os seguintes azimute plano e distância: $190^{\circ}37'9,59''$ e 25,93 m; até o vértice P416, de coordenadas N 7730259,77 m e E 407339,01 m; deste, segue com os seguintes azimute plano e distância: $188^{\circ}00'56,99''$ e 42,50 m; até o vértice P417, de coordenadas N 7730217,68 m e E 407333,09 m; deste, segue com os seguintes azimute plano e distância: $188^{\circ}45'47,24''$ e 30,94 m; até o vértice P418, de coordenadas N 7730187,11 m e E 407328,37 m; deste, segue com os seguintes azimute plano e distância: $192^{\circ}51'35,67''$ e 27,51 m; até o vértice P419, de coordenadas N 7730160,29 m e E 407322,25 m; deste, segue com os seguintes azimute plano e distância: $192^{\circ}05'14,26''$ e 28,67 m; até o vértice P420, de coordenadas N 7730132,25 m e E 407316,25 m; deste, segue com os seguintes azimute plano e distância: $187^{\circ}19'24,17''$ e 28,25 m; até o vértice P421, de coordenadas N 7730104,23 m e E 407312,64 m; deste, segue com os seguintes azimute plano e distância: $190^{\circ}05'25,92''$ e 27,23 m; até o vértice P422, de coordenadas N 7730077,42 m e E 407307,87 m; deste, segue com os seguintes azimute plano e distância: $196^{\circ}07'21,07''$ e 26,53 m; até o vértice P423, de coordenadas N 7730051,93 m e E 407300,51 m; deste, segue com os seguintes azimute plano e distância: $187^{\circ}25'44,23''$ e 27,03 m; até o vértice P424, de coordenadas N 7730025,13 m e E 407297,01 m; deste, segue com os seguintes azimute plano e distância: $186^{\circ}47'21,97''$ e 29,45 m; até o vértice P425, de coordenadas N 7729995,88 m e E 407293,53 m; deste, segue com os seguintes azimute plano e distância: $196^{\circ}53'55,80''$ e 25,37 m; até o vértice P426, de coordenadas N 7729971,61 m e E 407286,15 m; deste, segue com os seguintes azimute plano e distância: $184^{\circ}22'16,24''$ e 29,42 m; até o vértice P427, de coordenadas N 7729942,27 m e E 407283,91 m; deste, segue com os seguintes azimute plano e distância: $188^{\circ}15'59,70''$ e 24,41 m; até o vértice P428, de coordenadas N 7729918,11 m e E 407280,40 m; deste, segue com os seguintes azimute plano e distância: $217^{\circ}16'13,40''$ e 29,05 m; até o vértice P429, de coordenadas N 7729895,00 m e E 407262,81 m; deste, segue com os seguintes azimute plano e distância: $192^{\circ}38'35,00''$ e 39,18 m; até o vértice P430, de coordenadas N 7729856,77 m e E 407254,24 m; deste, segue com os seguintes azimute plano e distância: $191^{\circ}04'18,23''$ e 24,72 m; até o vértice P431, de coordenadas N 7729832,51 m e E 407249,49 m; deste, segue com os seguintes azimute plano e distância: $182^{\circ}18'16,82''$ e 25,49 m; até o vértice P432, de coordenadas N 7729807,04 m e E 407248,46 m; deste, segue com os seguintes azimute plano e distância: $179^{\circ}21'41,68''$ e 112,00 m; até o vértice P433, de coordenadas N 7729695,04 m e E 407249,71 m; deste, segue com os seguintes azimute plano e distância: $176^{\circ}47'17,50''$ e 26,71 m; até o vértice P434, de coordenadas N 7729668,38 m e E 407251,21 m; deste, segue com os seguintes azimute plano e distância: $164^{\circ}06'30,30''$ e 29,07 m; até o vértice P435, de coordenadas N 7729640,42 m e E 407259,17 m; deste, segue com os seguintes azimute plano e distância: $145^{\circ}39'18,09''$ e 32,06 m; até o vértice P436, de coordenadas N 7729613,95 m e E 407277,25 m; deste, segue com os seguintes azimute plano e distância: $165^{\circ}51'18,24''$ e 27,47 m; até o vértice P437, de coordenadas N 7729587,31 m e E 407283,97 m; deste, segue com os seguintes azimute plano e distância: $176^{\circ}55'31,06''$ e 28,03 m; até o vértice P438, de coordenadas N 7729559,32 m e E 407285,47 m; deste, segue com os seguintes azimute plano e distância: $173^{\circ}08'23,06''$ e 35,87 m; até o vértice P439, de coordenadas N 7729523,70 m e E 407289,75 m; deste, segue com os seguintes azimute plano e distância: $179^{\circ}33'9,55''$ e 31,76 m; até o vértice P440, de coordenadas N 7729491,95 m e E 407290,00 m; deste, segue com os seguintes azimute plano e distância: $176^{\circ}41'47,58''$ e 28,05 m; até o vértice P441, de coordenadas N 7729463,94 m e E 407291,62 m; deste, segue com os seguintes azimute plano e distância: $177^{\circ}03'31,45''$ e 31,91 m; até o vértice P442, de coordenadas N 7729432,08 m e E 407293,26 m; deste, segue com os seguintes azimute plano e distância: $179^{\circ}22'56,08''$ e 119,53 m; até o vértice P443, de coordenadas N 7729312,55 m e E 407294,55 m; deste, segue com os seguintes azimute plano e distância: $181^{\circ}57'36,74''$ e 29,35 m; até o vértice P444, de coordenadas N 7729283,22 m e E 407293,54 m; deste, segue com os seguintes azimute plano e distância: $185^{\circ}20'29,31''$ e 35,81 m; até o vértice P445, de coordenadas N 7729247,56 m e E 407290,21 m; deste, segue com os seguintes azimute plano e distância: $183^{\circ}59'51,81''$ e 31,97 m; até o vértice P446, de coordenadas N 7729215,67 m e E 407287,98 m; deste, segue com os seguintes azimute plano e distância: $179^{\circ}26'46,31''$ e 26,68 m; até o vértice P447, de coordenadas N 7729189,00 m e E 407288,24 m; deste, segue com os seguintes azimute plano e distância: $185^{\circ}04'47,58''$ e 25,56 m; até o vértice P448, de coordenadas N 7729163,53 m e E 407285,97 m; este, segue com os seguintes azimute plano e distância: $187^{\circ}05'46,47''$ e 28,24 m; até o vértice P449, de coordenadas N 7729135,51 m e E 407282,48 m; deste, segue com os seguintes azimute plano e distância: $181^{\circ}52'8,70''$ e 30,57 m; até o vértice P450, de coordenadas N 7729104,96 m e E 407281,49 m; deste, segue com os seguintes azimute plano e distância: $186^{\circ}45'53,95''$ e 29,55 m; até o vértice P451, de coordenadas N 7729075,61 m e E 407278,01 m; este, segue com os seguintes azimute plano e distância: $183^{\circ}50'19,19''$ e 33,19 m; até o vértice P452, de coordenadas N 7729042,50 m e E 407275,78 m; este, segue com os seguintes azimute plano e distância: $186^{\circ}29'9,67''$ e 30,76 m; até o vértice P453, de coordenadas N 7729011,94 m e E 407272,31 m; este, segue com os seguintes azimute plano e distância: $181^{\circ}44'50,47''$ e 29,24 m; até o vértice P454, de coordenadas N 7728982,71 m e E 407271,42 m; este, segue com os seguintes azimute plano e distância: $189^{\circ}20'54,32''$ e 29,75 m; até o vértice P455, de coordenadas N 7728953,35 m e E 407266,59 m; este, segue com os seguintes azimute plano e distância: $189^{\circ}29'11,74''$ e 36,17 m; até o vértice P456, de coordenadas N 7728917,68 m e E 407260,63 m; este, segue com os seguintes azimute plano e distância: $188^{\circ}19'4,27''$ e 24,51 m; até o vértice P457, de coordenadas N 7728893,43 m e E 407257,08 m; este, segue com os seguintes azimute plano e distância: $184^{\circ}06'49,11''$ e 30,64 m; até o vértice P458, de coordenadas N 7728862,86 m e E 407254,88 m; este, segue com os seguintes azimute plano e distância: $182^{\circ}18'19,50''$ e 25,48 m; até o vértice P459, de coordenadas N 7728837,41 m e E 407253,86 m; este, segue com os seguintes azimute plano e distância: $181^{\circ}39'28,84''$ e 30,57 m; até o vértice P460, de coordenadas N 7728806,85 m e E 407252,97 m; este, segue com os seguintes azimute plano e distância: $179^{\circ}23'56,17''$ e 148,86 m; até o vértice P461, de coordenadas N 7728658,00 m

e E 407254,53 m; deste, segue com os seguintes azimute plano e distância: 182°18'15,59" e 25,49 m; até o vértice P462, de coordenadas N 7728632,53 m e E 407253,51 m; deste, segue com os seguintes azimute plano e distância: 181°44'24,71" e 29,34 m; até o vértice P463, de coordenadas N 7728603,20 m e E 407252,62 m; deste, segue com os seguintes azimute plano e distância: 186°47'18,52" e 29,45 m; até o vértice P464, de coordenadas N 7728573,96 m e E 407249,14 m; deste, segue com os seguintes azimute plano e distância: 189°20'53,00" e 29,75 m; até o vértice P465, de coordenadas N 7728544,60 m e E 407244,30 m; deste, segue com os seguintes azimute plano e distância: 192°05'8,28" e 28,67 m; até o vértice P466, de coordenadas N 7728516,57 m e E 407238,30 m; deste, segue com os seguintes azimute plano e distância: 197°46'7,12" e 28,18 m; até o vértice P467, de coordenadas N 7728489,74 m e E 407229,70 m; deste, segue com os seguintes azimute plano e distância: 194°10'56,28" e 25,04 m; até o vértice P468, de coordenadas N 7728465,46 m e E 407223,57 m; deste, segue com os seguintes azimute plano e distância: 191°22'38,98" e 24,64 m; até o vértice P469, de coordenadas N 7728441,31 m e E 407218,71 m; deste, segue com os seguintes azimute plano e distância: 188°19'2,64" e 24,51 m; até o vértice P470, de coordenadas N 7728417,05 m e E 407215,16 m; deste, segue com os seguintes azimute plano e distância: 198°22'48,63" e 2,58 m; até o vértice P471, de coordenadas N 7728414,61 m e E 407214,35 m; deste, segue com os seguintes azimute plano e distância: 226°21'33,98" e 31,94 m; até o vértice P472, de coordenadas N 7728392,57 m e E 407191,24 m; deste, segue com os seguintes azimute plano e distância: 243°56'47,92" e 29,54 m; até o vértice P473, de coordenadas N 7728379,59 m e E 407164,70 m; deste, segue com os seguintes azimute plano e distância: 250°53'13,33" e 28,19 m; até o vértice P474, de coordenadas N 7728370,36 m e E 407138,06 m; deste, segue com os seguintes azimute plano e distância: 254°49'24,32" e 25,01 m; até o vértice P475, de coordenadas N 7728363,81 m e E 407113,93 m; deste, segue com os seguintes azimute plano e distância: 254°41'56,57" e 35,51 m; até o vértice P476, de coordenadas N 7728354,44 m e E 407079,67 m; deste, segue com os seguintes azimute plano e distância: 262°32'34,81" e 32,04 m; até o vértice P477, de coordenadas N 7728350,28 m e E 407047,91 m; deste, segue com os seguintes azimute plano e distância: 252°25'22,73" e 30,58 m; até o vértice P478, de coordenadas N 7728341,05 m e E 407018,76 m; deste, segue com os seguintes azimute plano e distância: 255°59'10,80" e 27,91 m; até o vértice P479, de coordenadas N 7728334,29 m e E 406991,68 m; deste, segue com os seguintes azimute plano e distância: 272°40'24,90" e 0,66 m; até o vértice P480, de coordenadas N 7728334,32 m e E 406991,01 m; deste, segue com os seguintes azimute plano e distância: 257°41'42,94" e 31,94 m; até o vértice P481, de coordenadas N 7728327,52 m e E 406959,81 m; deste, segue com os seguintes azimute plano e distância: 258°20'42,25" e 18,93 m; até o vértice P482, de coordenadas N 7728323,69 m e E 406941,27 m; deste, segue com os seguintes azimute plano e distância: 269°24'59,27" e 118,34 m; até o vértice P483, de coordenadas N 7728322,49 m e E 406822,94 m; deste, segue com os seguintes azimute plano e distância: 284°17'33,20" e 34,25 m; até o vértice P484, de coordenadas N 7728330,94 m e E 406789,76 m; deste, segue com os seguintes azimute plano e distância: 295°58'52,60" e 28,47 m; até o vértice P485, de coordenadas N 7728343,41 m e E 406764,17 m; deste, segue com os seguintes azimute plano e distância: 293°22'53,55" e 25,08 m; até o vértice P486, de coordenadas N 7728353,37 m e E 406741,14 m; deste, segue com os seguintes azimute plano e distância: 295°58'54,93" e 36,97 m; até o vértice P487, de coordenadas N 7728369,56 m e E 406707,91 m; deste, segue com os seguintes azimute plano e distância: 301°39'50,65" e 28,63 m; até o vértice P488, de coordenadas N 7728384,59 m e E 406683,55 m; deste, segue com os seguintes azimute plano e distância: 310°11'45,63" e 25,23 m; até o vértice P489, de coordenadas N 7728400,87 m e E 406664,28 m; deste, segue com os seguintes azimute plano e distância: 310°33'27,41" e 27,05 m; até o vértice P490, de coordenadas N 7728418,46 m e E 406643,73 m; deste, segue com os seguintes azimute plano e distância: 315°55'6,08" e 35,10 m; até o vértice P491, de coordenadas N 7728443,68 m e E 406619,30 m; deste, segue com os seguintes azimute plano e distância: 314°20'48,98" e 59,36 m; até o vértice P492, de coordenadas N 7728485,17 m e E 406576,85 m; deste, segue com os seguintes azimute plano e distância: 308°00'42,54" e 24,45 m; até o vértice P493, de coordenadas N 7728500,23 m e E 406557,59 m; deste, segue com os seguintes azimute plano e distância: 306°16'51,51" e 25,43 m; até o vértice P494, de coordenadas N 7728515,27 m e E 406537,09 m; deste, segue com os seguintes azimute plano e distância: 283°31'56,32" e 31,47 m; até o vértice P495, de coordenadas N 7728522,64 m e E 406506,50 m; deste, segue com os seguintes azimute plano e distância: 278°44'38,81" e 30,94 m; até o vértice P496, de coordenadas N 7728527,34 m e E 406475,92 m; deste, segue com os seguintes azimute plano e distância: 290°11'5,55" e 39,51 m; até o vértice P497, de coordenadas N 7728540,97 m e E 406438,84 m; deste, segue com os seguintes azimute plano e distância: 283°22'9,31" e 26,19 m; até o vértice P498, de coordenadas N 7728547,03 m e E 406413,36 m; deste, segue com os seguintes azimute plano e distância: 274°52'2,59" e 26,91 m; até o vértice P499, de coordenadas N 7728549,31 m e E 406386,55 m; deste, segue com os seguintes azimute plano e distância: 272°10'22,29" e 25,47 m; até o vértice P500, de coordenadas N 7728550,28 m e E 406361,10 m; deste, segue com os seguintes azimute plano e distância: 267°06'4,49" e 31,82 m; até o vértice P501, de coordenadas N 7728548,67 m e E 406329,32 m; deste, segue com os seguintes azimute plano e distância: 247°58'37,01" e 31,43 m; até o vértice P502, de coordenadas N 7728536,88 m e E 406300,18 m; deste, segue com os seguintes azimute plano e distância: 242°55'41,93" e 25,56 m; até o vértice P503, de coordenadas N 7728525,25 m e E 406277,42 m; deste, segue com os seguintes azimute plano e distância: 252°12'36,11" e 34,67 m; até o vértice P504, de coordenadas N 7728514,66 m e E 406244,42 m; deste, segue com os seguintes azimute plano e distância: 257°07'12,58" e 29,99 m; até o vértice P505, de coordenadas N 7728507,98 m e E 406215,18 m; deste, segue com os seguintes azimute plano e distância: 259°58'19,10" e 30,88 m; até o vértice P506, de coordenadas N 7728502,60 m e E 406184,77 m; deste, segue com os seguintes azimute plano e distância: 264°31'8,56" e 29,43 m; até o vértice P507, de coordenadas N 7728499,79 m e E 406155,47 m; deste, segue com os seguintes azimute plano e distância: 266°51'8,16" e 4,35 m; até o vértice P508, de coordenadas N 7728499,55 m e E 406151,12 m; deste, segue com os seguintes azimute plano e distância: 300°14'35,16" e 0,69 m; até o vértice P509, de coordenadas N 7728499,90 m e E

406150,53 m; deste, segue com os seguintes azimute plano e distância: **237°08'39,69"** e **0,77 m**; até o vértice P510, de coordenadas N **7728499,48 m** e E **406149,88 m**; deste, segue com os seguintes azimute plano e distância: **266°51'8,16"** e **23,64 m**; até o vértice P511, de coordenadas N **7728498,18 m** e E **406126,28 m**; deste, segue com os seguintes azimute plano e distância: **269°11'31,28"** e **25,52 m**; até o vértice P512, de coordenadas N **7728497,82 m** e E **406100,76 m**; deste, segue com os seguintes azimute plano e distância: **273°20'31,98"** e **38,25 m**; até o vértice P513, de coordenadas N **7728500,05 m** e E **406062,58 m**; deste, segue com os seguintes azimute plano e distância: **280°29'54,86"** e **25,91 m**; até o vértice P514, de coordenadas N **7728504,77 m** e E **406037,10 m**; deste, segue com os seguintes azimute plano e distância: **299°33'7,04"** e **28,00 m**; até o vértice P515, de coordenadas N **7728518,58 m** e E **406012,74 m**; deste, segue com os seguintes azimute plano e distância: **316°12'55,29"** e **26,08 m**; até o vértice P516, de coordenadas N **7728537,41 m** e E **405994,70 m**; deste, segue com os seguintes azimute plano e distância: **304°26'32,22"** e **31,06 m**; até o vértice P517, de coordenadas N **7728554,98 m** e E **405969,08 m**; deste, segue com os seguintes azimute plano e distância: **301°07'40,31"** e **31,41 m**; até o vértice P518, de coordenadas N **7728571,22 m** e E **405942,19 m**; deste, segue com os seguintes azimute plano e distância: **302°19'52,86"** e **30,36 m**; até o vértice P519, de coordenadas N **7728587,45 m** e E **405916,54 m**; deste, segue com os seguintes azimute plano e distância: **306°51'21,57"** e **54,40 m**; até o vértice P520, de coordenadas N **7728620,08 m** e E **405873,01 m**; deste, segue com os seguintes azimute plano e distância: **301°39'39,26"** e **28,63 m**; até o vértice P521, de coordenadas N **7728635,11 m** e E **405848,65 m**; deste, segue com os seguintes azimute plano e distância: **299°52'21,63"** e **25,10 m**; até o vértice P522, de coordenadas N **7728647,61 m** e E **405826,88 m**; deste, segue com os seguintes azimute plano e distância: **283°18'32,74"** e **26,30 m**; até o vértice P523, de coordenadas N **7728653,66 m** e E **405801,29 m**; deste, segue com os seguintes azimute plano e distância: **283°00'35,53"** e **32,67 m**; até o vértice P524, de coordenadas N **7728661,02 m** e E **405769,46 m**; deste, segue com os seguintes azimute plano e distância: **284°03'36,48"** e **24,95 m**; até o vértice P525, de coordenadas N **7728667,08 m** e E **405745,25 m**; deste, segue com os seguintes azimute plano e distância: **284°02'16,37"** e **30,37 m**; até o vértice P526, de coordenadas N **7728674,45 m** e E **405715,79 m**; deste, segue com os seguintes azimute plano e distância: **293°11'15,89"** e **34,67 m**; até o vértice P527, de coordenadas N **7728688,10 m** e E **405683,92 m**; deste, segue com os seguintes azimute plano e distância: **295°47'42,81"** e **25,66 m**; até o vértice P528, de coordenadas N **7728699,27 m** e E **405660,81 m**; deste, segue com os seguintes azimute plano e distância: **296°59'23,77"** e **30,16 m**; até o vértice P529, de coordenadas N **7728712,95 m** e E **405633,94 m**; deste, segue com os seguintes azimute plano e distância: **305°12'47,38"** e **28,18 m**; até o vértice P530, de coordenadas N **7728729,20 m** e E **405610,92 m**; deste, segue com os seguintes azimute plano e distância: **303°52'12,91"** e **29,36 m**; até o vértice P531, de coordenadas N **7728745,56 m** e E **405586,54 m**; deste, segue com os seguintes azimute plano e distância: **302°19'47,66"** e **30,36 m**; até o vértice P532, de coordenadas N **7728761,80 m** e E **405560,89 m**; deste, segue com os seguintes azimute plano e distância: **306°14'28,17"** e **31,77 m**; até o vértice P533, de coordenadas N **7728780,58 m** e E **405535,27 m**; deste, segue com os seguintes azimute plano e distância: **308°18'11,26"** e **42,56 m**; até o vértice P534, de coordenadas N **7728806,96 m** e E **405501,86 m**; deste, segue com os seguintes azimute plano e distância: **284°04'17,58"** e **30,26 m**; até o vértice P535, de coordenadas N **7728814,32 m** e E **405472,51 m**; deste, segue com os seguintes azimute plano e distância: **310°47'1,82"** e **28,79 m**; até o vértice P536, de coordenadas N **7728833,13 m** e E **405450,71 m**; deste, segue com os seguintes azimute plano e distância: **314°22'36,14"** e **32,42 m**; até o vértice P537, de coordenadas N **7728855,80 m** e E **405427,54 m**; deste, segue com os seguintes azimute plano e distância: **316°07'43,70"** e **29,63 m**; até o vértice P538, de coordenadas N **7728877,16 m** e E **405407,00 m**; deste, segue com os seguintes azimute plano e distância: **314°22'36,54"** e **30,68 m**; até o vértice P539, de coordenadas N **7728898,62 m** e E **405385,08 m**; deste, segue com os seguintes azimute plano e distância: **309°07'20,31"** e **8,01 m**; até o vértice P540, de coordenadas N **7728903,67 m** e E **405378,86 m**; deste, segue com os seguintes azimute plano e distância: **21°31'28,80"** e **0,87 m**; até o vértice P541, de coordenadas N **7728904,48 m** e E **405379,18 m**; deste, segue com os seguintes azimute plano e distância: **297°02'2,62"** e **3,98 m**; até o vértice P542, de coordenadas N **7728906,29 m** e E **405375,64 m**; deste, segue com os seguintes azimute plano e distância: **309°07'20,31"** e **17,63 m**; até o vértice P543, de coordenadas N **7728917,41 m** e E **405361,96 m**; deste, segue com os seguintes azimute plano e distância: **300°49'17,73"** e **34,25 m**; até o vértice P544, de coordenadas N **7728934,96 m** e E **405332,55 m**; deste, segue com os seguintes azimute plano e distância: **295°57'36,59"** e **28,51 m**; até o vértice P545, de coordenadas N **7728947,44 m** e E **405306,92 m**; deste, segue com os seguintes azimute plano e distância: **291°04'44,44"** e **34,26 m**; até o vértice P546, de coordenadas N **7728959,76 m** e E **405274,95 m**; deste, segue com os seguintes azimute plano e distância: **277°52'5,49"** e **25,67 m**; até o vértice P547, de coordenadas N **7728963,28 m** e E **405249,52 m**; deste, segue com os seguintes azimute plano e distância: **274°53'4,29"** e **26,91 m**; até o vértice P548, de coordenadas N **7728965,57 m** e E **405222,71 m**; deste, segue com os seguintes azimute plano e distância: **269°26'9,90"** e **22,53 m**; até o vértice P549, de coordenadas N **7728965,35 m** e E **405200,18 m**; este, segue com os seguintes azimute plano e distância: **277°52'14,83"** e **0,99 m**; até o vértice P550, de coordenadas N **7728965,48 m** e E **405199,20 m**; este, segue com os seguintes azimute plano e distância: **254°22'18,09"** e **0,56 m**; até o vértice P551, de coordenadas N **7728965,33 m** e E **405198,66 m**; este, segue com os seguintes azimute plano e distância: **269°26'9,90"** e **3,91 m**; até o vértice P552, de coordenadas N **7728965,29 m** e E **405194,75 m**; este, segue com os seguintes azimute plano e distância: **262°48'8,25"** e **33,27 m**; até o vértice P553, de coordenadas N **7728961,12 m** e E **405161,74 m**; este, segue com os seguintes azimute plano e distância: **253°08'17,58"** e **31,87 m**; até o vértice P554, de coordenadas N **7728951,88 m** e E **405131,24 m**; este, segue com os seguintes azimute plano e distância: **246°51'53,81"** e **39,95 m**; até o vértice P555, de coordenadas N **7728936,19 m** e E **405094,51 m**; este, segue com os seguintes azimute plano e distância: **246°07'12,14"** e **38,78 m**; até o vértice P556, de coordenadas N **7728920,49 m** e E **405059,05 m**; este, segue com os seguintes azimute plano e distância: **242°48'14,81"** e **28,40 m**; até o vértice P557, de coordenadas N **7728907,51 m** e

E 405033,79 m; deste, segue com os seguintes azimute plano e distância: 243°48'11,22" e 32,45 m; até o vértice P558, de coordenadas N 7728893,18 m e E 405004,67 m; deste, segue com os seguintes azimute plano e distância: 245°39'50,74" e 34,80 m; até o vértice P559, de coordenadas N 7728878,84 m e E 404972,96 m; deste, segue com os seguintes azimute plano e distância: 252°24'59,77" e 30,58 m; até o vértice P560, de coordenadas N 7728869,60 m e E 404943,81 m; deste, segue com os seguintes azimute plano e distância: 253°29'11,00" e 27,79 m; até o vértice P561, de coordenadas N 7728861,70 m e E 404917,17 m; deste, segue com os seguintes azimute plano e distância: 252°44'32,19" e 26,60 m; até o vértice P562, de coordenadas N 7728853,81 m e E 404891,76 m; deste, segue com os seguintes azimute plano e distância: 253°29'10,31" e 27,79 m; até o vértice P563, de coordenadas N 7728845,91 m e E 404865,12 m; deste, segue com os seguintes azimute plano e distância: 263°35'3,79" e 51,03 m; até o vértice P564, de coordenadas N 7728840,21 m e E 404814,41 m; deste, segue com os seguintes azimute plano e distância: 269°22'39,49" e 62,38 m; até o vértice P565, de coordenadas N 7728839,53 m e E 404752,03 m; deste, segue com os seguintes azimute plano e distância: 241°42'6,45" e 27,37 m; até o vértice P566, de coordenadas N 7728826,56 m e E 404727,93 m; deste, segue com os seguintes azimute plano e distância: 245°14'11,81" e 27,83 m; até o vértice P567, de coordenadas N 7728814,90 m e E 404702,66 m; deste, segue com os seguintes azimute plano e distância: 264°30'0,39" e 30,68 m; até o vértice P568, de coordenadas N 7728811,96 m e E 404672,13 m; deste, segue com os seguintes azimute plano e distância: 266°32'30,72" e 24,21 m; até o vértice P569, de coordenadas N 7728810,50 m e E 404647,96 m; deste, segue com os seguintes azimute plano e distância: 269°17'4,39" e 31,83 m; até o vértice P570, de coordenadas N 7728810,10 m e E 404616,14 m; deste, segue com os seguintes azimute plano e distância: 264°29'16,76" e 29,40 m; até o vértice P571, de coordenadas N 7728807,28 m e E 404586,88 m; deste, segue com os seguintes azimute plano e distância: 263°28'5,85" e 25,60 m; até o vértice P572, de coordenadas N 7728804,37 m e E 404561,45 m; deste, segue com os seguintes azimute plano e distância: 249°16'15,01" e 25,71 m; até o vértice P573, de coordenadas N 7728795,27 m e E 404537,40 m; deste, segue com os seguintes azimute plano e distância: 230°42'16,55" e 48,91 m; até o vértice P574, de coordenadas N 7728764,29 m e E 404499,55 m; deste, segue com os seguintes azimute plano e distância: 243°55'14,74" e 29,55 m; até o vértice P575, de coordenadas N 7728751,30 m e E 404473,01 m; deste, segue com os seguintes azimute plano e distância: 253°08'8,43" e 31,87 m; até o vértice P576, de coordenadas N 7728742,06 m e E 404442,51 m; deste, segue com os seguintes azimute plano e distância: 257°27'36,03" e 24,62 m; até o vértice P577, de coordenadas N 7728736,71 m e E 404418,49 m; deste, segue com os seguintes azimute plano e distância: 266°45'12,24" e 28,11 m; até o vértice P578, de coordenadas N 7728735,12 m e E 404390,42 m; deste, segue com os seguintes azimute plano e distância: 271°40'12,58" e 31,81 m; até o vértice P579, de coordenadas N 7728736,05 m e E 404358,62 m; deste, segue com os seguintes azimute plano e distância: 278°16'42,90" e 24,45 m; até o vértice P580, de coordenadas N 7728739,57 m e E 404334,43 m; deste, segue com os seguintes azimute plano e distância: 284°41'37,09" e 29,03 m; até o vértice P581, de coordenadas N 7728746,93 m e E 404306,35 m; deste, segue com os seguintes azimute plano e distância: 281°36'45,82" e 29,96 m; até o vértice P582, de coordenadas N 7728752,96 m e E 404277,01 m; deste, segue com os seguintes azimute plano e distância: 288°39'20,79" e 31,00 m; até o vértice P583, de coordenadas N 7728762,88 m e E 404247,64 m; deste, segue com os seguintes azimute plano e distância: 279°06'19,23" e 29,68 m; até o vértice P584, de coordenadas N 7728767,58 m e E 404218,34 m; deste, segue com os seguintes azimute plano e distância: 269°27'48,34" e 29,31 m; até o vértice P585, de coordenadas N 7728767,30 m e E 404189,02 m; deste, segue com os seguintes azimute plano e distância: 257°37'21,33" e 31,24 m; até o vértice P586, de coordenadas N 7728760,60 m e E 404158,51 m; deste, segue com os seguintes azimute plano e distância: 236°27'55,18" e 25,66 m; até o vértice P587, de coordenadas N 7728746,43 m e E 404137,12 m; deste, segue com os seguintes azimute plano e distância: 235°40'52,09" e 27,52 m; até o vértice P588, de coordenadas N 7728730,91 m e E 404114,39 m; deste, segue com os seguintes azimute plano e distância: 230°47'9,34" e 24,50 m; até o vértice P589, de coordenadas N 7728715,42 m e E 404095,41 m; deste, segue com os seguintes azimute plano e distância: 222°31'53,48" e 29,74 m; até o vértice P590, de coordenadas N 7728693,50 m e E 404075,30 m; deste, segue com os seguintes azimute plano e distância: 239°38'4,40" e 30,74 m; até o vértice P591, de coordenadas N 7728677,96 m e E 404048,78 m; deste, segue com os seguintes azimute plano e distância: 247°37'51,49" e 27,41 m; até o vértice P592, de coordenadas N 7728667,53 m e E 404023,43 m; deste, segue com os seguintes azimute plano e distância: 263°59'35,77" e 26,86 m; até o vértice P593, de coordenadas N 7728664,72 m e E 403996,72 m; deste, segue com os seguintes azimute plano e distância: 269°10'57,75" e 25,41 m; até o vértice P594, de coordenadas N 7728664,36 m e E 403971,31 m; deste, segue com os seguintes azimute plano e distância: 272°33'2,12" e 24,24 m; até o vértice P595, de coordenadas N 7728665,44 m e E 403947,10 m; deste, segue com os seguintes azimute plano e distância: 289°14'10,43" e 29,75 m; até o vértice P596, de coordenadas N 7728675,24 m e E 403919,00 m; deste, segue com os seguintes azimute plano e distância: 299°51'58,00" e 25,10 m; até o vértice P597, de coordenadas N 7728687,74 m e E 403897,24 m; deste, segue com os seguintes azimute plano e distância: 310°22'29,36" e 25,30 m; até o vértice P598, de coordenadas N 7728704,13 m e E 403877,97 m; deste, segue com os seguintes azimute plano e distância: 314°17'2,59" e 28,84 m; até o vértice P599, de coordenadas N 7728724,26 m e E 403857,32 m; deste, segue com os seguintes azimute plano e distância: 324°19'26,09" e 26,47 m; até o vértice P600, de coordenadas N 7728745,76 m e E 403841,89 m; deste, segue com os seguintes azimute plano e distância: 328°45'43,17" e 32,51 m; até o vértice P601, de coordenadas N 7728773,56 m e E 403825,03 m; deste, segue com os seguintes azimute plano e distância: 327°04'54,11" e 28,64 m; até o vértice P602, de coordenadas N 7728797,59 m e E 403809,47 m; deste, segue com os seguintes azimute plano e distância: 325°47'26,26" e 27,47 m; até o vértice P603, de coordenadas N 7728820,31 m e E 403794,02 m; deste, segue com os seguintes azimute plano e distância: 329°13'5,64" e 27,99 m; até o vértice P604, de coordenadas N 7728844,35 m e E 403779,70 m; deste, segue com os seguintes azimute plano e distância: 323°27'10,07" e 28,26 m; até o vértice P605, de coordenadas N 7728867,06 m e E

403762,87 m; deste, segue com os seguintes azimute plano e distância: 320°51'39,35" e 24,43 m; até o vértice P606, de coordenadas N 7728886,01 m e E 403747,45 m; deste, segue com os seguintes azimute plano e distância: 312°23'47,65" e 26,11 m; até o vértice P607, de coordenadas N 7728903,61 m e E 403728,17 m; deste, segue com os seguintes azimute plano e distância: 306°16'14,98" e 25,43 m; até o vértice P608, de coordenadas N 7728918,66 m e E 403707,67 m; deste, segue com os seguintes azimute plano e distância: 298°06'11,84" e 29,06 m; até o vértice P609, de coordenadas N 7728932,35 m e E 403682,03 m; deste, segue com os seguintes azimute plano e distância: 289°34'2,79" e 25,70 m; até o vértice P610, de coordenadas N 7728940,96 m e E 403657,81 m; deste, segue com os seguintes azimute plano e distância: 278°29'36,14" e 24,50 m; até o vértice P611, de coordenadas N 7728944,57 m e E 403633,58 m; deste, segue com os seguintes azimute plano e distância: 281°38'37,95" e 29,93 m; até o vértice P612, de coordenadas N 7728950,61 m e E 403604,27 m; deste, segue com os seguintes azimute plano e distância: 278°14'23,22" e 24,48 m; até o vértice P613, de coordenadas N 7728954,12 m e E 403580,04 m; deste, segue com os seguintes azimute plano e distância: 272°02'17,22" e 26,82 m; até o vértice P614, de coordenadas N 7728955,08 m e E 403553,23 m; deste, segue com os seguintes azimute plano e distância: 269°26'4,23" e 52,13 m; até o vértice P615, de coordenadas N 7728954,56 m e E 403501,10 m; deste, segue com os seguintes azimute plano e distância: 261°35'12,83" e 28,32 m; até o vértice P616, de coordenadas N 7728950,42 m e E 403473,09 m; deste, segue com os seguintes azimute plano e distância: 252°20'3,14" e 34,52 m; até o vértice P617, de coordenadas N 7728939,94 m e E 403440,19 m; deste, segue com os seguintes azimute plano e distância: 232°58'45,14" e 30,01 m; até o vértice P618, de coordenadas N 7728921,88 m e E 403416,24 m; deste, segue com os seguintes azimute plano e distância: 226°10'29,53" e 29,75 m; até o vértice P619, de coordenadas N 7728901,27 m e E 403394,77 m; deste, segue com os seguintes azimute plano e distância: 190°04'35,23" e 27,23 m; até o vértice P620, de coordenadas N 7728874,46 m e E 403390,01 m; deste, segue com os seguintes azimute plano e distância: 184°21'27,37" e 29,42 m; até o vértice P621, de coordenadas N 7728845,12 m e E 403387,77 m; deste, segue com os seguintes azimute plano e distância: 179°20'50,77" e 39,41 m; até o vértice P622, de coordenadas N 7728805,72 m e E 403388,22 m; deste, segue com os seguintes azimute plano e distância: 176°54'43,90" e 28,03 m; até o vértice P623, de coordenadas N 7728777,73 m e E 403389,73 m; deste, segue com os seguintes azimute plano e distância: 166°28'24,67" e 28,76 m; até o vértice P624, de coordenadas N 7728749,76 m e E 403396,46 m; deste, segue com os seguintes azimute plano e distância: 153°58'17,26" e 26,65 m; até o vértice P625, de coordenadas N 7728725,81 m e E 403408,15 m; deste, segue com os seguintes azimute plano e distância: 158°01'26,02" e 31,43 m; até o vértice P626, de coordenadas N 7728696,66 m e E 403419,92 m; deste, segue com os seguintes azimute plano e distância: 157°36'28,65" e 27,47 m; até o vértice P627, de coordenadas N 7728671,26 m e E 403430,38 m; deste, segue com os seguintes azimute plano e distância: 151°43'46,06" e 27,31 m; até o vértice P628, de coordenadas N 7728647,21 m e E 403443,32 m; deste, segue com os seguintes azimute plano e distância: 146°57'43,88" e 28,54 m; até o vértice P629, de coordenadas N 7728623,28 m e E 403458,88 m; deste, segue com os seguintes azimute plano e distância: 148°27'53,29" e 29,77 m; até o vértice P630, de coordenadas N 7728597,91 m e E 403474,45 m; deste, segue com os seguintes azimute plano e distância: 151°39'36,67" e 27,33 m; até o vértice P631, de coordenadas N 7728573,85 m e E 403487,42 m; deste, segue com os seguintes azimute plano e distância: 157°30'51,40" e 27,36 m; até o vértice P632, de coordenadas N 7728548,57 m e E 403497,89 m; deste, segue com os seguintes azimute plano e distância: 159°40'42,24" e 33,80 m; até o vértice P633, de coordenadas N 7728516,87 m e E 403509,63 m; deste, segue com os seguintes azimute plano e distância: 168°24'44,41" e 33,63 m; até o vértice P634, de coordenadas N 7728483,93 m e E 403516,38 m; deste, segue com os seguintes azimute plano e distância: 172°49'18,28" e 33,34 m; até o vértice P635, de coordenadas N 7728450,85 m e E 403520,55 m; deste, segue com os seguintes azimute plano e distância: 176°29'3,34" e 24,27 m; até o vértice P636, de coordenadas N 7728426,62 m e E 403522,04 m; deste, segue com os seguintes azimute plano e distância: 176°40'15,96" e 27,93 m; até o vértice P637, de coordenadas N 7728398,74 m e E 403523,66 m; deste, segue com os seguintes azimute plano e distância: 176°29'3,39" e 24,27 m; até o vértice P638, de coordenadas N 7728374,51 m e E 403525,15 m; deste, segue com os seguintes azimute plano e distância: 179°10'6,62" e 25,46 m; até o vértice P639, de coordenadas N 7728349,05 m e E 403525,52 m; deste, segue com os seguintes azimute plano e distância: 176°54'45,58" e 28,03 m; até o vértice P640, de coordenadas N 7728321,06 m e E 403527,03 m; deste, segue com os seguintes azimute plano e distância: 179°20'13,48" e 69,95 m; até o vértice P641, de coordenadas N 7728251,12 m e E 403527,83 m; deste, segue com os seguintes azimute plano e distância: 188°28'41,68" e 24,52 m; até o vértice P642, de coordenadas N 7728226,86 m e E 403524,22 m; deste, segue com os seguintes azimute plano e distância: 187°48'45,44" e 25,72 m; até o vértice P643, de coordenadas N 7728201,38 m e E 403520,72 m; deste, segue com os seguintes azimute plano e distância: 200°38'54,80" e 24,54 m; até o vértice P644, de coordenadas N 7728178,42 m e E 403512,07 m; deste, segue com os seguintes azimute plano e distância: 201°52'40,73" e 39,93 m; até o vértice P645, de coordenadas N 7728141,37 m e E 403497,19 m; deste, segue com os seguintes azimute plano e distância: 204°10'3,38" e 36,48 m; até o vértice P646, de coordenadas N 7728108,08 m e E 403482,26 m; deste, segue com os seguintes azimute plano e distância: 208°30'15,59" e 26,15 m; até o vértice P647, de coordenadas N 7728085,10 m e E 403469,78 m; deste, segue com os seguintes azimute plano e distância: 201°29'45,99" e 30,29 m; até o vértice P648, de coordenadas N 7728056,92 m e E 403458,68 m; deste, segue com os seguintes azimute plano e distância: 179°31'16,99" e 28,00 m; até o vértice P649, de coordenadas N 7728028,92 m e E 403458,91 m; deste, segue com os seguintes azimute plano e distância: 183°00'2,85" e 39,46 m; até o vértice P650, de coordenadas N 7727989,51 m e E 403456,84 m; deste, segue com os seguintes azimute plano e distância: 189°46'57,78" e 28,44 m; até o vértice P651, de coordenadas N 7727961,48 m e E 403452,01 m; deste, segue com os seguintes azimute plano e distância: 188°12'51,14" e 24,52 m; até o vértice P652, de coordenadas N 7727937,21 m e E 403448,51 m; deste, segue com os seguintes azimute plano e distância: 191°44'20,42" e 29,99 m; até o vértice P653, de coordenadas N 7727907,85 m e

E 403442,41 m; deste, segue com os seguintes azimute plano e distância: 200°33'57,71" e 24,52 m; até o vértice P654, de coordenadas N 7727884,89 m e E 403433,79 m; deste, segue com os seguintes azimute plano e distância: 196°20'27,45" e 30,62 m; até o vértice P655, de coordenadas N 7727855,51 m e E 403425,18 m; deste, segue com os seguintes azimute plano e distância: 196°06'25,46" e 26,53 m; até o vértice P656, de coordenadas N 7727830,01 m e E 403417,82 m; deste, segue com os seguintes azimute plano e distância: 208°06'52,67" e 29,08 m; até o vértice P657, de coordenadas N 7727804,37 m e E 403404,11 m; deste, segue com os seguintes azimute plano e distância: 216°08'3,63" e 25,45 m; até o vértice P658, de coordenadas N 7727783,81 m e E 403389,10 m; deste, segue com os seguintes azimute plano e distância: 207°09'14,31" e 27,33 m; até o vértice P659, de coordenadas N 7727759,49 m e E 403376,63 m; deste, segue com os seguintes azimute plano e distância: 200°48'39,54" e 24,56 m; até o vértice P660, de coordenadas N 7727736,53 m e E 403367,90 m; deste, segue com os seguintes azimute plano e distância: 205°06'13,32" e 38,11 m; até o vértice P661, de coordenadas N 7727702,03 m e E 403351,74 m; deste, segue com os seguintes azimute plano e distância: 205°55'53,56" e 34,19 m; até o vértice P662, de coordenadas N 7727671,28 m e E 403336,79 m; deste, segue com os seguintes azimute plano e distância: 207°06'7,44" e 24,44 m; até o vértice P663, de coordenadas N 7727649,52 m e E 403325,65 m; deste, segue com os seguintes azimute plano e distância: 208°30'11,05" e 26,15 m; até o vértice P664, de coordenadas N 7727626,54 m e E 403313,17 m; deste, segue com os seguintes azimute plano e distância: 207°20'8,42" e 24,50 m; até o vértice P665, de coordenadas N 7727604,78 m e E 403301,92 m; deste, segue com os seguintes azimute plano e distância: 213°02'41,49" e 32,20 m; até o vértice P666, de coordenadas N 7727577,78 m e E 403284,36 m; deste, segue com os seguintes azimute plano e distância: 215°39'51,08" e 29,95 m; até o vértice P667, de coordenadas N 7727553,45 m e E 403266,90 m; deste, segue com os seguintes azimute plano e distância: 216°16'27,22" e 31,85 m; até o vértice P668, de coordenadas N 7727527,77 m e E 403248,05 m; deste, segue com os seguintes azimute plano e distância: 217°02'31,63" e 35,37 m; até o vértice P669, de coordenadas N 7727499,54 m e E 403226,75 m; deste, segue com os seguintes azimute plano e distância: 228°40'29,66" e 25,31 m; até o vértice P670, de coordenadas N 7727482,82 m e E 403207,74 m; deste, segue com os seguintes azimute plano e distância: 235°04'27,98" e 29,23 m; até o vértice P671, de coordenadas N 7727466,09 m e E 403183,78 m; deste, segue com os seguintes azimute plano e distância: 237°53'7,46" e 26,89 m; até o vértice P672, de coordenadas N 7727451,80 m e E 403161,00 m; deste, segue com os seguintes azimute plano e distância: 239°35'39,80" e 3,35 m; até o vértice P673, de coordenadas N 7727450,10 m e E 403158,11 m; deste, segue com os seguintes azimute plano e distância: 278°10'15,52" e 1,78 m; até o vértice P674, de coordenadas N 7727450,36 m e E 403156,35 m; deste, segue com os seguintes azimute plano e distância: 179°49'22,22" e 1,29 m; até o vértice P675, de coordenadas N 7727449,07 m e E 403156,35 m; deste, segue com os seguintes azimute plano e distância: 239°35'39,80" e 25,31 m; até o vértice P676, de coordenadas N 7727436,26 m e E 403134,52 m; deste, segue com os seguintes azimute plano e distância: 242°42'5,74" e 34,15 m; até o vértice P677, de coordenadas N 7727420,59 m e E 403104,17 m; deste, segue com os seguintes azimute plano e distância: 250°18'43,45" e 31,07 m; até o vértice P678, de coordenadas N 7727410,13 m e E 403074,92 m; deste, segue com os seguintes azimute plano e distância: 256°31'16,40" e 28,67 m; até o vértice P679, de coordenadas N 7727403,44 m e E 403047,03 m; deste, segue com os seguintes azimute plano e distância: 264°13'56,41" e 28,05 m; até o vértice P680, de coordenadas N 7727400,62 m e E 403019,13 m; deste, segue com os seguintes azimute plano e distância: 269°25'35,87" e 25,45 m; até o vértice P681, de coordenadas N 7727400,37 m e E 402993,68 m; deste, segue com os seguintes azimute plano e distância: 305°04'24,80" e 28,27 m; até o vértice P682, de coordenadas N 7727416,61 m e E 402970,55 m; deste, segue com os seguintes azimute plano e distância: 308°01'10,45" e 24,45 m; até o vértice P683, de coordenadas N 7727431,68 m e E 402951,28 m; deste, segue com os seguintes azimute plano e distância: 306°13'12,14" e 25,46 m; até o vértice P684, de coordenadas N 7727446,72 m e E 402930,74 m; deste, segue com os seguintes azimute plano e distância: 309°22'14,16" e 29,80 m; até o vértice P685, de coordenadas N 7727465,62 m e E 402907,70 m; deste, segue com os seguintes azimute plano e distância: 310°58'58,02" e 30,68 m; até o vértice P686, de coordenadas N 7727485,74 m e E 402884,55 m; deste, segue com os seguintes azimute plano e distância: 308°00'3,12" e 24,45 m; até o vértice P687, de coordenadas N 7727500,80 m e E 402865,28 m; deste, segue com os seguintes azimute plano e distância: 300°46'44,16" e 26,78 m; até o vértice P688, de coordenadas N 7727514,50 m e E 402842,27 m; deste, segue com os seguintes azimute plano e distância: 303°41'7,36" e 29,29 m; até o vértice P689, de coordenadas N 7727530,75 m e E 402817,90 m; deste, segue com os seguintes azimute plano e distância: 300°20'56,36" e 29,72 m; até o vértice P690, de coordenadas N 7727545,76 m e E 402792,25 m; deste, segue com os seguintes azimute plano e distância: 294°53'32,87" e 29,62 m; até o vértice P691, de coordenadas N 7727558,23 m e E 402765,39 m; deste, segue com os seguintes azimute plano e distância: 285°38'58,49" e 31,74 m; até o vértice P692, de coordenadas N 7727566,79 m e E 402734,82 m; neste, segue com os seguintes azimute plano e distância: 287°52'17,77" e 32,28 m; até o vértice P693, de coordenadas N 7727576,70 m e E 402704,10 m; este, segue com os seguintes azimute plano e distância: 301°32'41,06" e 28,50 m; até o vértice P694, de coordenadas N 7727591,61 m e E 402679,81 m; este, segue com os seguintes azimute plano e distância: 272°23'54,80" e 25,55 m; até o vértice P695, de coordenadas N 7727592,68 m e E 402654,28 m; este, segue com os seguintes azimute plano e distância: 269°15'40,14" e 30,55 m; até o vértice P696, de coordenadas N 7727592,28 m e E 402623,74 m; este, segue com os seguintes azimute plano e distância: 259°36'27,46" e 37,39 m; até o vértice P697, de coordenadas N 7727585,54 m e E 402586,96 m; este, segue com os seguintes azimute plano e distância: 264°15'9,35" e 28,16 m; até o vértice P698, de coordenadas N 7727582,72 m e E 402558,94 m; este, segue com os seguintes azimute plano e distância: 269°25'30,40" e 25,45 m; até o vértice P699, de coordenadas N 7727582,46 m e E 402533,49 m; este, segue com os seguintes azimute plano e distância: 287°45'6,85" e 32,10 m; até o vértice P700, de coordenadas N 7727592,25 m e E 402502,93 m; este, segue com os seguintes azimute plano e distância: 299°30'10,94" e 28,03 m; até o vértice P701, de coordenadas N 7727606,06 m e E

402478,53 m; deste, segue com os seguintes azimute plano e distância: 300°46'38,95" e 26,78 m; até o vértice P702, de coordenadas N 7727619,76 m e E 402455,52 m; deste, segue com os seguintes azimute plano e distância: 301°39'2,72" e 28,63 m; até o vértice P703, de coordenadas N 7727634,78 m e E 402431,15 m; deste, segue com os seguintes azimute plano e distância: 312°23'38,64" e 26,11 m; até o vértice P704, de coordenadas N 7727652,38 m e E 402411,87 m; deste, segue com os seguintes azimute plano e distância: 314°18'14,70" e 25,21 m; até o vértice P705, de coordenadas N 7727669,99 m e E 402393,83 m; deste, segue com os seguintes azimute plano e distância: 316°13'48,72" e 27,89 m; até o vértice P706, de coordenadas N 7727690,13 m e E 402374,53 m; deste, segue com os seguintes azimute plano e distância: 323°02'55,96" e 30,07 m; até o vértice P707, de coordenadas N 7727714,16 m e E 402356,46 m; deste, segue com os seguintes azimute plano e distância: 317°12'44,77" e 37,81 m; até o vértice P708, de coordenadas N 7727741,91 m e E 402330,78 m; deste, segue com os seguintes azimute plano e distância: 310°32'38,40" e 27,05 m; até o vértice P709, de coordenadas N 7727759,49 m e E 402310,22 m; deste, segue com os seguintes azimute plano e distância: 307°02'40,21" e 29,00 m; até o vértice P710, de coordenadas N 7727776,96 m e E 402287,08 m; deste, segue com os seguintes azimute plano e distância: 303°51'37,46" e 29,36 m; até o vértice P711, de coordenadas N 7727793,32 m e E 402262,70 m; deste, segue com os seguintes azimute plano e distância: 287°47'54,15" e 28,08 m; até o vértice P712, de coordenadas N 7727801,90 m e E 402235,96 m; deste, segue com os seguintes azimute plano e distância: 278°16'18,34" e 24,44 m; até o vértice P713, de coordenadas N 7727805,42 m e E 402211,77 m; deste, segue com os seguintes azimute plano e distância: 239°31'49,47" e 27,99 m; até o vértice P714, de coordenadas N 7727791,22 m e E 402187,65 m; deste, segue com os seguintes azimute plano e distância: 269°25'26,03" e 25,45 m; até o vértice P715, de coordenadas N 7727790,97 m e E 402162,20 m; deste, segue com os seguintes azimute plano e distância: 255°14'51,64" e 26,24 m; até o vértice P716, de coordenadas N 7727784,29 m e E 402136,83 m; deste, segue com os seguintes azimute plano e distância: 244°38'59,81" e 36,36 m; até o vértice P717, de coordenadas N 7727768,72 m e E 402103,97 m; deste, segue com os seguintes azimute plano e distância: 241°42'34,66" e 30,21 m; até o vértice P718, de coordenadas N 7727754,40 m e E 402077,37 m; deste, segue com os seguintes azimute plano e distância: 233°00'55,02" e 30,03 m; até o vértice P719, de coordenadas N 7727736,33 m e E 402053,38 m; deste, segue com os seguintes azimute plano e distância: 222°25'55,44" e 26,09 m; até o vértice P720, de coordenadas N 7727717,07 m e E 402035,77 m; deste, segue com os seguintes azimute plano e distância: 226°18'54,31" e 26,12 m; até o vértice P721, de coordenadas N 7727699,03 m e E 402016,89 m; deste, segue com os seguintes azimute plano e distância: 216°31'54,52" e 36,00 m; até o vértice P722, de coordenadas N 7727670,11 m e E 401995,46 m; deste, segue com os seguintes azimute plano e distância: 262°55'35,77" e 1,47 m; até o vértice P723, de coordenadas N 7727669,93 m e E 401994,00 m; deste, segue com os seguintes azimute plano e distância: 195°42'16,37" e 2,99 m; até o vértice P724, de coordenadas N 7727667,05 m e E 401993,19 m; deste, segue com os seguintes azimute plano e distância: 216°31'54,52" e 0,17 m; até o vértice P725, de coordenadas N 7727666,91 m e E 401993,09 m; deste, segue com os seguintes azimute plano e distância: 228°05'27,70" e 28,85 m; até o vértice P726, de coordenadas N 7727647,64 m e E 401971,62 m; deste, segue com os seguintes azimute plano e distância: 228°28'27,03" e 50,57 m; até o vértice P727, de coordenadas N 7727614,11 m e E 401933,76 m; deste, segue com os seguintes azimute plano e distância: 213°44'10,41" e 24,72 m; até o vértice P728, de coordenadas N 7727593,55 m e E 401920,03 m; deste, segue com os seguintes azimute plano e distância: 209°07'16,39" e 30,76 m; até o vértice P729, de coordenadas N 7727566,68 m e E 401905,06 m; deste, segue com os seguintes azimute plano e distância: 222°39'57,50" e 29,66 m; até o vértice P730, de coordenadas N 7727544,87 m e E 401884,95 m; deste, segue com os seguintes azimute plano e distância: 216°15'51,98" e 25,50 m; até o vértice P731, de coordenadas N 7727524,31 m e E 401869,87 m; deste, segue com os seguintes azimute plano e distância: 210°53'22,01" e 26,79 m; até o vértice P732, de coordenadas N 7727501,32 m e E 401856,12 m; deste, segue com os seguintes azimute plano e distância: 208°22'57,23" e 26,25 m; até o vértice P733, de coordenadas N 7727478,23 m e E 401843,64 m; deste, segue com os seguintes azimute plano e distância: 202°02'54,92" e 26,22 m; até o vértice P734, de coordenadas N 7727453,92 m e E 401833,80 m; deste, segue com os seguintes azimute plano e distância: 195°23'24,95" e 27,70 m; até o vértice P735, de coordenadas N 7727427,21 m e E 401826,44 m; deste, segue com os seguintes azimute plano e distância: 191°31'35,66" e 13,51 m; até o vértice P736, de coordenadas N 7727413,98 m e E 401823,74 m; deste, segue com os seguintes azimute plano e distância: 225°49'18,46" e 1,62 m; até o vértice P737, de coordenadas N 7727412,85 m e E 401822,58 m; deste, segue com os seguintes azimute plano e distância: 186°52'54,51" e 11,26 m; até o vértice P738, de coordenadas N 7727401,66 m e E 401821,23 m; deste, segue com os seguintes azimute plano e distância: 191°31'35,66" e 10,45 m; até o vértice P739, de coordenadas N 7727391,42 m e E 401819,15 m; deste, segue com os seguintes azimute plano e distância: 189°37'40,21" e 28,43 m; até o vértice P740, de coordenadas N 7727363,39 m e E 401814,39 m; deste, segue com os seguintes azimute plano e distância: 190°23'27,50" e 33,69 m; até o vértice P741, de coordenadas N 7727330,26 m e E 401808,31 m; deste, segue com os seguintes azimute plano e distância: 186°11'4,33" e 32,08 m; até o vértice P742, de coordenadas N 7727298,36 m e E 401804,86 m; deste, segue com os seguintes azimute plano e distância: 195°23'24,01" e 27,70 m; até o vértice P743, de coordenadas N 7727271,65 m e E 401797,51 m; deste, segue com os seguintes azimute plano e distância: 207°56'33,08" e 31,93 m; até o vértice P744, de coordenadas N 7727243,44 m e E 401782,54 m; deste, segue com os seguintes azimute plano e distância: 192°36'36,14" e 27,48 m; até o vértice P745, de coordenadas N 7727216,62 m e E 401776,54 m; deste, segue com os seguintes azimute plano e distância: 186°08'22,49" e 33,30 m; até o vértice P746, de coordenadas N 7727183,51 m e E 401772,98 m; deste, segue com os seguintes azimute plano e distância: 187°24'31,00" e 27,03 m; até o vértice P747, de coordenadas N 7727156,70 m e E 401769,50 m; deste, segue com os seguintes azimute plano e distância: 184°22'7,98" e 29,31 m; até o vértice P748, de coordenadas N 7727127,47 m e E 401767,26 m; deste, segue com os seguintes azimute plano e distância: 185°03'29,65" e 25,57 m; até o vértice P749, de coordenadas N 7727102,00 m e E

401765,01 m; deste, segue com os seguintes azimute plano e distância: **182°19'44,09"** e **24,26 m**; até o vértice P750, de coordenadas N 7727077,76 m e E 401764,02 m; deste, segue com os seguintes azimute plano e distância: **182°17'10,98"** e **25,48 m**; até o vértice P751, de coordenadas N 7727052,30 m e E 401763,01 m; deste, segue com os seguintes azimute plano e distância: **173°48'19,55"** e **26,82 m**; até o vértice P752, de coordenadas N 7727025,64 m e E 401765,90 m; deste, segue com os seguintes azimute plano e distância: **176°27'50,18"** e **24,16 m**; até o vértice P753, de coordenadas N 7727001,52 m e E 401767,39 m; deste, segue com os seguintes azimute plano e distância: **181°56'24,59"** e **29,36 m**; até o vértice P754, de coordenadas N 7726972,18 m e E 401766,40 m; deste, segue com os seguintes azimute plano e distância: **179°09'43,95"** e **25,45 m**; até o vértice P755, de coordenadas N 7726946,73 m e E 401766,77 m; deste, segue com os seguintes azimute plano e distância: **185°18'33,00"** e **25,58 m**; até o vértice P756, de coordenadas N 7726921,26 m e E 401764,40 m; deste, segue com os seguintes azimute plano e distância: **185°56'48,64"** e **33,29 m**; até o vértice P757, de coordenadas N 7726888,15 m e E 401760,95 m; deste, segue com os seguintes azimute plano e distância: **190°35'52,34"** e **25,93 m**; até o vértice P758, de coordenadas N 7726862,66 m e E 401756,18 m; deste, segue com os seguintes azimute plano e distância: **199°44'36,87"** e **25,80 m**; até o vértice P759, de coordenadas N 7726838,37 m e E 401747,47 m; deste, segue com os seguintes azimute plano e distância: **195°05'56,70"** e **27,79 m**; até o vértice P760, de coordenadas N 7726811,54 m e E 401740,23 m; deste, segue com os seguintes azimute plano e distância: **202°40'16,78"** e **29,10 m**; até o vértice P761, de coordenadas N 7726784,69 m e E 401729,01 m; deste, segue com os seguintes azimute plano e distância: **202°16'57,84"** e **26,25 m**; até o vértice P762, de coordenadas N 7726760,40 m e E 401719,06 m; deste, segue com os seguintes azimute plano e distância: **195°14'2,67"** e **4,56 m**; até o vértice P763, de coordenadas N 7726756,00 m e E 401717,86 m; deste, segue com os seguintes azimute plano e distância: **227°20'43,27"** e **0,40 m**; até o vértice P764, de coordenadas N 7726755,73 m e E 401717,56 m; deste, segue com os seguintes azimute plano e distância: **175°07'4,09"** e **0,63 m**; até o vértice P765, de coordenadas N 7726755,10 m e E 401717,61 m; deste, segue com os seguintes azimute plano e distância: **195°14'2,67"** e **22,20 m**; até o vértice P766, de coordenadas N 7726733,68 m e E 401711,78 m; deste, segue com os seguintes azimute plano e distância: **193°25'27,45"** e **31,57 m**; até o vértice P767, de coordenadas N 7726702,98 m e E 401704,45 m; deste, segue com os seguintes azimute plano e distância: **186°27'57,50"** e **30,76 m**; até o vértice P768, de coordenadas N 7726672,41 m e E 401700,99 m; deste, segue com os seguintes azimute plano e distância: **184°48'49,11"** e **26,78 m**; até o vértice P769, de coordenadas N 7726645,72 m e E 401698,74 m; deste, segue com os seguintes azimute plano e distância: **182°04'32,33"** e **26,81 m**; até o vértice P770, de coordenadas N 7726618,93 m e E 401697,77 m; deste, segue com os seguintes azimute plano e distância: **172°17'35,78"** e **30,70 m**; até o vértice P771, de coordenadas N 7726588,51 m e E 401701,89 m; deste, segue com os seguintes azimute plano e distância: **170°47'7,40"** e **25,76 m**; até o vértice P772, de coordenadas N 7726563,09 m e E 401706,01 m; deste, segue com os seguintes azimute plano e distância: **165°32'5,03"** e **31,50 m**; até o vértice P773, de coordenadas N 7726532,58 m e E 401713,88 m; deste, segue com os seguintes azimute plano e distância: **176°11'50,34"** e **24,17 m**; até o vértice P774, de coordenadas N 7726508,46 m e E 401715,48 m; deste, segue com os seguintes azimute plano e distância: **190°13'27,16"** e **27,25 m**; até o vértice P775, de coordenadas N 7726481,65 m e E 401710,65 m; deste, segue com os seguintes azimute plano e distância: **179°21'40,64"** e **41,95 m**; até o vértice P776, de coordenadas N 7726439,70 m e E 401711,11 m; deste, segue com os seguintes azimute plano e distância: **177°06'26,18"** e **31,91 m**; até o vértice P777, de coordenadas N 7726407,84 m e E 401712,73 m; deste, segue com os seguintes azimute plano e distância: **169°32'44,81"** e **29,68 m**; até o vértice P778, de coordenadas N 7726378,65 m e E 401718,11 m; deste, segue com os seguintes azimute plano e distância: **170°08'45,43"** e **32,21 m**; até o vértice P779, de coordenadas N 7726346,92 m e E 401723,62 m; deste, segue com os seguintes azimute plano e distância: **169°32'57,20"** e **29,69 m**; até o vértice P780, de coordenadas N 7726317,72 m e E 401729,01 m; deste, segue com os seguintes azimute plano e distância: **164°41'26,49"** e **24,97 m**; até o vértice P781, de coordenadas N 7726293,63 m e E 401735,60 m; deste, segue com os seguintes azimute plano e distância: **172°15'1,57"** e **30,81 m**; até o vértice P782, de coordenadas N 7726263,11 m e E 401739,76 m; deste, segue com os seguintes azimute plano e distância: **177°13'33,84"** e **34,34 m**; até o vértice P783, de coordenadas N 7726228,81 m e E 401741,42 m; deste, segue com os seguintes azimute plano e distância: **182°25'1,48"** e **24,26 m**; até o vértice P784, de coordenadas N 7726204,57 m e E 401740,39 m; deste, segue com os seguintes azimute plano e distância: **195°38'24,82"** e **31,78 m**; até o vértice P785, de coordenadas N 7726173,96 m e E 401731,83 m; deste, segue com os seguintes azimute plano e distância: **200°32'55,34"** e **24,64 m**; até o vértice P786, de coordenadas N 7726150,89 m e E 401723,18 m; deste, segue com os seguintes azimute plano e distância: **202°16'54,63"** e **26,25 m**; até o vértice P787, de coordenadas N 7726126,60 m e E 401713,22 m; deste, segue com os seguintes azimute plano e distância: **206°03'50,79"** e **25,58 m**; até o vértice P788, de coordenadas N 7726103,62 m e E 401701,99 m; deste, segue com os seguintes azimute plano e distância: **198°27'9,10"** e **34,96 m**; até o vértice P789, de coordenadas N 7726070,46 m e E 401690,92 m; deste, segue com os seguintes azimute plano e distância: **202°19'28,01"** e **45,69 m**; até o vértice P790, de coordenadas N 7726028,19 m e E 401673,56 m; deste, segue com os seguintes azimute plano e distância: **190°35'48,82"** e **25,93 m**; até o vértice P791, de coordenadas N 7726002,70 m e E 401668,80 m; deste, segue com os seguintes azimute plano e distância: **216°53'31,45"** e **27,23 m**; até o vértice P792, de coordenadas N 7725980,92 m e E 401652,45 m; deste, segue com os seguintes azimute plano e distância: **227°24'14,33"** e **34,23 m**; até o vértice P793, de coordenadas N 7725957,76 m e E 401627,25 m; deste, segue com os seguintes azimute plano e distância: **233°26'32,36"** e **28,28 m**; até o vértice P794, de coordenadas N 7725940,91 m e E 401604,53 m; deste, segue com os seguintes azimute plano e distância: **242°53'19,03"** e **25,56 m**; até o vértice P795, de coordenadas N 7725929,26 m e E 401581,78 m; deste, segue com os seguintes azimute plano e distância: **266°51'58,77"** e **29,34 m**; até o vértice P796, de coordenadas N 7725927,66 m e E 401552,48 m; deste, segue com os seguintes azimute plano e distância: **272°17'15,92"** e **24,19 m**; até o vértice P797, de coordenadas N 7725928,62 m e

E 401528,31 m; deste, segue com os seguintes azimute plano e distância: **280°44'38,36"** e **25,93 m**; até o vértice P798, de coordenadas N 7725933,46 m e E 401502,84 m; deste, segue com os seguintes azimute plano e distância: **292°38'29,61"** e **38,84 m**; até o vértice P799, de coordenadas N 7725948,41 m e E 401466,99 m; deste, segue com os seguintes azimute plano e distância: **301°06'58,45"** e **31,41 m**; até o vértice P800, de coordenadas N 7725964,64 m e E 401440,10 m; deste, segue com os seguintes azimute plano e distância: **299°26'30,79"** e **27,84 m**; até o vértice P801, de coordenadas N 7725978,33 m e E 401415,85 m; deste, segue com os seguintes azimute plano e distância: **305°16'2,29"** e **28,34 m**; até o vértice P802, de coordenadas N 7725994,69 m e E 401392,71 m; deste, segue com os seguintes azimute plano e distância: **318°08'3,14"** e **27,05 m**; até o vértice P803, de coordenadas N 7726014,84 m e E 401374,66 m; deste, segue com os seguintes azimute plano e distância: **331°30'2,40"** e **24,49 m**; até o vértice P804, de coordenadas N 7726036,35 m e E 401362,98 m; deste, segue com os seguintes azimute plano e distância: **316°12'12,66"** e **26,08 m**; até o vértice P805, de coordenadas N 7726055,18 m e E 401344,93 m; deste, segue com os seguintes azimute plano e distância: **320°29'58,13"** e **26,26 m**; até o vértice P806, de coordenadas N 7726075,44 m e E 401328,22 m; deste, segue com os seguintes azimute plano e distância: **318°18'29,00"** e **25,22 m**; até o vértice P807, de coordenadas N 7726094,27 m e E 401311,45 m; deste, segue com os seguintes azimute plano e distância: **310°33'32,55"** e **27,06 m**; até o vértice P808, de coordenadas N 7726111,86 m e E 401290,90 m; deste, segue com os seguintes azimute plano e distância: **294°53'20,63"** e **29,62 m**; até o vértice P809, de coordenadas N 7726124,33 m e E 401264,03 m; deste, segue com os seguintes azimute plano e distância: **274°24'50,13"** e **29,37 m**; até o vértice P810, de coordenadas N 7726126,59 m e E 401234,75 m; deste, segue com os seguintes azimute plano e distância: **266°51'54,79"** e **29,34 m**; até o vértice P811, de coordenadas N 7726124,98 m e E 401205,45 m; deste, segue com os seguintes azimute plano e distância: **252°39'20,89"** e **26,49 m**; até o vértice P812, de coordenadas N 7726117,09 m e E 401180,16 m; deste, segue com os seguintes azimute plano e distância: **237°11'39,54"** e **28,65 m**; até o vértice P813, de coordenadas N 7726101,56 m e E 401156,08 m; deste, segue com os seguintes azimute plano e distância: **224°15'10,80"** e **27,05 m**; até o vértice P814, de coordenadas N 7726082,19 m e E 401137,21 m; deste, segue com os seguintes azimute plano e distância: **213°41'25,95"** e **29,24 m**; até o vértice P815, de coordenadas N 7726057,86 m e E 401120,99 m; deste, segue com os seguintes azimute plano e distância: **205°58'50,52"** e **31,24 m**; até o vértice P816, de coordenadas N 7726029,78 m e E 401107,30 m; deste, segue com os seguintes azimute plano e distância: **181°50'50,68"** e **30,57 m**; até o vértice P817, de coordenadas N 7725999,22 m e E 401106,32 m; deste, segue com os seguintes azimute plano e distância: **195°19'10,49"** e **27,82 m**; até o vértice P818, de coordenadas N 7725972,39 m e E 401098,97 m; deste, segue com os seguintes azimute plano e distância: **200°59'55,53"** e **27,44 m**; até o vértice P819, de coordenadas N 7725946,77 m e E 401089,13 m; deste, segue com os seguintes azimute plano e distância: **199°17'55,18"** e **33,84 m**; até o vértice P820, de coordenadas N 7725914,83 m e E 401077,95 m; deste, segue com os seguintes azimute plano e distância: **198°35'23,31"** e **30,90 m**; até o vértice P821, de coordenadas N 7725885,55 m e E 401068,10 m; deste, segue com os seguintes azimute plano e distância: **201°04'17,36"** e **27,45 m**; até o vértice P822, de coordenadas N 7725859,93 m e E 401058,23 m; deste, segue com os seguintes azimute plano e distância: **209°23'53,78"** e **27,92 m**; até o vértice P823, de coordenadas N 7725835,60 m e E 401044,52 m; deste, segue com os seguintes azimute plano e distância: **216°28'24,93"** e **25,43 m**; até o vértice P824, de coordenadas N 7725815,15 m e E 401029,41 m; deste, segue com os seguintes azimute plano e distância: **217°57'2,78"** e **24,53 m**; até o vértice P825, de coordenadas N 7725795,81 m e E 401014,32 m; deste, segue com os seguintes azimute plano e distância: **213°05'40,60"** e **27,45 m**; até o vértice P826, de coordenadas N 7725772,81 m e E 400999,33 m; deste, segue com os seguintes azimute plano e distância: **227°23'20,62"** e **34,23 m**; até o vértice P827, de coordenadas N 7725749,64 m e E 400974,13 m; deste, segue com os seguintes azimute plano e distância: **234°11'8,15"** e **26,50 m**; até o vértice P828, de coordenadas N 7725734,13 m e E 400952,65 m; deste, segue com os seguintes azimute plano e distância: **232°02'21,89"** e **33,55 m**; até o vértice P829, de coordenadas N 7725713,49 m e E 400926,20 m; deste, segue com os seguintes azimute plano e distância: **234°48'41,20"** e **24,79 m**; até o vértice P830, de coordenadas N 7725699,21 m e E 400905,94 m; deste, segue com os seguintes azimute plano e distância: **229°18'43,37"** e **31,61 m**; até o vértice P831, de coordenadas N 7725678,60 m e E 400881,97 m; deste, segue com os seguintes azimute plano e distância: **220°55'0,68"** e **12,68 m**; até o vértice P832, de coordenadas N 7725669,02 m e E 400873,67 m; deste, segue com os seguintes azimute plano e distância: **260°06'17,37"** e **0,54 m**; até o vértice P833, de coordenadas N 7725668,93 m e E 400873,14 m; deste, segue com os seguintes azimute plano e distância: **226°24'6,86"** e **39,76 m**; até o vértice P834, de coordenadas N 7725641,51 m e E 400844,34 m; deste, segue com os seguintes azimute plano e distância: **231°32'56,08"** e **6,61 m**; até o vértice P835, de coordenadas N 7725637,40 m e E 400839,17 m; deste, segue com os seguintes azimute plano e distância: **226°15'2,15"** e **26,09 m**; até o vértice P836, de coordenadas N 7725619,36 m e E 400820,32 m; deste, segue com os seguintes azimute plano e distância: **231°10'38,01"** e **30,78 m**; até o vértice P837, de coordenadas N 7725600,06 m e E 400796,34 m; deste, segue com os seguintes azimute plano e distância: **222°48'44,56"** e **31,55 m**; até o vértice P838, de coordenadas N 7725576,92 m e E 400774,90 m; deste, segue com os seguintes azimute plano e distância: **219°10'57,36"** e **8,84 m**; até o vértice P839, de coordenadas N 7725570,07 m e E 400769,31 m; deste, segue com os seguintes azimute plano e distância: **226°24'6,86"** e **0,21 m**; até o vértice P840, de coordenadas N 7725569,92 m e E 400769,16 m; deste, segue com os seguintes azimute plano e distância: **206°43'53,13"** e **0,12 m**; até o vértice P841, de coordenadas N 7725569,81 m e E 400769,10 m; deste, segue com os seguintes azimute plano e distância: **219°10'57,36"** e **20,67 m**; até o vértice P842, de coordenadas N 7725553,79 m e E 400756,05 m; deste, segue com os seguintes azimute plano e distância: **211°13'55,45"** e **35,99 m**; até o vértice P843, de coordenadas N 7725523,02 m e E 400737,39 m; deste, segue com os seguintes azimute plano e distância: **212°17'43,43"** e **25,75 m**; até o vértice P844, de coordenadas N 7725501,25 m e E 400723,63 m; deste, segue com os seguintes azimute plano e distância: **206°03'35,38"** e **25,58 m**; até o vértice P845, de coordenadas N 7725478,27 m e

E 400712,39 m; deste, segue com os seguintes azimute plano e distância: 197°00'2,79" e 29,34 m; até o vértice P846, de coordenadas N 7725450,21 m e E 400703,81 m; deste, segue com os seguintes azimute plano e distância: 199°44'17,69" e 25,80 m; até o vértice P847, de coordenadas N 7725425,92 m e E 400695,10 m; deste, segue com os seguintes azimute plano e distância: 188°25'55,99" e 32,25 m; até o vértice P848, de coordenadas N 7725394,02 m e E 400690,37 m; deste, segue com os seguintes azimute plano e distância: 186°56'46,55" e 38,49 m; até o vértice P849, de coordenadas N 7725355,81 m e E 400685,71 m; deste, segue com os seguintes azimute plano e distância: 186°10'46,84" e 32,08 m; até o vértice P850, de coordenadas N 7725323,91 m e E 400682,26 m; deste, segue com os seguintes azimute plano e distância: 187°53'2,19" e 25,73 m; até o vértice P851, de coordenadas N 7725298,43 m e E 400678,73 m; deste, segue com os seguintes azimute plano e distância: 188°35'38,40" e 32,16 m; até o vértice P852, de coordenadas N 7725266,64 m e E 400673,93 m; deste, segue com os seguintes azimute plano e distância: 196°52'16,58" e 25,37 m; até o vértice P853, de coordenadas N 7725242,36 m e E 400666,56 m; deste, segue com os seguintes azimute plano e distância: 207°09'1,78" e 27,32 m; até o vértice P854, de coordenadas N 7725218,05 m e E 400654,10 m; deste, segue com os seguintes azimute plano e distância: 200°27'44,13" e 24,62 m; até o vértice P855, de coordenadas N 7725194,98 m e E 400645,49 m; deste, segue com os seguintes azimute plano e distância: 197°49'18,63" e 32,15 m; até o vértice P856, de coordenadas N 7725164,37 m e E 400635,65 m; deste, segue com os seguintes azimute plano e distância: 194°40'8,69" e 28,99 m; até o vértice P857, de coordenadas N 7725136,32 m e E 400628,31 m; deste, segue com os seguintes azimute plano e distância: 185°29'46,20" e 35,83 m; até o vértice P858, de coordenadas N 7725100,66 m e E 400624,87 m; deste, segue com os seguintes azimute plano e distância: 190°24'12,24" e 53,17 m; até o vértice P859, de coordenadas N 7725048,37 m e E 400615,27 m; deste, segue com os seguintes azimute plano e distância: 191°40'4,94" e 71,63 m; até o vértice P860, de coordenadas N 7724978,21 m e E 400600,79 m; deste, segue com os seguintes azimute plano e distância: 190°17'48,56" e 27,25 m; até o vértice P861, de coordenadas N 7724951,40 m e E 400595,92 m; deste, segue com os seguintes azimute plano e distância: 190°56'17,96" e 50,67 m; até o vértice P862, de coordenadas N 7724901,65 m e E 400586,30 m; deste, segue com os seguintes azimute plano e distância: 191°19'35,10" e 49,38 m; até o vértice P863, de coordenadas N 7724853,23 m e E 400576,60 m; deste, segue com os seguintes azimute plano e distância: 190°39'41,91" e 45,44 m; até o vértice P864, de coordenadas N 7724808,57 m e E 400568,19 m; deste, segue com os seguintes azimute plano e distância: 182°59'23,67" e 39,46 m; até o vértice P865, de coordenadas N 7724769,16 m e E 400566,14 m; deste, segue com os seguintes azimute plano e distância: 181°32'15,37" e 34,44 m; até o vértice P866, de coordenadas N 7724734,73 m e E 400565,21 m; deste, segue com os seguintes azimute plano e distância: 183°59'16,92" e 31,86 m; até o vértice P867, de coordenadas N 7724702,95 m e E 400563,00 m; deste, segue com os seguintes azimute plano e distância: 184°47'16,65" e 26,89 m; até o vértice P868, de coordenadas N 7724676,15 m e E 400560,75 m; deste, segue com os seguintes azimute plano e distância: 183°39'43,27" e 68,90 m; até o vértice P869, de coordenadas N 7724607,39 m e E 400556,35 m; deste, segue com os seguintes azimute plano e distância: 185°03'18,16" e 25,56 m; até o vértice P870, de coordenadas N 7724581,92 m e E 400554,10 m; deste, segue com os seguintes azimute plano e distância: 179°24'10,08" e 90,32 m; até o vértice P871, de coordenadas N 7724491,61 m e E 400555,04 m; deste, segue com os seguintes azimute plano e distância: 177°07'56,85" e 33,12 m; até o vértice P872, de coordenadas N 7724458,53 m e E 400556,70 m; deste, segue com os seguintes azimute plano e distância: 179°21'50,72" e 57,23 m; até o vértice P873, de coordenadas N 7724401,30 m e E 400557,33 m; deste, segue com os seguintes azimute plano e distância: 184°58'16,35" e 25,56 m; até o vértice P874, de coordenadas N 7724375,84 m e E 400555,12 m; deste, segue com os seguintes azimute plano e distância: 184°47'16,01" e 26,89 m; até o vértice P875, de coordenadas N 7724349,04 m e E 400552,87 m; deste, segue com os seguintes azimute plano e distância: 196°05'15,04" e 26,54 m; até o vértice P876, de coordenadas N 7724323,53 m e E 400545,52 m; deste, segue com os seguintes azimute plano e distância: 196°52'11,19" e 25,37 m; até o vértice P877, de coordenadas N 7724299,25 m e E 400538,15 m; deste, segue com os seguintes azimute plano e distância: 194°09'40,91" e 25,03 m; até o vértice P878, de coordenadas N 7724274,98 m e E 400532,03 m; deste, segue com os seguintes azimute plano e distância: 188°41'59,53" e 39,90 m; até o vértice P879, de coordenadas N 7724235,54 m e E 400525,99 m; deste, segue com os seguintes azimute plano e distância: 185°55'14,50" e 33,40 m; até o vértice P880, de coordenadas N 7724202,32 m e E 400522,55 m; deste, segue com os seguintes azimute plano e distância: 182°11'45,61" e 25,49 m; até o vértice P881, de coordenadas N 7724176,85 m e E 400521,57 m; deste, segue com os seguintes azimute plano e distância: 188°19'50,22" e 24,40 m; até o vértice P882, de coordenadas N 7724152,70 m e E 400518,04 m; deste, segue com os seguintes azimute plano e distância: 192°26'31,33" e 33,93 m; até o vértice P883, de coordenadas N 7724119,57 m e E 400510,73 m; deste, segue com os seguintes azimute plano e distância: 194°46'27,12" e 38,29 m; até o vértice P884, de coordenadas N 7724082,54 m e E 400500,96 m; deste, segue com os seguintes azimute plano e distância: 196°27'3,87" e 34,69 m; até o vértice P885, de coordenadas N 7724049,28 m e E 400491,14 m; deste, segue com os seguintes azimute plano e distância: 196°19'25,31" e 30,50 m; até o vértice P886, de coordenadas N 7724020,01 m e E 400482,57 m; deste, segue com os seguintes azimute plano e distância: 199°16'48,37" e 29,84 m; até o vértice P887, de coordenadas N 7723991,84 m e E 400472,71 m; deste, segue com os seguintes azimute plano e distância: 206°46'3,89" e 44,39 m; até o vértice P888, de coordenadas N 7723952,21 m e E 400452,72 m; deste, segue com os seguintes azimute plano e distância: 216°40'57,17" e 27,17 m; até o vértice P889, de coordenadas N 7723930,41 m e E 400436,49 m; deste, segue com os seguintes azimute plano e distância: 209°24'11,38" e 27,91 m; até o vértice P890, de coordenadas N 7723906,10 m e E 400422,78 m; deste, segue com os seguintes azimute plano e distância: 196°01'11,95" e 26,65 m; até o vértice P891, de coordenadas N 7723880,48 m e E 400415,43 m; deste, segue com os seguintes azimute plano e distância: 193°27'57,91" e 47,18 m; até o vértice P892, de coordenadas N 7723834,60 m e E 400404,44 m; deste, segue com os seguintes azimute plano e distância: 195°53'38,56" e 35,84 m; até o vértice P893, de coordenadas N 7723800,12 m e

E 400394,63 m; deste, segue com os seguintes azimute plano e distância: **193°29'24,68"** e **26,22 m**; até o vértice **P894**, de coordenadas **N 7723774,62 m e E 400388,51 m**; deste, segue com os seguintes azimute plano e distância: **191°17'57,05"** e **24,74 m**; até o vértice **P895**, de coordenadas **N 7723750,36 m e E 400383,66 m**; deste, segue com os seguintes azimute plano e distância: **190°11'53,51"** e **33,66 m**; até o vértice **P896**, de coordenadas **N 7723717,23 m e E 400377,70 m**; deste, segue com os seguintes azimute plano e distância: **186°44'10,58"** e **29,56 m**; até o vértice **P897**, de coordenadas **N 7723687,88 m e E 400374,23 m**; deste, segue com os seguintes azimute plano e distância: **185°18'18,19"** e **25,57 m**; até o vértice **P898**, de coordenadas **N 7723662,41 m e E 400371,87 m**; deste, segue com os seguintes azimute plano e distância: **192°39'12,18"** e **27,38 m**; até o vértice **P899**, de coordenadas **N 7723635,70 m e E 400365,87 m**; deste, segue com os seguintes azimute plano e distância: **193°21'12,99"** e **26,32 m**; até o vértice **P900**, de coordenadas **N 7723610,09 m e E 400359,79 m**; deste, segue com os seguintes azimute plano e distância: **189°50'36,24"** e **28,45 m**; até o vértice **P901**, de coordenadas **N 7723582,06 m e E 400354,93 m**; deste, segue com os seguintes azimute plano e distância: **193°48'38,78"** e **30,24 m**; até o vértice **P902**, de coordenadas **N 7723552,69 m e E 400347,71 m**; deste, segue com os seguintes azimute plano e distância: **193°27'50,81"** e **31,46 m**; até o vértice **P903**, de coordenadas **N 7723522,10 m e E 400340,39 m**; deste, segue com os seguintes azimute plano e distância: **194°39'59,08"** e **28,99 m**; até o vértice **P904**, de coordenadas **N 7723494,05 m e E 400333,05 m**; deste, segue com os seguintes azimute plano e distância: **193°29'22,88"** e **26,22 m**; até o vértice **P905**, de coordenadas **N 7723468,56 m e E 400326,93 m**; deste, segue com os seguintes azimute plano e distância: **182°41'29,22"** e **43,33 m**; até o vértice **P906**, de coordenadas **N 7723425,27 m e E 400324,89 m**; deste, segue com os seguintes azimute plano e distância: **195°33'48,32"** e **41,09 m**; até o vértice **P907**, de coordenadas **N 7723385,69 m e E 400313,87 m**; deste, segue com os seguintes azimute plano e distância: **206°00'57,67"** e **39,90 m**; até o vértice **P908**, de coordenadas **N 7723349,84 m e E 400296,37 m**; deste, segue com os seguintes azimute plano e distância: **212°57'44,59"** e **27,54 m**; até o vértice **P909**, de coordenadas **N 7723326,73 m e E 400281,38 m**; deste, segue com os seguintes azimute plano e distância: **206°00'53,20"** e **28,40 m**; até o vértice **P910**, de coordenadas **N 7723301,20 m e E 400268,93 m**; deste, segue com os seguintes azimute plano e distância: **214°56'19,19"** e **32,81 m**; até o vértice **P911**, de coordenadas **N 7723274,30 m e E 400250,14 m**; deste, segue com os seguintes azimute plano e distância: **213°36'46,16"** e **29,36 m**; até o vértice **P912**, de coordenadas **N 7723249,85 m e E 400233,88 m**; deste, segue com os seguintes azimute plano e distância: **220°28'40,38"** e **38,75 m**; até o vértice **P913**, de coordenadas **N 7723220,38 m e E 400208,73 m**; deste, segue com os seguintes azimute plano e distância: **233°25'57,50"** e **28,28 m**; até o vértice **P914**, de coordenadas **N 7723203,53 m e E 400186,02 m**; deste, segue com os seguintes azimute plano e distância: **230°57'45,52"** e **24,42 m**; até o vértice **P915**, de coordenadas **N 7723188,15 m e E 400167,05 m**; deste, segue com os seguintes azimute plano e distância: **228°18'7,28"** e **25,30 m**; até o vértice **P916**, de coordenadas **N 7723171,32 m e E 400148,16 m**; deste, segue com os seguintes azimute plano e distância: **222°24'35,99"** e **24,27 m**; até o vértice **P917**, de coordenadas **N 7723153,40 m e E 400131,79 m**; deste, segue com os seguintes azimute plano e distância: **224°18'30,13"** e **25,20 m**; até o vértice **P918**, de coordenadas **N 7723135,37 m e E 400114,19 m**; deste, segue com os seguintes azimute plano e distância: **238°54'13,17"** e **25,11 m**; até o vértice **P919**, de coordenadas **N 7723122,40 m e E 400092,69 m**; deste, segue com os seguintes azimute plano e distância: **243°55'13,33"** e **26,74 m**; até o vértice **P920**, de coordenadas **N 7723110,65 m e E 400068,67 m**; deste, segue com os seguintes azimute plano e distância: **244°57'42,77"** e **30,73 m**; até o vértice **P921**, de coordenadas **N 7723097,64 m e E 400040,83 m**; deste, segue com os seguintes azimute plano e distância: **249°18'23,49"** e **25,77 m**; até o vértice **P922**, de coordenadas **N 7723088,54 m e E 400016,72 m**; deste, segue com os seguintes azimute plano e distância: **246°30'40,54"** e **26,20 m**; até o vértice **P923**, de coordenadas **N 7723078,09 m e E 399992,69 m**; deste, segue com os seguintes azimute plano e distância: **254°38'54,91"** e **30,34 m**; até o vértice **P924**, de coordenadas **N 7723070,06 m e E 399963,44 m**; deste, segue com os seguintes azimute plano e distância: **261°32'20,59"** e **28,20 m**; até o vértice **P925**, de coordenadas **N 7723065,91 m e E 399935,55 m**; deste, segue com os seguintes azimute plano e distância: **257°48'0,40"** e **31,21 m**; até o vértice **P926**, de coordenadas **N 7723059,32 m e E 399905,04 m**; deste, segue com os seguintes azimute plano e distância: **258°28'47,20"** e **33,70 m**; até o vértice **P927**, de coordenadas **N 7723052,59 m e E 399872,03 m**; deste, segue com os seguintes azimute plano e distância: **269°22'17,71"** e **86,49 m**; até o vértice **P928**, de coordenadas **N 7723051,64 m e E 399785,54 m**; deste, segue com os seguintes azimute plano e distância: **271°30'8,69"** e **34,42 m**; até o vértice **P929**, de coordenadas **N 7723052,54 m e E 399751,13 m**; este, segue com os seguintes azimute plano e distância: **277°50'22,47"** e **25,70 m**; até o vértice **P930**, de coordenadas **N 7723056,05 m e E 399725,67 m**; este, segue com os seguintes azimute plano e distância: **276°28'37,83"** e **30,72 m**; até o vértice **P931**, de coordenadas **N 7723059,51 m e E 399695,15 m**; este, segue com os seguintes azimute plano e distância: **278°02'40,10"** e **25,83 m**; até o vértice **P932**, de coordenadas **N 7723063,13 m e E 399669,57 m**; este, segue com os seguintes azimute plano e distância: **286°59'30,43"** e **29,36 m**; até o vértice **P933**, de coordenadas **N 7723071,71 m e E 399641,50 m**; este, segue com os seguintes azimute plano e distância: **290°32'36,20"** e **24,54 m**; até o vértice **P934**, de coordenadas **N 7723080,32 m e E 399618,52 m**; este, segue com os seguintes azimute plano e distância: **287°57'10,88"** e **28,22 m**; até o vértice **P935**, de coordenadas **N 7723089,02 m e E 399591,68 m**; este, segue com os seguintes azimute plano e distância: **290°43'30,35"** e **31,40 m**; até o vértice **P936**, de coordenadas **N 7723100,13 m e E 399562,31 m**; este, segue com os seguintes azimute plano e distância: **287°41'0,63"** e **32,20 m**; até o vértice **P937**, de coordenadas **N 7723109,91 m e E 399531,63 m**; este, segue com os seguintes azimute plano e distância: **288°37'38,63"** e **30,99 m**; até o vértice **P938**, de coordenadas **N 7723119,81 m e E 399502,27 m**; este, segue com os seguintes azimute plano e distância: **292°19'38,90"** e **35,90 m**; até o vértice **P939**, de coordenadas **N 7723133,45 m e E 399469,06 m**; este, segue com os seguintes azimute plano e distância: **294°53'10,93"** e **29,61 m**; até o vértice **P940**, de coordenadas **N 7723145,91 m e E 399442,19 m**; este, segue com os seguintes azimute plano e distância: **298°04'14,82"** e **31,87 m**; até o vértice **P941**, de coordenadas **N 7723160,90 m e E 399415,83 m**; este, segue com os seguintes azimute plano e distância: **299°28'37,83"** e **31,87 m**.

E 399414,08 m; deste, segue com os seguintes azimute plano e distância: 293°36'49,27" e 30,79 m; até o vértice P942, de coordenadas N 7723173,24 m e E 399385,86 m; deste, segue com os seguintes azimute plano e distância: 294°53'40,42" e 26,75 m; até o vértice P943, de coordenadas N 7723184,50 m e E 399361,59 m; deste, segue com os seguintes azimute plano e distância: 274°50'39,93" e 26,90 m; até o vértice P944, de coordenadas N 7723186,77 m e E 399334,79 m; deste, segue com os seguintes azimute plano e distância: 274°13'32,51" e 29,28 m; até o vértice P945, de coordenadas N 7723188,93 m e E 399305,59 m; deste, segue com os seguintes azimute plano e distância: 263°42'32,35" e 25,65 m; até o vértice P946, de coordenadas N 7723186,12 m e E 399280,09 m; deste, segue com os seguintes azimute plano e distância: 252°38'45,70" e 26,49 m; até o vértice P947, de coordenadas N 7723178,22 m e E 399254,81 m; neste, segue com os seguintes azimute plano e distância: 244°01'19,13" e 26,84 m; até o vértice P948, de coordenadas N 7723166,46 m e E 399230,68 m; neste, segue com os seguintes azimute plano e distância: 232°04'30,06" e 27,23 m; até o vértice P949, de coordenadas N 7723149,73 m e E 399209,20 m; neste, segue com os seguintes azimute plano e distância: 254°27'34,13" e 24,92 m; até o vértice P950, de coordenadas N 7723143,05 m e E 399185,19 m; neste, segue com os seguintes azimute plano e distância: 253°28'50,10" e 27,76 m; até o vértice P951, de coordenadas N 7723135,16 m e E 399158,58 m; neste, segue com os seguintes azimute plano e distância: 263°46'12,50" e 0,02 m; até o vértice P952, de coordenadas N 7723135,15 m e E 399158,56 m; neste, segue com os seguintes azimute plano e distância: 359°11'56,66" e 28,00 m; até o vértice P953, de coordenadas N 7723163,15 m e E 399158,17 m; neste, segue com os seguintes azimute plano e distância: 349°32'18,72" e 29,68 m; até o vértice P954, de coordenadas N 7723192,33 m e E 399152,78 m; neste, segue com os seguintes azimute plano e distância: 345°26'11,59" e 26,27 m; até o vértice P955, de coordenadas N 7723217,76 m e E 399146,17 m; neste, segue com os seguintes azimute plano e distância: 1°50'26,53" e 30,56 m; até o vértice P956, de coordenadas N 7723248,30 m e E 399147,15 m; neste, segue com os seguintes azimute plano e distância: 2°19'4,01" e 24,27 m; até o vértice P957, de coordenadas N 7723272,56 m e E 399148,14 m; neste, segue com os seguintes azimute plano e distância: 11°20'45,63" e 24,64 m; até o vértice P958, de coordenadas N 7723296,71 m e E 399152,98 m; neste, segue com os seguintes azimute plano e distância: 7°08'27,20" e 28,24 m; até o vértice P959, de coordenadas N 7723324,74 m e E 399156,49 m; neste, segue com os seguintes azimute plano e distância: 7°47'52,62" e 25,71 m; até o vértice P960, de coordenadas N 7723350,21 m e E 399159,98 m; neste, segue com os seguintes azimute plano e distância: 10°42'9,68" e 26,05 m; até o vértice P961, de coordenadas N 7723375,81 m e E 399164,82 m; neste, segue com os seguintes azimute plano e distância: 8°14'18,34" e 24,40 m; até o vértice P962, de coordenadas N 7723399,95 m e E 399168,32 m; neste, segue com os seguintes azimute plano e distância: 29°53'39,35" e 25,11 m; até o vértice P963, de coordenadas N 7723421,73 m e E 399180,83 m; neste, segue com os seguintes azimute plano e distância: 38°05'57,77" e 24,44 m; até o vértice P964, de coordenadas N 7723440,96 m e E 399195,91 m; neste, segue com os seguintes azimute plano e distância: 11°17'24,97" e 24,75 m; até o vértice P965, de coordenadas N 7723465,24 m e E 399200,76 m; neste, segue com os seguintes azimute plano e distância: 9°36'58,08" e 28,43 m; até o vértice P966, de coordenadas N 7723493,27 m e E 399205,51 m; neste, segue com os seguintes azimute plano e distância: 11°43'15,41" e 29,99 m; até o vértice P967, de coordenadas N 7723522,63 m e E 399211,60 m; neste, segue com os seguintes azimute plano e distância: 11°17'25,40" e 24,75 m; até o vértice P968, de coordenadas N 7723546,90 m e E 399216,45 m; neste, segue com os seguintes azimute plano e distância: 20°43'50,17" e 31,31 m; até o vértice P969, de coordenadas N 7723576,19 m e E 399227,53 m; neste, segue com os seguintes azimute plano e distância: 16°51'52,35" e 25,37 m; até o vértice P970, de coordenadas N 7723600,47 m e E 399234,89 m; neste, segue com os seguintes azimute plano e distância: 10°44'58,17" e 25,95 m; até o vértice P971, de coordenadas N 7723625,96 m e E 399239,73 m; neste, segue com os seguintes azimute plano e distância: 9°34'42,05" e 28,54 m; até o vértice P972, de coordenadas N 7723654,10 m e E 399244,48 m; neste, segue com os seguintes azimute plano e distância: 17°10'53,77" e 25,30 m; até o vértice P973, de coordenadas N 7723678,27 m e E 399251,95 m; neste, segue com os seguintes azimute plano e distância: 18°32'8,49" e 27,02 m; até o vértice P974, de coordenadas N 7723703,89 m e E 399260,54 m; neste, segue com os seguintes azimute plano e distância: 13°27'38,34" e 31,46 m; até o vértice P975, de coordenadas N 7723734,48 m e E 399267,87 m; neste, segue com os seguintes azimute plano e distância: 26°00'43,45" e 28,40 m; até o vértice P976, de coordenadas N 7723760,01 m e E 399280,32 m; neste, segue com os seguintes azimute plano e distância: 23°01'29,17" e 34,72 m; até o vértice P977, de coordenadas N 7723791,97 m e E 399293,90 m; neste, segue com os seguintes azimute plano e distância: 24°51'55,66" e 29,60 m; até o vértice P978, de coordenadas N 7723818,83 m e E 399306,35 m; neste, segue com os seguintes azimute plano e distância: 33°56'11,09" e 24,78 m; até o vértice P979, de coordenadas N 7723839,39 m e E 399320,19 m; neste, segue com os seguintes azimute plano e distância: 32°17'16,15" e 25,75 m; até o vértice P980, de coordenadas N 7723861,16 m e E 399333,94 m; neste, segue com os seguintes azimute plano e distância: 31°32'50,36" e 28,55 m; até o vértice P981, de coordenadas N 7723885,49 m e E 399348,88 m; neste, segue com os seguintes azimute plano e distância: 33°09'19,81" e 27,60 m; até o vértice P982, de coordenadas N 7723908,60 m e E 399363,98 m; neste, segue com os seguintes azimute plano e distância: 29°49'18,27" e 25,09 m; até o vértice P983, de coordenadas N 7723930,37 m e E 399376,46 m; neste, segue com os seguintes azimute plano e distância: 55°38'37,41" e 32,05 m; até o vértice P984, de coordenadas N 7723948,46 m e E 399402,92 m; neste, segue com os seguintes azimute plano e distância: 28°29'2,44" e 26,15 m; até o vértice P985, de coordenadas N 7723971,45 m e E 399415,39 m; neste, segue com os seguintes azimute plano e distância: 14°09'26,29" e 25,03 m; até o vértice P986, de coordenadas N 7723995,72 m e E 399421,51 m; neste, segue com os seguintes azimute plano e distância: 11°17'46,12" e 24,74 m; até o vértice P987, de coordenadas N 7724019,98 m e E 399426,36 m; neste, segue com os seguintes azimute plano e distância: 7°52'44,03" e 25,73 m; até o vértice P988, de coordenadas N 7724045,47 m e E 399429,89 m; neste, segue com os seguintes azimute plano e distância: 2°11'35,77" e 25,48 m; até o vértice P989, de coordenadas N 7724070,92 m e E 399430,86 m;

deste, segue com os seguintes azimute plano e distância: $2^{\circ}09'27,18''$ e $26,70$ m; até o vértice P990, de coordenadas N 7724097,61 m e E 399431,87 m; deste, segue com os seguintes azimute plano e distância: $5^{\circ}02'56,15''$ e $25,57$ m; até o vértice P991, de coordenadas N 7724123,08 m e E 399434,12 m; deste, segue com os seguintes azimute plano e distância: $359^{\circ}25'49,67''$ e $56,00$ m; até o vértice P992, de coordenadas N 7724179,08 m e E 399433,56 m; deste, segue com os seguintes azimute plano e distância: $347^{\circ}30'56,24''$ e $24,79$ m; até o vértice P993, de coordenadas N 7724203,29 m e E 399428,20 m; deste, segue com os seguintes azimute plano e distância: $354^{\circ}35'20,94''$ e $30,56$ m; até o vértice P994, de coordenadas N 7724233,71 m e E 399425,32 m; deste, segue com os seguintes azimute plano e distância: $359^{\circ}26'27,08''$ e $29,33$ m; até o vértice P995, de coordenadas N 7724263,04 m e E 399425,03 m; deste, segue com os seguintes azimute plano e distância: $357^{\circ}13'8,17''$ e $34,35$ m; até o vértice P996, de coordenadas N 7724297,34 m e E 399423,37 m; deste, segue com os seguintes azimute plano e distância: $356^{\circ}22'11,90''$ e $25,49$ m; até o vértice P997, de coordenadas N 7724322,79 m e E 399421,75 m; deste, segue com os seguintes azimute plano e distância: $355^{\circ}19'33,47''$ e $35,74$ m; até o vértice P998, de coordenadas N 7724358,41 m e E 399418,84 m; deste, segue com os seguintes azimute plano e distância: $351^{\circ}58'49,95''$ e $29,48$ m; até o vértice P999, de coordenadas N 7724387,60 m e E 399414,73 m; deste, segue com os seguintes azimute plano e distância: $351^{\circ}34'34,14''$ e $28,28$ m; até o vértice P1000, de coordenadas N 7724415,58 m e E 399410,58 m; deste, segue com os seguintes azimute plano e distância: $346^{\circ}37'55,07''$ e $28,63$ m; até o vértice P1001, de coordenadas N 7724443,43 m e E 399403,97 m; deste, segue com os seguintes azimute plano e distância: $342^{\circ}37'5,43''$ e $26,63$ m; até o vértice P1002, de coordenadas N 7724468,85 m e E 399396,01 m; deste, segue com os seguintes azimute plano e distância: $343^{\circ}18'5,04''$ e $31,84$ m; até o vértice P1003, de coordenadas N 7724499,35 m e E 399386,86 m; deste, segue com os seguintes azimute plano e distância: $344^{\circ}38'6,70''$ e $30,25$ m; até o vértice P1004, de coordenadas N 7724528,51 m e E 399378,85 m; deste, segue com os seguintes azimute plano e distância: $346^{\circ}37'54,44''$ e $28,63$ m; até o vértice P1005, de coordenadas N 7724556,37 m e E 399372,23 m; deste, segue com os seguintes azimute plano e distância: $342^{\circ}23'41,51''$ e $30,60$ m; até o vértice P1006, de coordenadas N 7724585,53 m e E 399362,97 m; deste, segue com os seguintes azimute plano e distância: $345^{\circ}26'10,86''$ e $26,27$ m; até o vértice P1007, de coordenadas N 7724610,95 m e E 399356,37 m; deste, segue com os seguintes azimute plano e distância: $340^{\circ}56'2,16''$ e $28,17$ m; até o vértice P1008, de coordenadas N 7724637,57 m e E 399347,17 m; deste, segue com os seguintes azimute plano e distância: $332^{\circ}42'23,00''$ e $25,58$ m; até o vértice P1009, de coordenadas N 7724660,31 m e E 399335,44 m; deste, segue com os seguintes azimute plano e distância: $330^{\circ}28'38,22''$ e $26,24$ m; até o vértice P1010, de coordenadas N 7724683,14 m e E 399322,51 m; deste, segue com os seguintes azimute plano e distância: $323^{\circ}25'55,00''$ e $28,25$ m; até o vértice P1011, de coordenadas N 7724705,83 m e E 399305,67 m; deste, segue com os seguintes azimute plano e distância: $314^{\circ}25'30,96''$ e $30,65$ m; até o vértice P1012, de coordenadas N 7724727,29 m e E 399283,78 m; deste, segue com os seguintes azimute plano e distância: $308^{\circ}06'8,01''$ e $24,39$ m; até o vértice P1013, de coordenadas N 7724742,34 m e E 399264,59 m; deste, segue com os seguintes azimute plano e distância: $309^{\circ}30'24,52''$ e $31,62$ m; até o vértice P1014, de coordenadas N 7724762,46 m e E 399240,19 m; deste, segue com os seguintes azimute plano e distância: $299^{\circ}20'20,90''$ e $27,94$ m; até o vértice P1015, de coordenadas N 7724776,15 m e E 399215,83 m; deste, segue com os seguintes azimute plano e distância: $303^{\circ}39'39,20''$ e $29,29$ m; até o vértice P1016, de coordenadas N 7724792,38 m e E 399191,46 m; deste, segue com os seguintes azimute plano e distância: $294^{\circ}52'21,81''$ e $26,75$ m; até o vértice P1017, de coordenadas N 7724803,63 m e E 399167,19 m; deste, segue com os seguintes azimute plano e distância: $299^{\circ}52'11,57''$ e $32,57$ m; até o vértice P1018, de coordenadas N 7724819,85 m e E 399138,95 m; deste, segue com os seguintes azimute plano e distância: $308^{\circ}09'23,31''$ e $24,36$ m; até o vértice P1019, de coordenadas N 7724834,90 m e E 399119,80 m; deste, segue com os seguintes azimute plano e distância: $316^{\circ}21'46,48''$ e $26,16$ m; até o vértice P1020, de coordenadas N 7724853,83 m e E 399101,75 m; deste, segue com os seguintes azimute plano e distância: $312^{\circ}04'24,32''$ e $24,29$ m; até o vértice P1021, de coordenadas N 7724870,11 m e E 399083,71 m; deste, segue com os seguintes azimute plano e distância: $310^{\circ}55'56,11''$ e $28,86$ m; até o vértice P1022, de coordenadas N 7724889,01 m e E 399061,91 m; deste, segue com os seguintes azimute plano e distância: $314^{\circ}24'20,54''$ e $52,20$ m; até o vértice P1023, de coordenadas N 7724925,54 m e E 399024,62 m; deste, segue com os seguintes azimute plano e distância: $312^{\circ}18'53,50''$ e $26,12$ m; até o vértice P1024, de coordenadas N 7724943,13 m e E 399005,30 m; deste, segue com os seguintes azimute plano e distância: $329^{\circ}52'50,83''$ e $33,55$ m; até o vértice P1025, de coordenadas N 7724972,14 m e E 398988,47 m; deste, segue com os seguintes azimute plano e distância: $312^{\circ}14'44,95''$ e $24,36$ m; até o vértice P1026, de coordenadas N 7724988,52 m e E 398970,43 m; deste, segue com os seguintes azimute plano e distância: $318^{\circ}39'29,40''$ e $25,22$ m; até o vértice P1027, de coordenadas N 7725007,46 m e E 398953,77 m; deste, segue com os seguintes azimute plano e distância: $293^{\circ}16'9,63''$ e $25,15$ m; até o vértice P1028, de coordenadas N 7725017,39 m e E 398930,67 m; deste, segue com os seguintes azimute plano e distância: $274^{\circ}53'8,41''$ e $26,79$ m; até o vértice P1029, de coordenadas N 7725019,68 m e E 398903,98 m; deste, segue com os seguintes azimute plano e distância: $310^{\circ}33'9,20''$ e $27,05$ m; até o vértice P1030, de coordenadas N 7725037,27 m e E 398883,42 m; deste, segue com os seguintes azimute plano e distância: $320^{\circ}39'8,07''$ e $32,61$ m; até o vértice P1031, de coordenadas N 7725062,48 m e E 398862,75 m; deste, segue com os seguintes azimute plano e distância: $308^{\circ}53'36,16''$ e $28,00$ m; até o vértice P1032, de coordenadas N 7725080,07 m e E 398840,95 m; deste, segue com os seguintes azimute plano e distância: $299^{\circ}51'13,49''$ e $25,09$ m; até o vértice P1033, de coordenadas N 7725092,56 m e E 398819,19 m; deste, segue com os seguintes azimute plano e distância: $280^{\circ}11'22,52''$ e $27,25$ m; até o vértice P1034, de coordenadas N 7725097,38 m e E 398792,36 m; deste, segue com os seguintes azimute plano e distância: $280^{\circ}29'28,59''$ e $25,87$ m; até o vértice P1035, de coordenadas N 7725102,09 m e E 398766,93 m; deste, segue com os seguintes azimute plano e distância: $335^{\circ}24'40,54''$ e $25,13$ m; até o vértice P1036, de coordenadas N 7725124,94 m e E 398756,48 m; deste, segue com os seguintes azimute plano e distância: $320^{\circ}47'44,95''$ e $24,46$ m; até o vértice P1037, de coordenadas N 7725143,89 m

e E 398741,01 m; deste, segue com os seguintes azimute plano e distância: 312°06'50,97" e 24,26 m; até o vértice P1038, de coordenadas N 7725160,16 m e E 398723,02 m; deste, segue com os seguintes azimute plano e distância: 302°23'54,40" e 25,79 m; até o vértice P1039, de coordenadas N 7725173,98 m e E 398701,25 m; deste, segue com os seguintes azimute plano e distância: 277°05'20,09" e 28,27 m; até o vértice P1040, de coordenadas N 7725177,47 m e E 398673,19 m; deste, segue com os seguintes azimute plano e distância: 266°39'18,39" e 25,48 m; até o vértice P1041, de coordenadas N 7725175,98 m e E 398647,76 m; deste, segue com os seguintes azimute plano e distância: 264°01'17,23" e 28,09 m; até o vértice P1042, de coordenadas N 7725173,05 m e E 398619,82 m; deste, segue com os seguintes azimute plano e distância: 272°15'18,79" e 26,82 m; até o vértice P1043, de coordenadas N 7725174,11 m e E 398593,02 m; deste, segue com os seguintes azimute plano e distância: 309°11'48,98" e 29,73 m; até o vértice P1044, de coordenadas N 7725192,90 m e E 398569,98 m; deste, segue com os seguintes azimute plano e distância: 354°08'48,02" e 28,13 m; até o vértice P1045, de coordenadas N 7725220,88 m e E 398567,11 m; deste, segue com os seguintes azimute plano e distância: 324°06'46,24" e 26,53 m; até o vértice P1046, de coordenadas N 7725242,38 m e E 398551,56 m; deste, segue com os seguintes azimute plano e distância: 310°35'13,73" e 27,02 m; até o vértice P1047, de coordenadas N 7725259,96 m e E 398531,04 m; deste, segue com os seguintes azimute plano e distância: 304°37'44,70" e 26,47 m; até o vértice P1048, de coordenadas N 7725275,00 m e E 398509,26 m; deste, segue com os seguintes azimute plano e distância: 333°59'17,96" e 26,77 m; até o vértice P1049, de coordenadas N 7725299,05 m e E 398497,52 m; deste, segue com os seguintes azimute plano e distância: 2°25'5,95" e 24,15 m; até o vértice P1050, de coordenadas N 7725323,19 m e E 398498,54 m; deste, segue com os seguintes azimute plano e distância: 25°56'36,41" e 25,68 m; até o vértice P1051, de coordenadas N 7725346,27 m e E 398509,77 m; deste, segue com os seguintes azimute plano e distância: 42°24'31,15" e 24,27 m; até o vértice P1052, de coordenadas N 7725364,19 m e E 398526,14 m; deste, segue com os seguintes azimute plano e distância: 353°12'32,98" e 12,42 m; até o vértice P1053, de coordenadas N 7725376,52 m e E 398524,67 m; deste, segue com os seguintes azimute plano e distância: 47°53'26,80" e 0,61 m; até o vértice P1054, de coordenadas N 7725376,93 m e E 398525,12 m; deste, segue com os seguintes azimute plano e distância: 324°40'55,71" e 1,04 m; até o vértice P1055, de coordenadas N 7725377,77 m e E 398524,52 m; deste, segue com os seguintes azimute plano e distância: 353°12'32,98" e 10,71 m; até o vértice P1056, de coordenadas N 7725388,41 m e E 398523,26 m; deste, segue com os seguintes azimute plano e distância: 320°41'12,74" e 24,34 m; até o vértice P1057, de coordenadas N 7725407,25 m e E 398507,83 m; deste, segue com os seguintes azimute plano e distância: 306°49'0,25" e 11,15 m; até o vértice P1058, de coordenadas N 7725413,93 m e E 398498,91 m; deste, segue com os seguintes azimute plano e distância: 324°40'55,71" e 1,79 m; até o vértice P1059, de coordenadas N 7725415,39 m e E 398497,87 m; deste, segue com os seguintes azimute plano e distância: 281°58'44,46" e 1,31 m; até o vértice P1060, de coordenadas N 7725415,66 m e E 398496,59 m; deste, segue com os seguintes azimute plano e distância: 306°49'0,25" e 13,27 m; até o vértice P1061, de coordenadas N 7725423,61 m e E 398485,97 m; deste, segue com os seguintes azimute plano e distância: 277°26'56,38" e 26,97 m; até o vértice P1062, de coordenadas N 7725427,11 m e E 398459,23 m; deste, segue com os seguintes azimute plano e distância: 290°17'2,05" e 28,59 m; até o vértice P1063, de coordenadas N 7725437,02 m e E 398432,41 m; deste, segue com os seguintes azimute plano e distância: 308°31'47,05" e 26,27 m; até o vértice P1064, de coordenadas N 7725453,38 m e E 398411,86 m; deste, segue com os seguintes azimute plano e distância: 332°46'37,93" e 25,56 m; até o vértice P1065, de coordenadas N 7725476,12 m e E 398400,17 m; deste, segue com os seguintes azimute plano e distância: 359°24'56,66" e 26,68 m; até o vértice P1066, de coordenadas N 7725502,79 m e E 398399,90 m; deste, segue com os seguintes azimute plano e distância: 353°17'46,74" e 24,39 m; até o vértice P1067, de coordenadas N 7725527,01 m e E 398397,05 m; deste, segue com os seguintes azimute plano e distância: 359°24'15,10" e 25,46 m; até o vértice P1068, de coordenadas N 7725552,47 m e E 398396,79 m; deste, segue com os seguintes azimute plano e distância: 5°02'53,68" e 25,56 m; até o vértice P1069, de coordenadas N 7725577,93 m e E 398399,04 m; deste, segue com os seguintes azimute plano e distância: 351°10'35,45" e 26,97 m; até o vértice P1070, de coordenadas N 7725604,59 m e E 398394,90 m; deste, segue com os seguintes azimute plano e distância: 351°06'28,88" e 25,75 m; até o vértice P1071, de coordenadas N 7725630,02 m e E 398390,92 m; deste, segue com os seguintes azimute plano e distância: 325°31'3,62" e 27,55 m; até o vértice P1072, de coordenadas N 7725652,73 m e E 398375,32 m; deste, segue com os seguintes azimute plano e distância: 290°17'0,25" e 28,59 m; até o vértice P1073, de coordenadas N 7725662,64 m e E 398348,51 m; deste, segue com os seguintes azimute plano e distância: 269°24'38,13" e 25,44 m; até o vértice P1074, de coordenadas N 7725662,38 m e E 398323,06 m; deste, segue com os seguintes azimute plano e distância: 266°50'9,00" e 29,34 m; até o vértice P1075, de coordenadas N 7725660,76 m e E 398293,76 m; deste, segue com os seguintes azimute plano e distância: 278°15'33,16" e 24,44 m; até o vértice P1076, de coordenadas N 7725664,27 m e E 398269,58 m; neste, segue com os seguintes azimute plano e distância: 294°11'45,11" e 33,58 m; até o vértice P1077, de coordenadas N 7725678,04 m e E 398238,95 m; neste, segue com os seguintes azimute plano e distância: 290°32'9,95" e 24,54 m; até o vértice P1078, de coordenadas N 7725686,65 m e E 398215,97 m; neste, segue com os seguintes azimute plano e distância: 300°37'24,54" e 26,87 m; até o vértice P1079, de coordenadas N 7725700,33 m e E 398192,84 m; neste, segue com os seguintes azimute plano e distância: 296°06'16,26" e 25,61 m; até o vértice P1080, de coordenadas N 7725711,60 m e E 398169,85 m; neste, segue com os seguintes azimute plano e distância: 312°14'30,87" e 24,36 m; até o vértice P1081, de coordenadas N 7725727,98 m e E 398151,81 m; neste, segue com os seguintes azimute plano e distância: 310°10'16,58" e 25,22 m; até o vértice P1082, de coordenadas N 7725744,25 m e E 398132,54 m; neste, segue com os seguintes azimute plano e distância: 319°22'6,55" e 31,63 m; até o vértice P1083, de coordenadas N 7725768,25 m e E 398111,94 m; neste, segue com os seguintes azimute plano e distância: 314°22'1,35" e 75,51 m; até o vértice P1084, de coordenadas N 7725821,06 m e E 398057,96 m; neste, segue com os seguintes azimute plano e distância: 287°49'45,66" e 36,22 m; até o vértice P1085, de coordenadas N 7725832,14 m

e E 398023,48 m; deste, segue com os seguintes azimute plano e distância: 277°54'2,46" e 34,73 m; até o vértice P1086, de coordenadas N 7725836,92 m e E 397989,08 m; deste, segue com os seguintes azimute plano e distância: 269°17'35,67" e 53,48 m; até o vértice P1087, de coordenadas N 7725836,26 m e E 397935,60 m; deste, segue com os seguintes azimute plano e distância: 263°59'33,09" e 26,85 m; até o vértice P1088, de coordenadas N 7725833,45 m e E 397908,90 m; deste, segue com os seguintes azimute plano e distância: 260°59'1,65" e 25,70 m; até o vértice P1089, de coordenadas N 7725829,42 m e E 397883,52 m; deste, segue com os seguintes azimute plano e distância: 264°15'29,37" e 29,44 m; até o vértice P1090, de coordenadas N 7725826,48 m e E 397854,23 m; deste, segue com os seguintes azimute plano e distância: 269°27'0,63" e 30,55 m; até o vértice P1091, de coordenadas N 7725826,18 m e E 397823,68 m; deste, segue com os seguintes azimute plano e distância: 271°49'28,09" e 29,22 m; até o vértice P1092, de coordenadas N 7725827,11 m e E 397794,48 m; deste, segue com os seguintes azimute plano e distância: 280°41'58,81" e 26,00 m; até o vértice P1093, de coordenadas N 7725831,94 m e E 397768,93 m; deste, segue com os seguintes azimute plano e distância: 289°45'3,80" e 25,77 m; até o vértice P1094, de coordenadas N 7725840,65 m e E 397744,67 m; deste, segue com os seguintes azimute plano e distância: 290°58'44,55" e 27,39 m; até o vértice P1095, de coordenadas N 7725850,46 m e E 397719,10 m; deste, segue com os seguintes azimute plano e distância: 299°50'56,17" e 25,10 m; até o vértice P1096, de coordenadas N 7725862,95 m e E 397697,33 m; deste, segue com os seguintes azimute plano e distância: 292°57'48,05" e 24,99 m; até o vértice P1097, de coordenadas N 7725872,70 m e E 397674,32 m; neste, segue com os seguintes azimute plano e distância: 308°39'19,28" e 8,11 m; até o vértice P1098, de coordenadas N 7725877,76 m e E 397667,99 m; neste, segue com os seguintes azimute plano e distância: 297°36'22,27" e 9,90 m; até o vértice P1099, de coordenadas N 7725882,35 m e E 397659,21 m; neste, segue com os seguintes azimute plano e distância: 308°28'2,81" e 41,24 m; até o vértice P1100, de coordenadas N 7725908,01 m e E 397626,92 m; neste, segue com os seguintes azimute plano e distância: 301°50'10,65" e 33,25 m; até o vértice P1101, de coordenadas N 7725925,55 m e E 397598,67 m; neste, segue com os seguintes azimute plano e distância: 297°11'36,18" e 27,30 m; até o vértice P1102, de coordenadas N 7725938,03 m e E 397574,39 m; neste, segue com os seguintes azimute plano e distância: 286°58'56,55" e 29,37 m; até o vértice P1103, de coordenadas N 7725946,60 m e E 397546,30 m; neste, segue com os seguintes azimute plano e distância: 269°23'56,68" e 26,79 m; até o vértice P1104, de coordenadas N 7725946,32 m e E 397519,51 m; neste, segue com os seguintes azimute plano e distância: 260°32'26,35" e 24,40 m; até o vértice P1105, de coordenadas N 7725942,31 m e E 397495,44 m; neste, segue com os seguintes azimute plano e distância: 269°09'50,12" e 26,76 m; até o vértice P1106, de coordenadas N 7725941,92 m e E 397468,69 m; neste, segue com os seguintes azimute plano e distância: 272°33'8,05" e 24,24 m; até o vértice P1107, de coordenadas N 7725943,00 m e E 397444,47 m; neste, segue com os seguintes azimute plano e distância: 286°07'17,32" e 26,53 m; até o vértice P1108, de coordenadas N 7725950,37 m e E 397418,99 m; neste, segue com os seguintes azimute plano e distância: 283°22'52,30" e 62,97 m; até o vértice P1109, de coordenadas N 7725964,94 m e E 397357,73 m; neste, segue com os seguintes azimute plano e distância: 320°20'4,80" e 26,18 m; até o vértice P1110, de coordenadas N 7725985,09 m e E 397341,02 m; neste, segue com os seguintes azimute plano e distância: 306°48'42,96" e 27,31 m; até o vértice P1111, de coordenadas N 7726001,46 m e E 397319,15 m; neste, segue com os seguintes azimute plano e distância: 316°31'52,48" e 24,27 m; até o vértice P1112, de coordenadas N 7726019,07 m e E 397302,46 m; neste, segue com os seguintes azimute plano e distância: 292°10'53,50" e 26,29 m; até o vértice P1113, de coordenadas N 7726028,99 m e E 397278,12 m; neste, segue com os seguintes azimute plano e distância: 300°45'43,42" e 26,78 m; até o vértice P1114, de coordenadas N 7726042,69 m e E 397255,11 m; neste, segue com os seguintes azimute plano e distância: 310°57'57,16" e 30,68 m; até o vértice P1115, de coordenadas N 7726062,80 m e E 397231,94 m; neste, segue com os seguintes azimute plano e distância: 319°35'20,90" e 29,79 m; até o vértice P1116, de coordenadas N 7726085,48 m e E 397212,63 m; neste, segue com os seguintes azimute plano e distância: 329°33'27,28" e 30,83 m; até o vértice P1117, de coordenadas N 7726112,07 m e E 397197,01 m; neste, segue com os seguintes azimute plano e distância: 316°35'43,46" e 24,24 m; até o vértice P1118, de coordenadas N 7726129,68 m e E 397180,35 m; neste, segue com os seguintes azimute plano e distância: 305°44'49,02" e 30,05 m; até o vértice P1119, de coordenadas N 7726147,23 m e E 397155,96 m; neste, segue com os seguintes azimute plano e distância: 296°02'11,34" e 28,40 m; até o vértice P1120, de coordenadas N 7726159,70 m e E 397130,44 m; neste, segue com os seguintes azimute plano e distância: 305°23'20,56" e 34,67 m; até o vértice P1121, de coordenadas N 7726179,78 m e E 397102,18 m; neste, segue com os seguintes azimute plano e distância: 326°33'4,90" e 25,77 m; até o vértice P1122, de coordenadas N 7726201,28 m e E 397087,97 m; neste, segue com os seguintes azimute plano e distância: 329°11'56,74" e 27,99 m; até o vértice P1123, de coordenadas N 7726225,32 m e E 397073,64 m; neste, segue com os seguintes azimute plano e distância: 329°41'48,94" e 30,66 m; até o vértice P1124, de coordenadas N 7726251,79 m e E 397058,17 m; neste, segue com os seguintes azimute plano e distância: 331°24'30,35" e 24,50 m; até o vértice P1125, de coordenadas N 7726273,31 m e E 397046,44 m; neste, segue com os seguintes azimute plano e distância: 316°24'48,83" e 26,13 m; até o vértice P1126, de coordenadas N 7726292,24 m e E 397028,43 m; neste, segue com os seguintes azimute plano e distância: 310°55'23,23" e 28,86 m; até o vértice P1127, de coordenadas N 7726311,14 m e E 397006,62 m; neste, segue com os seguintes azimute plano e distância: 294°34'58,92" e 26,78 m; até o vértice P1128, de coordenadas N 7726322,28 m e E 396982,27 m; neste, segue com os seguintes azimute plano e distância: 307°55'41,51" e 24,48 m; até o vértice P1129, de coordenadas N 7726337,32 m e E 396962,97 m; neste, segue com os seguintes azimute plano e distância: 320°50'30,47" e 24,43 m; até o vértice P1130, de coordenadas N 7726356,27 m e E 396947,54 m; neste, segue com os seguintes azimute plano e distância: 314°17'15,50" e 25,21 m; até o vértice P1131, de coordenadas N 7726373,87 m e E 396929,49 m; neste, segue com os seguintes azimute plano e distância: 312°26'1,39" e 24,29 m; até o vértice P1132, de coordenadas N 7726390,26 m e E 396911,57 m; neste, segue com os seguintes azimute plano e distância: 297°10'54,08" e 24,42 m; até o vértice P1133, de coordenadas N 7726401,41 m e E

396889,85 m; deste, segue com os seguintes azimute plano e distância: **269°25'5,70"** e **24,23 m**; até o vértice P1134, de coordenadas N **7726401,17 m** e E **396865,62 m**; deste, segue com os seguintes azimute plano e distância: **13°19'16,26"** e **111,56 m**; até o vértice P1135, de coordenadas N **7726509,73 m** e E **396891,32 m**; deste, segue com os seguintes azimute plano e distância: **296°56'24,09"** e **163,88 m**; até o vértice P1136, de coordenadas N **7726583,98 m** e E **396745,23 m**; deste, segue com os seguintes azimute plano e distância: **339°44'28,56"** e **187,03 m**; até o vértice P1137, de coordenadas N **7726759,44 m** e E **396680,46 m**; deste, segue com os seguintes azimute plano e distância: **224°42'11,96"** e **160,45 m**; até o vértice P1138, de coordenadas N **7726645,40 m** e E **396567,60 m**; deste, segue com os seguintes azimute plano e distância: **281°21'15,07"** e **122,73 m**; até o vértice P1139, de coordenadas N **7726669,56 m** e E **396447,27 m**; deste, segue com os seguintes azimute plano e distância: **329°23'52,16"** e **188,95 m**; até o vértice P1140, de coordenadas N **7726832,19 m** e E **396351,08 m**; deste, segue com os seguintes azimute plano e distância: **302°37'2,51"** e **218,77 m**; até o vértice P1141, de coordenadas N **7726950,12 m** e E **396166,81 m**; deste, segue com os seguintes azimute plano e distância: **307°54'4,61"** e **217,58 m**; até o vértice P1142, de coordenadas N **7727083,78 m** e E **395995,12 m**; deste, segue com os seguintes azimute plano e distância: **316°29'27,43"** e **240,85 m**; até o vértice P1143, de coordenadas N **7727258,46 m** e E **395829,30 m**; deste, segue com os seguintes azimute plano e distância: **314°22'1,34"** e **267,46 m**; até o vértice P1144, de coordenadas N **7727445,48 m** e E **395638,10 m**; deste, segue com os seguintes azimute plano e distância: **312°58'17,20"** e **182,81 m**; até o vértice P1145, de coordenadas N **7727570,09 m** e E **395504,34 m**; deste, segue com os seguintes azimute plano e distância: **315°29'26,45"** e **227,33 m**; até o vértice P1146, de coordenadas N **7727732,21 m** e E **395344,98 m**; deste, segue com os seguintes azimute plano e distância: **331°53'11,95"** e **340,55 m**; até o vértice P1147, de coordenadas N **7728032,58 m** e E **395184,50 m**; deste, segue com os seguintes azimute plano e distância: **236°35'4,51"** e **173,29 m**; até o vértice P1148, de coordenadas N **7727937,14 m** e E **395039,86 m**; deste, segue com os seguintes azimute plano e distância: **302°33'35,75"** e **392,10 m**; até o vértice P1149, de coordenadas N **7728148,16 m** e E **394709,39 m**; deste, segue com os seguintes azimute plano e distância: **321°19'40,94"** e **367,97 m**; até o vértice P1150, de coordenadas N **7728435,45 m** e E **394479,46 m**; deste, segue com os seguintes azimute plano e distância: **338°45'0,82"** e **356,26 m**; até o vértice P1151, de coordenadas N **7728767,49 m** e E **394350,34 m**; deste, segue com os seguintes azimute plano e distância: **289°59'7,92"** e **161,93 m**; até o vértice P1152, de coordenadas N **7728822,84 m** e E **394198,15 m**; deste, segue com os seguintes azimute plano e distância: **23°37'40,41"** e **123,91 m**; até o vértice P1153, de coordenadas N **7728936,36 m** e E **394247,82 m**; deste, segue com os seguintes azimute plano e distância: **320°03'44,25"** e **258,57 m**; até o vértice P1154, de coordenadas N **7729134,61 m** e E **394081,83 m**; deste, segue com os seguintes azimute plano e distância: **324°52'51,12"** e **244,56 m**; até o vértice P1155, de coordenadas N **7729334,65 m** e E **393941,14 m**; deste, segue com os seguintes azimute plano e distância: **290°07'47,25"** e **249,91 m**; até o vértice P1156, de coordenadas N **7729420,66 m** e E **393706,49 m**; deste, segue com os seguintes azimute plano e distância: **288°51'36,04"** e **113,90 m**; até o vértice P1157, de coordenadas N **7729457,48 m** e E **393598,70 m**; deste, segue com os seguintes azimute plano e distância: **331°05'15,27"** e **185,83 m**; até o vértice P1158, de coordenadas N **7729620,15 m** e E **393508,86 m**; deste, segue com os seguintes azimute plano e distância: **29°13'16,48"** e **651,24 m**; até o vértice P1159, de coordenadas N **7730188,51 m** e E **393826,78 m**; deste, segue com os seguintes azimute plano e distância: **331°29'50,16"** e **242,07 m**; até o vértice P1160, de coordenadas N **7730401,24 m** e E **393711,27 m**; deste, segue com os seguintes azimute plano e distância: **228°43'8,45"** e **509,71 m**; até o vértice P1161, de coordenadas N **7730064,96 m** e E **393328,23 m**; deste, segue com os seguintes azimute plano e distância: **295°58'3,36"** e **183,56 m**; até o vértice P1162, de coordenadas N **7730145,33 m** e E **393163,20 m**; deste, segue com os seguintes azimute plano e distância: **347°39'34,38"** e **276,21 m**; até o vértice P1163, de coordenadas N **7730415,15 m** e E **393104,17 m**; deste, segue com os seguintes azimute plano e distância: **299°07'41,93"** e **152,70 m**; até o vértice P1164, de coordenadas N **7730489,49 m** e E **392970,78 m**; deste, segue com os seguintes azimute plano e distância: **304°04'40,77"** e **99,76 m**; até o vértice P1165, de coordenadas N **7730545,39 m** e E **392888,15 m**; deste, segue com os seguintes azimute plano e distância: **7°44'29,54"** e **88,91 m**; até o vértice P1166, de coordenadas N **7730633,48 m** e E **392900,12 m**; deste, segue com os seguintes azimute plano e distância: **319°34'10,01"** e **147,61 m**; até o vértice P1167, de coordenadas N **7730745,84 m** e E **392804,39 m**; deste, segue com os seguintes azimute plano e distância: **296°47'38,26"** e **192,10 m**; até o vértice P1168, de coordenadas N **7730832,44 m** e E **392632,91 m**; deste, segue com os seguintes azimute plano e distância: **290°54'10,55"** e **248,61 m**; até o vértice P1169, de coordenadas N **7730921,14 m** e E **392400,67 m**; este, segue com os seguintes azimute plano e distância: **0°52'16,51"** e **276,72 m**; até o vértice P1170, de coordenadas N **7731197,83 m** e E **392404,87 m**; este, segue com os seguintes azimute plano e distância: **330°09'15,31"** e **360,69 m**; até o vértice P1171, de coordenadas N **7731510,68 m** e E **392225,37 m**; este, segue com os seguintes azimute plano e distância: **344°42'23,50"** e **247,06 m**; até o vértice P1172, de coordenadas N **7731748,99 m** e E **392160,21 m**; este, segue com os seguintes azimute plano e distância: **331°04'36,52"** e **185,86 m**; até o vértice P1173, de coordenadas N **7731911,67 m** e E **392070,32 m**; este, segue com os seguintes azimute plano e distância: **269°31'44,79"** e **158,14 m**; até o vértice P1174, de coordenadas N **7731910,37 m** e E **391912,18 m**; este, segue com os seguintes azimute plano e distância: **259°06'15,01"** e **173,67 m**; até o vértice P1175, de coordenadas N **7731877,54 m** e E **391741,64 m**; este, segue com os seguintes azimute plano e distância: **48°54'13,23"** e **366,85 m**; até o vértice P1176, de coordenadas N **7732118,68 m** e E **392018,09 m**; este, segue com os seguintes azimute plano e distância: **35°21'4,29"** e **465,07 m**; até o vértice P1177, de coordenadas N **7732498,01 m** e E **392287,18 m**; este, segue com os seguintes azimute plano e distância: **29°39'47,57"** e **188,91 m**; até o vértice P1178, de coordenadas N **7732662,16 m** e E **392380,67 m**; este, segue com os seguintes azimute plano e distância: **335°14'15,98"** e **199,98 m**; até o vértice P1179, de coordenadas N **7732843,75 m** e E **392296,91 m**; este, segue com os seguintes azimute plano e distância: **294°24'34,16"** e **209,21 m**; até o vértice P1180, de coordenadas N **7732930,21 m** e E **392106,40 m**; este,

segue com os seguintes azimute plano e distância: $315^{\circ}15'52,94''$ e $190,41$ m; até o vértice P1181, de coordenadas N $7733065,47$ m e E $391972,38$ m; deste, segue com os seguintes azimute plano e distância: $340^{\circ}59'24,84''$ e $338,10$ m; até o vértice P1182, de coordenadas N $7733385,13$ m e E $391862,26$ m; deste, segue com os seguintes azimute plano e distância: $343^{\circ}58'36,99''$ e $306,66$ m; até o vértice P1183, de coordenadas N $7733679,88$ m e E $391777,61$ m; deste, segue com os seguintes azimute plano e distância: $87^{\circ}25'46,04''$ e $170,91$ m; até o vértice P1184, de coordenadas N $7733687,55$ m e E $391948,35$ m; deste, segue com os seguintes azimute plano e distância: $74^{\circ}22'5,23''$ e $504,73$ m; até o vértice P1185, de coordenadas N $7733823,55$ m e E $392434,41$ m; deste, segue com os seguintes azimute plano e distância: $354^{\circ}43'47,62''$ e $151,36$ m; até o vértice P1186, de coordenadas N $7733974,27$ m e E $392420,50$ m; deste, segue com os seguintes azimute plano e distância: $286^{\circ}13'38,08''$ e $350,02$ m; até o vértice P1187, de coordenadas N $7734072,09$ m e E $392084,42$ m; deste, segue com os seguintes azimute plano e distância: $359^{\circ}33'29,64''$ e $176,00$ m; até o vértice P1188, de coordenadas N $7734248,08$ m e E $392083,07$ m; deste, segue com os seguintes azimute plano e distância: $73^{\circ}41'11,12''$ e $138,07$ m; até o vértice P1189, de coordenadas N $7734286,86$ m e E $392215,58$ m; deste, segue com os seguintes azimute plano e distância: $25^{\circ}01'8,67''$ e $132,28$ m; até o vértice P1190, de coordenadas N $7734406,73$ m e E $392271,52$ m; deste, segue com os seguintes azimute plano e distância: $54^{\circ}31'29,42''$ e $339,60$ m; até o vértice P1191, de coordenadas N $7734603,82$ m e E $392548,08$ m; deste, segue com os seguintes azimute plano e distância: $107^{\circ}52'42,45''$ e $119,91$ m; até o vértice P1192, de coordenadas N $7734567,01$ m e E $392662,19$ m; deste, segue com os seguintes azimute plano e distância: $111^{\circ}00'47,29''$ e $326,18$ m; até o vértice P1193, de coordenadas N $7734450,05$ m e E $392966,68$ m; deste, segue com os seguintes azimute plano e distância: $59^{\circ}29'43,28''$ e $487,01$ m; até o vértice P1194, de coordenadas N $7734697,26$ m e E $393386,28$ m; deste, segue com os seguintes azimute plano e distância: $87^{\circ}51'39,65''$ e $144,42$ m; até o vértice P1195, de coordenadas N $7734702,65$ m e E $393530,60$ m; deste, segue com os seguintes azimute plano e distância: $67^{\circ}51'9,34''$ e $114,28$ m; até o vértice P1196, de coordenadas N $7734745,73$ m e E $393636,45$ m; deste, segue com os seguintes azimute plano e distância: $34^{\circ}43'33,22''$ e $154,98$ m; até o vértice P1197, de coordenadas N $7734873,11$ m e E $393724,74$ m; deste, segue com os seguintes azimute plano e distância: $316^{\circ}08'18,25''$ e $129,87$ m; até o vértice P1198, de coordenadas N $7734966,75$ m e E $393634,75$ m; deste, segue com os seguintes azimute plano e distância: $314^{\circ}22'44,50''$ e $41,92$ m; até o vértice P1199, de coordenadas N $7734996,07$ m e E $393604,78$ m; deste, segue com os seguintes azimute plano e distância: $295^{\circ}57'36,54''$ e $123,35$ m; até o vértice P1200, de coordenadas N $7735050,06$ m e E $393493,88$ m; deste, segue com os seguintes azimute plano e distância: $350^{\circ}45'1,30''$ e $111,09$ m; até o vértice P1201, de coordenadas N $7735159,71$ m e E $393476,02$ m; deste, segue com os seguintes azimute plano e distância: $297^{\circ}08'10,69''$ e $91,12$ m; até o vértice P1202, de coordenadas N $7735201,27$ m e E $393394,93$ m; deste, segue com os seguintes azimute plano e distância: $335^{\circ}27'43,22''$ e $83,25$ m; até o vértice P1203, de coordenadas N $7735277,01$ m e E $393360,35$ m; deste, segue com os seguintes azimute plano e distância: $5^{\circ}09'33,07''$ e $216,39$ m; até o vértice P1204, de coordenadas N $7735492,52$ m e E $393379,81$ m; deste, segue com os seguintes azimute plano e distância: $113^{\circ}27'46,76''$ e $260,30$ m; até o vértice P1205, de coordenadas N $7735388,88$ m e E $393618,59$ m; deste, segue com os seguintes azimute plano e distância: $135^{\circ}46'5,63''$ e $122,80$ m; até o vértice P1206, de coordenadas N $7735300,90$ m e E $393704,25$ m; deste, segue com os seguintes azimute plano e distância: $100^{\circ}46'49,34''$ e $194,90$ m; até o vértice P1207, de coordenadas N $7735264,44$ m e E $393895,71$ m; deste, segue com os seguintes azimute plano e distância: $101^{\circ}26'57,27''$ e $143,24$ m; até o vértice P1208, de coordenadas N $7735236,01$ m e E $394036,10$ m; deste, segue com os seguintes azimute plano e distância: $7^{\circ}06'13,30''$ e $225,76$ m; até o vértice P1209, de coordenadas N $7735460,04$ m e E $394064,01$ m; deste, segue com os seguintes azimute plano e distância: $21^{\circ}43'23,78''$ e $168,72$ m; até o vértice P1210, de coordenadas N $7735616,78$ m e E $394126,46$ m; deste, segue com os seguintes azimute plano e distância: $55^{\circ}11'31,83''$ e $82,33$ m; até o vértice P1211, de coordenadas N $7735663,77$ m e E $394194,06$ m; deste, segue com os seguintes azimute plano e distância: $276^{\circ}47'58,60''$ e $167,06$ m; até o vértice P1212, de coordenadas N $7735683,55$ m e E $394028,18$ m; deste, segue com os seguintes azimute plano e distância: $274^{\circ}24'21,52''$ e $199,89$ m; até o vértice P1213, de coordenadas N $7735698,91$ m e E $393828,88$ m; deste, segue com os seguintes azimute plano e distância: $329^{\circ}38'41,02''$ e $170,48$ m; até o vértice P1214, de coordenadas N $7735846,01$ m e E $393742,73$ m; deste, segue com os seguintes azimute plano e distância: $315^{\circ}35'10,54''$ e $140,78$ m; até o vértice P1215, de coordenadas N $7735946,57$ m e E $393644,21$ m; deste, segue com os seguintes azimute plano e distância: $345^{\circ}06'18,81''$ e $187,50$ m; até o vértice P1216, de coordenadas N $7736127,77$ m e E $393596,01$ m; deste, segue com os seguintes azimute plano e distância: $336^{\circ}25'27,96''$ e $151,52$ m; até o vértice P1217, de coordenadas N $7736266,64$ m e E $393535,41$ m; deste, segue com os seguintes azimute plano e distância: $272^{\circ}53'13,64''$ e $144,67$ m; até o vértice P1218, de coordenadas N $7736273,93$ m e E $393390,93$ m; deste, segue com os seguintes azimute plano e distância: $337^{\circ}37'6,97''$ e $68,28$ m; até o vértice P1219, de coordenadas N $7736337,06$ m e E $393364,93$ m; deste, segue com os seguintes azimute plano e distância: $66^{\circ}40'10,12''$ e $152,12$ m; até o vértice P1220, de coordenadas N $7736397,31$ m e E $393504,61$ m; deste, segue com os seguintes azimute plano e distância: $87^{\circ}20'55,89''$ e $331,61$ m; até o vértice P1221, de coordenadas N $7736412,65$ m e E $393835,87$ m; deste, segue com os seguintes azimute plano e distância: $85^{\circ}35'57,78''$ e $203,89$ m; até o vértice P1222, de coordenadas N $7736428,29$ m e E $394039,16$ m; deste, segue com os seguintes azimute plano e distância: $157^{\circ}01'43,45''$ e $233,13$ m; até o vértice P1223, de coordenadas N $7736213,65$ m e E $394130,14$ m; deste, segue com os seguintes azimute plano e distância: $95^{\circ}13'25,82''$ e $42,69$ m; até o vértice P1224, de coordenadas N $7736209,77$ m e E $394172,65$ m; deste, segue com os seguintes azimute plano e distância: $105^{\circ}23'14,37''$ e $92,74$ m; até o vértice P1225, de coordenadas N $7736185,16$ m e E $394262,07$ m; deste, segue com os seguintes azimute plano e distância: $132^{\circ}05'32,36''$ e $74,94$ m; até o vértice P1226, de coordenadas N $7736134,93$ m e E $394317,68$ m; deste, segue com os seguintes azimute plano e distância: $47^{\circ}15'30,32''$ e $200,87$ m; até o vértice P1227, de coordenadas N $7736271,26$ m e E $394465,20$ m; deste, segue com os seguintes azimute

plano e distância: $34^{\circ}30'50,32''$ e 237,08 m; até o vértice P1228, de coordenadas N 7736466,61 m e E 394599,53 m; deste, segue com os seguintes azimute plano e distância: $34^{\circ}04'9,12''$ e 194,81 m; até o vértice P1229, de coordenadas N 7736627,98 m e E 394708,66 m; deste, segue com os seguintes azimute plano e distância: $177^{\circ}20'35,58''$ e 333,89 m; até o vértice P1230, de coordenadas N 7736294,45 m e E 394724,14 m; deste, segue com os seguintes azimute plano e distância: $125^{\circ}50'35,49''$ e 121,25 m; até o vértice P1231, de coordenadas N 7736223,45 m e E 394822,43 m; deste, segue com os seguintes azimute plano e distância: $97^{\circ}05'29,27''$ e 192,82 m; até o vértice P1232, de coordenadas N 7736199,64 m e E 395013,77 m; deste, segue com os seguintes azimute plano e distância: $69^{\circ}53'51,35''$ e 175,88 m; até o vértice P1233, de coordenadas N 7736260,09 m e E 395178,94 m; deste, segue com os seguintes azimute plano e distância: $117^{\circ}32'19,65''$ e 206,86 m; até o vértice P1234, de coordenadas N 7736164,45 m e E 395362,36 m; deste, segue com os seguintes azimute plano e distância: $157^{\circ}58'29,51''$ e 127,12 m; até o vértice P1235, de coordenadas N 7736046,61 m e E 395410,04 m; deste, segue com os seguintes azimute plano e distância: $151^{\circ}55'34,70''$ e 119,14 m; até o vértice P1236, de coordenadas N 7735941,49 m e E 395466,10 m; deste, segue com os seguintes azimute plano e distância: $138^{\circ}45'49,20''$ e 117,09 m; até o vértice P1237, de coordenadas N 7735853,43 m e E 395543,29 m; deste, segue com os seguintes azimute plano e distância: $100^{\circ}25'45,82''$ e 134,11 m; até o vértice P1238, de coordenadas N 7735829,16 m e E 395675,18 m; deste, segue com os seguintes azimute plano e distância: $138^{\circ}36'59,56''$ e 213,97 m; até o vértice P1239, de coordenadas N 7735668,61 m e E 395816,64 m; deste, segue com os seguintes azimute plano e distância: $144^{\circ}15'20,03''$ e 279,40 m; até o vértice P1240, de coordenadas N 7735441,84 m e E 395979,85 m; deste, segue com os seguintes azimute plano e distância: $138^{\circ}33'43,44''$ e 123,06 m; até o vértice P1241, de coordenadas N 7735349,59 m e E 396061,29 m; deste, segue com os seguintes azimute plano e distância: $105^{\circ}24'6,52''$ e 154,53 m; até o vértice P1242, de coordenadas N 7735308,55 m e E 396210,27 m; deste, segue com os seguintes azimute plano e distância: $83^{\circ}03'34,67''$ e 149,60 m; até o vértice P1243, de coordenadas N 7735326,63 m e E 396358,78 m; deste, segue com os seguintes azimute plano e distância: $75^{\circ}34'45,20''$ e 210,09 m; até o vértice P1244, de coordenadas N 7735378,95 m e E 396562,25 m; deste, segue com os seguintes azimute plano e distância: $144^{\circ}00'50,33''$ e 482,48 m; até o vértice P1245, de coordenadas N 7734988,55 m e E 396845,75 m; deste, segue com os seguintes azimute plano e distância: $73^{\circ}14'37,41''$ e 75,28 m; até o vértice P1246, de coordenadas N 7735010,25 m e E 396917,83 m; deste, segue com os seguintes azimute plano e distância: $151^{\circ}17'32,07''$ e 215,68 m; até o vértice P1247, de coordenadas N 7734821,08 m e E 397021,43 m; deste, segue com os seguintes azimute plano e distância: $129^{\circ}01'40,28''$ e 279,77 m; até o vértice P1248, de coordenadas N 7734644,91 m e E 397238,77 m; deste, segue com os seguintes azimute plano e distância: $105^{\circ}58'59,81''$ e 174,31 m; até o vértice P1249, de coordenadas N 7734596,91 m e E 397406,34 m; deste, segue com os seguintes azimute plano e distância: $110^{\circ}14'35,31''$ e 156,13 m; até o vértice P1250, de coordenadas N 7734542,89 m e E 397552,83 m; deste, segue com os seguintes azimute plano e distância: $148^{\circ}26'18,80''$ e 26,16 m; até o vértice P1251, de coordenadas N 7734520,60 m e E 397566,52 m; deste, segue com os seguintes azimute plano e distância: $169^{\circ}46'29,52''$ e 92,74 m; até o vértice P1252, de coordenadas N 7734429,33 m e E 397582,98 m; deste, segue com os seguintes azimute plano e distância: $150^{\circ}23'43,14''$ e 69,49 m; até o vértice P1253, de coordenadas N 7734368,91 m e E 397617,31 m; deste, segue com os seguintes azimute plano e distância: $156^{\circ}08'37,45''$ e 57,35 m; até o vértice P1254, de coordenadas N 7734316,46 m e E 397640,51 m; deste, segue com os seguintes azimute plano e distância: $184^{\circ}15'47,31''$ e 46,52 m; até o vértice P1255, de coordenadas N 7734270,06 m e E 397637,05 m; deste, segue com os seguintes azimute plano e distância: $146^{\circ}40'13,38''$ e 77,80 m; até o vértice P1256, de coordenadas N 7734205,06 m e E 397679,79 m; deste, segue com os seguintes azimute plano e distância: $216^{\circ}22'3,44''$ e 39,36 m; até o vértice P1257, de coordenadas N 7734173,37 m e E 397656,45 m; deste, segue com os seguintes azimute plano e distância: $247^{\circ}21'45,41''$ e 46,22 m; até o vértice P1258, de coordenadas N 7734155,58 m e E 397613,79 m; deste, segue com os seguintes azimute plano e distância: $222^{\circ}50'37,10''$ e 32,93 m; até o vértice P1259, de coordenadas N 7734131,43 m e E 397591,40 m; deste, segue com os seguintes azimute plano e distância: $231^{\circ}52'54,27''$ e 38,31 m; até o vértice P1260, de coordenadas N 7734107,79 m e E 397561,27 m; deste, segue com os seguintes azimute plano e distância: $225^{\circ}38'33,14''$ e 83,07 m; até o vértice P1261, de coordenadas N 7734049,71 m e E 397501,87 m; deste, segue com os seguintes azimute plano e distância: $222^{\circ}51'30,86''$ e 207,30 m; até o vértice P1262, de coordenadas N 7733897,75 m e E 397360,87 m; deste, segue com os seguintes azimute plano e distância: $303^{\circ}37'22,70''$ e 82,50 m; até o vértice P1263, de coordenadas N 7733943,44 m e E 397292,17 m; deste, segue com os seguintes azimute plano e distância: $291^{\circ}00'11,84''$ e 52,65 m; até o vértice P1264, de coordenadas N 7733962,31 m e E 397243,02 m; deste, segue com os seguintes azimute plano e distância: $177^{\circ}50'19,22''$ e 106,67 m; até o vértice P1265, de coordenadas N 7733855,71 m e E 397247,04 m; deste, segue com os seguintes azimute plano e distância: $199^{\circ}51'24,83''$ e 53,62 m; até o vértice P1266, de coordenadas N 7733805,28 m e E 397228,83 m; deste, segue com os seguintes azimute plano e distância: $212^{\circ}33'37,00''$ e 55,80 m; até o vértice P1267, de coordenadas N 7733758,25 m e E 397198,80 m; deste, segue com os seguintes azimute plano e distância: $189^{\circ}13'15,96''$ e 61,19 m; até o vértice P1268, de coordenadas N 7733697,85 m e E 397188,99 m; deste, segue com os seguintes azimute plano e distância: $160^{\circ}37'8,17''$ e 67,20 m; até o vértice P1269, de coordenadas N 7733634,46 m e E 397211,29 m; deste, segue com os seguintes azimute plano e distância: $203^{\circ}58'25,85''$ e 36,93 m; até o vértice P1270, de coordenadas N 7733600,72 m e E 397196,29 m; deste, segue com os seguintes azimute plano e distância: $262^{\circ}33'23,87''$ e 40,76 m; até o vértice P1271, de coordenadas N 7733595,44 m e E 397155,87 m; deste, segue com os seguintes azimute plano e distância: $273^{\circ}40'42,29''$ e 58,57 m; até o vértice P1272, de coordenadas N 7733599,20 m e E 397097,42 m; deste, segue com os seguintes azimute plano e distância: $277^{\circ}37'54,71''$ e 57,89 m; até o vértice P1273, de coordenadas N 7733606,89 m e E 397040,04 m; deste, segue com os seguintes azimute plano e distância: $272^{\circ}40'43,65''$ e 87,43 m; até o vértice P1274, de coordenadas N 7733610,97 m e E 396952,71 m; deste, segue com os seguintes azimute plano e distância: $266^{\circ}31'29,47''$ e 61,75 m; até o vértice P1275, de coordenadas N 7733607,23 m e E 396891,07 m; deste, segue

com os seguintes azimute plano e distância: $267^{\circ}52'7,15''$ e $109,29$ m; até o vértice P1276, de coordenadas N $7733603,16$ m e E $396781,86$ m; deste, segue com os seguintes azimute plano e distância: $270^{\circ}43'34,51''$ e $74,68$ m; até o vértice P1277, de coordenadas N $7733604,11$ m e E $396707,19$ m; deste, segue com os seguintes azimute plano e distância: $344^{\circ}01'18,98''$ e $40,61$ m; até o vértice P1278, de coordenadas N $7733643,15$ m e E $396696,01$ m; deste, segue com os seguintes azimute plano e distância: $344^{\circ}25'9,29''$ e $42,37$ m; até o vértice P1279, de coordenadas N $7733683,96$ m e E $396684,63$ m; deste, segue com os seguintes azimute plano e distância: $351^{\circ}17'41,66''$ e $43,13$ m; até o vértice P1280, de coordenadas N $7733726,60$ m e E $396678,10$ m; deste, segue com os seguintes azimute plano e distância: $355^{\circ}55'10,39''$ e $41,22$ m; até o vértice P1281, de coordenadas N $7733767,71$ m e E $396675,17$ m; deste, segue com os seguintes azimute plano e distância: $351^{\circ}27'46,14''$ e $55,61$ m; até o vértice P1282, de coordenadas N $7733822,71$ m e E $396666,91$ m; deste, segue com os seguintes azimute plano e distância: $349^{\circ}52'53,02''$ e $43,74$ m; até o vértice P1283, de coordenadas N $7733865,77$ m e E $396659,23$ m; deste, segue com os seguintes azimute plano e distância: $327^{\circ}30'35,06''$ e $28,42$ m; até o vértice P1284, de coordenadas N $7733889,74$ m e E $396643,96$ m; deste, segue com os seguintes azimute plano e distância: $243^{\circ}31'46,81''$ e $156,56$ m; até o vértice P1285, de coordenadas N $7733819,95$ m e E $396503,82$ m; deste, segue com os seguintes azimute plano e distância: $316^{\circ}12'0,22''$ e $59,18$ m; até o vértice P1286, de coordenadas N $7733862,66$ m e E $396462,86$ m; deste, segue com os seguintes azimute plano e distância: $320^{\circ}40'46,38''$ e $78,76$ m; até o vértice P1287, de coordenadas N $7733923,59$ m e E $396412,95$ m; deste, segue com os seguintes azimute plano e distância: $261^{\circ}12'12,09''$ e $188,37$ m; até o vértice P1288, de coordenadas N $7733894,79$ m e E $396226,80$ m; deste, segue com os seguintes azimute plano e distância: $214^{\circ}28'28,23''$ e $418,11$ m; até o vértice P1289, de coordenadas N $7733550,11$ m e E $395990,14$ m; deste, segue com os seguintes azimute plano e distância: $291^{\circ}13'19,04''$ e $206,14$ m; até o vértice P1290, de coordenadas N $7733624,73$ m e E $395797,97$ m; deste, segue com os seguintes azimute plano e distância: $318^{\circ}46'1,66''$ e $352,01$ m; até o vértice P1291, de coordenadas N $7733889,45$ m e E $395565,96$ m; deste, segue com os seguintes azimute plano e distância: $304^{\circ}07'1,06''$ e $164,90$ m; até o vértice P1292, de coordenadas N $7733981,94$ m e E $395429,44$ m; deste, segue com os seguintes azimute plano e distância: $284^{\circ}42'17,54''$ e $59,65$ m; até o vértice P1293, de coordenadas N $7733997,08$ m e E $395371,74$ m; deste, segue com os seguintes azimute plano e distância: $262^{\circ}30'42,28''$ e $97,32$ m; até o vértice P1294, de coordenadas N $7733984,40$ m e E $395275,25$ m; deste, segue com os seguintes azimute plano e distância: $265^{\circ}36'40,78''$ e $101,14$ m; até o vértice P1295, de coordenadas N $7733976,66$ m e E $395174,41$ m; deste, segue com os seguintes azimute plano e distância: $255^{\circ}30'27,44''$ e $101,07$ m; até o vértice P1296, de coordenadas N $7733951,37$ m e E $395076,56$ m; deste, segue com os seguintes azimute plano e distância: $254^{\circ}40'54,99''$ e $98,35$ m; até o vértice P1297, de coordenadas N $7733925,38$ m e E $394981,70$ m; deste, segue com os seguintes azimute plano e distância: $251^{\circ}25'50,75''$ e $129,68$ m; até o vértice P1298, de coordenadas N $7733884,09$ m e E $394858,77$ m; deste, segue com os seguintes azimute plano e distância: $234^{\circ}53'21,79''$ e $118,32$ m; até o vértice P1299, de coordenadas N $7733816,03$ m e E $394761,97$ m; deste, segue com os seguintes azimute plano e distância: $223^{\circ}46'59,37''$ e $68,89$ m; até o vértice P1300, de coordenadas N $7733766,29$ m e E $394714,31$ m; deste, segue com os seguintes azimute plano e distância: $242^{\circ}39'23,29''$ e $249,18$ m; até o vértice P1301, de coordenadas N $7733651,84$ m e E $394492,97$ m; deste, segue com os seguintes azimute plano e distância: $325^{\circ}17'20,09''$ e $62,17$ m; até o vértice P1302, de coordenadas N $7733702,94$ m e E $394457,57$ m; deste, segue com os seguintes azimute plano e distância: $229^{\circ}40'22,66''$ e $175,47$ m; até o vértice P1303, de coordenadas N $7733589,39$ m e E $394323,80$ m; deste, segue com os seguintes azimute plano e distância: $272^{\circ}10'23,93''$ e $73,79$ m; até o vértice P1304, de coordenadas N $7733592,19$ m e E $394250,06$ m; neste, segue com os seguintes azimute plano e distância: $161^{\circ}40'15,65''$ e $247,69$ m; até o vértice P1305, de coordenadas N $7733357,06$ m e E $394327,95$ m; este, segue com os seguintes azimute plano e distância: $126^{\circ}09'24,07''$ e $126,00$ m; até o vértice P1306, de coordenadas N $7733282,73$ m e E $394429,68$ m; este, segue com os seguintes azimute plano e distância: $127^{\circ}19'2,37''$ e $144,49$ m; até o vértice P1307, de coordenadas N $7733195,13$ m e E $394544,59$ m; este, segue com os seguintes azimute plano e distância: $187^{\circ}51'43,93''$ e $208,29$ m; até o vértice P1308, de coordenadas N $7732988,81$ m e E $394516,10$ m; este, segue com os seguintes azimute plano e distância: $188^{\circ}43'27,16''$ e $212,56$ m; até o vértice P1309, de coordenadas N $7732778,71$ m e E $394483,86$ m; este, segue com os seguintes azimute plano e distância: $299^{\circ}58'7,41''$ e $96,19$ m; até o vértice P1310, de coordenadas N $7732826,76$ m e E $394400,53$ m; este, segue com os seguintes azimute plano e distância: $233^{\circ}10'15,48''$ e $126,41$ m; até o vértice P1311, de coordenadas N $7732750,98$ m e E $394299,35$ m; este, segue com os seguintes azimute plano e distância: $230^{\circ}54'59,33''$ e $270,18$ m; até o vértice P1312, de coordenadas N $7732580,65$ m e E $394089,63$ m; este, segue com os seguintes azimute plano e distância: $237^{\circ}51'32,12''$ e $256,88$ m; até o vértice P1313, de coordenadas N $7732443,99$ m e E $393872,12$ m; este, segue com os seguintes azimute plano e distância: $208^{\circ}51'27,51''$ e $330,92$ m; até o vértice P1314, de coordenadas N $7732154,16$ m e E $393712,41$ m; este, segue com os seguintes azimute plano e distância: $228^{\circ}38'14,21''$ e $129,64$ m; até o vértice P1315, de coordenadas N $7732068,49$ m e E $393615,11$ m; este, segue com os seguintes azimute plano e distância: $158^{\circ}42'4,75''$ e $148,34$ m; até o vértice P1316, de coordenadas N $7731930,28$ m e E $393668,99$ m; este, segue com os seguintes azimute plano e distância: $109^{\circ}24'30,66''$ e $88,16$ m; até o vértice P1317, de coordenadas N $7731900,99$ m e E $393752,14$ m; este, segue com os seguintes azimute plano e distância: $126^{\circ}56'34,30''$ e $123,36$ m; até o vértice P1318, de coordenadas N $7731826,85$ m e E $393850,73$ m; este, segue com os seguintes azimute plano e distância: $185^{\circ}16'50,91''$ e $75,33$ m; até o vértice P1319, de coordenadas N $7731751,85$ m e E $393843,80$ m; este, segue com os seguintes azimute plano e distância: $208^{\circ}07'0,57''$ e $102,42$ m; até o vértice P1320, de coordenadas N $7731661,51$ m e E $393795,53$ m; este, segue com os seguintes azimute plano e distância: $216^{\circ}33'34,85''$ e $168,98$ m; até o vértice P1321, de coordenadas N $7731525,78$ m e E $393694,87$ m; este, segue com os seguintes azimute plano e distância: $184^{\circ}31'42,33''$ e $173,03$ m; até o vértice P1322, de coordenadas N $7731353,30$ m e E $393681,21$ m; este, segue com os seguintes azimute plano e distância: $170^{\circ}44'9,97''$ e $147,88$ m; até o vértice P1323, de coordenadas N $7731207,35$

m e E 393705,02 m; deste, segue com os seguintes azimute plano e distância: 157°57'25,66" e 199,44 m; até o vértice P1324, de coordenadas N 7731022,48 m e E 393779,87 m; deste, segue com os seguintes azimute plano e distância: 147°28'32,09" e 234,36 m; até o vértice P1325, de coordenadas N 7730824,88 m e E 393905,87 m; deste, segue com os seguintes azimute plano e distância: 51°19'0,13" e 230,21 m; até o vértice P1326, de coordenadas N 7730968,76 m e E 394085,57 m; deste, segue com os seguintes azimute plano e distância: 128°42'9,15" e 403,46 m; até o vértice P1327, de coordenadas N 7730716,49 m e E 394400,44 m; deste, segue com os seguintes azimute plano e distância: 200°08'19,18" e 107,87 m; até o vértice P1328, de coordenadas N 7730615,22 m e E 394363,30 m; deste, segue com os seguintes azimute plano e distância: 221°31'53,21" e 104,98 m; até o vértice P1329, de coordenadas N 7730536,63 m e E 394293,69 m; deste, segue com os seguintes azimute plano e distância: 179°14'50,83" e 31,35 m; até o vértice P1330, de coordenadas N 7730505,28 m e E 394294,10 m; deste, segue com os seguintes azimute plano e distância: 198°11'34,36" e 115,67 m; até o vértice P1331, de coordenadas N 7730395,39 m e E 394257,99 m; deste, segue com os seguintes azimute plano e distância: 189°25'32,00" e 86,86 m; até o vértice P1332, de coordenadas N 7730309,70 m e E 394243,76 m; deste, segue com os seguintes azimute plano e distância: 168°18'19,86" e 94,99 m; até o vértice P1333, de coordenadas N 7730216,69 m e E 394263,02 m; deste, segue com os seguintes azimute plano e distância: 180°55'32,11" e 83,71 m; até o vértice P1334, de coordenadas N 7730132,99 m e E 394261,67 m; deste, segue com os seguintes azimute plano e distância: 170°36'40,06" e 102,75 m; até o vértice P1335, de coordenadas N 7730031,62 m e E 394278,43 m; deste, segue com os seguintes azimute plano e distância: 122°20'40,40" e 158,78 m; até o vértice P1336, de coordenadas N 7729946,67 m e E 394412,57 m; deste, segue com os seguintes azimute plano e distância: 50°09'7,22" e 88,72 m; até o vértice P1337, de coordenadas N 7730003,52 m e E 394480,68 m; deste, segue com os seguintes azimute plano e distância: 53°50'58,44" e 115,71 m; até o vértice P1338, de coordenadas N 7730071,77 m e E 394574,12 m; deste, segue com os seguintes azimute plano e distância: 45°25'4,02" e 115,53 m; até o vértice P1339, de coordenadas N 7730152,87 m e E 394656,40 m; deste, segue com os seguintes azimute plano e distância: 45°51'9,35" e 69,38 m; até o vértice P1340, de coordenadas N 7730201,19 m e E 394706,19 m; deste, segue com os seguintes azimute plano e distância: 44°49'25,60" e 75,69 m; até o vértice P1341, de coordenadas N 7730254,88 m e E 394759,54 m; deste, segue com os seguintes azimute plano e distância: 87°18'46,25" e 121,66 m; até o vértice P1342, de coordenadas N 7730260,58 m e E 394881,07 m; deste, segue com os seguintes azimute plano e distância: 119°59'21,45" e 77,03 m; até o vértice P1343, de coordenadas N 7730222,08 m e E 394947,79 m; deste, segue com os seguintes azimute plano e distância: 129°42'47,11" e 57,20 m; até o vértice P1344, de coordenadas N 7730185,53 m e E 394991,80 m; deste, segue com os seguintes azimute plano e distância: 92°00'57,93" e 90,03 m; até o vértice P1345, de coordenadas N 7730182,36 m e E 395081,77 m; deste, segue com os seguintes azimute plano e distância: 73°36'41,56" e 15,78 m; até o vértice P1346, de coordenadas N 7730186,81 m e E 395096,90 m; deste, segue com os seguintes azimute plano e distância: 84°10'8,78" e 23,82 m; até o vértice P1347, de coordenadas N 7730189,23 m e E 395120,60 m; deste, segue com os seguintes azimute plano e distância: 56°19'32,29" e 31,62 m; até o vértice P1348, de coordenadas N 7730206,76 m e E 395146,91 m; deste, segue com os seguintes azimute plano e distância: 45°26'42,35" e 33,91 m; até o vértice P1349, de coordenadas N 7730230,55 m e E 395171,07 m; deste, segue com os seguintes azimute plano e distância: 71°02'20,14" e 41,37 m; até o vértice P1350, de coordenadas N 7730244,00 m e E 395210,20 m; deste, segue com os seguintes azimute plano e distância: 113°56'38,48" e 30,17 m; até o vértice P1351, de coordenadas N 7730231,75 m e E 395237,78 m; deste, segue com os seguintes azimute plano e distância: 105°38'9,63" e 22,09 m; até o vértice P1352, de coordenadas N 7730225,80 m e E 395259,05 m; deste, segue com os seguintes azimute plano e distância: 102°59'41,47" e 43,49 m; até o vértice P1353, de coordenadas N 7730216,02 m e E 395301,43 m; deste, segue com os seguintes azimute plano e distância: 144°15'57,08" e 25,38 m; até o vértice P1354, de coordenadas N 7730195,41 m e E 395316,25 m; deste, segue com os seguintes azimute plano e distância: 82°22'17,32" e 36,10 m; até o vértice P1355, de coordenadas N 7730200,21 m e E 395352,03 m; deste, segue com os seguintes azimute plano e distância: 91°31'45,71" e 48,16 m; até o vértice P1356, de coordenadas N 7730198,92 m e E 395400,17 m; deste, segue com os seguintes azimute plano e distância: 73°45'16,01" e 86,35 m; até o vértice P1357, de coordenadas N 7730223,08 m e E 395483,07 m; deste, segue com os seguintes azimute plano e distância: 42°45'55,13" e 54,10 m; até o vértice P1358, de coordenadas N 7730262,80 m e E 395519,80 m; deste, segue com os seguintes azimute plano e distância: 5°03'15,67" e 82,46 m; até o vértice P1359, de coordenadas N 7730344,94 m e E 395527,07 m; deste, segue com os seguintes azimute plano e distância: 340°51'16,37" e 38,56 m; até o vértice P1360, de coordenadas N 7730381,36 m e E 395514,42 m; deste, segue com os seguintes azimute plano e distância: 52°43'55,15" e 20,09 m; até o vértice P1361, de coordenadas N 7730393,53 m e E 395530,40 m; deste, segue com os seguintes azimute plano e distância: 44°27'38,20" e 44,84 m; até o vértice P1362, de coordenadas N 7730425,53 m e E 395561,81 m; deste, segue com os seguintes azimute plano e distância: 30°40'50,28" e 29,72 m; até o vértice P1363, de coordenadas N 7730451,09 m e E 395576,98 m; deste, segue com os seguintes azimute plano e distância: 351°27'53,87" e 45,49 m; até o vértice P1364, de coordenadas N 7730496,08 m e E 395570,23 m; deste, segue com os seguintes azimute plano e distância: 284°10'11,53" e 26,20 m; até o vértice P1365, de coordenadas N 7730502,50 m e E 395544,82 m; deste, segue com os seguintes azimute plano e distância: 287°34'40,65" e 62,66 m; até o vértice P1366, de coordenadas N 7730521,42 m e E 395485,09 m; deste, segue com os seguintes azimute plano e distância: 271°17'20,83" e 6,03 m; até o vértice P1367, de coordenadas N 7730521,56 m e E 395479,06 m; deste, segue com os seguintes azimute plano e distância: 312°48'18,44" e 41,49 m; até o vértice P1368, de coordenadas N 7730549,75 m e E 395448,62 m; deste, segue com os seguintes azimute plano e distância: 26°48'50,48" e 35,46 m; até o vértice P1369, de coordenadas N 7730581,39 m e E 395464,62 m; deste, segue com os seguintes azimute plano e distância: 57°54'26,88" e 70,19 m; até o vértice P1370, de coordenadas N 7730618,68 m e E 395524,08 m; deste, segue com os seguintes azimute plano e distância: 34°58'20,92" e 63,28 m; até o vértice P1371, de

coordenadas N 7730670,53 m e E 395560,35 m; deste, segue com os seguintes azimute plano e distância: 314°11'19,18" e 54,32 m; até o vértice P1372, de coordenadas N 7730708,40 m e E 395521,40 m; deste, segue com os seguintes azimute plano e distância: 306°20'32,01" e 22,03 m; até o vértice P1373, de coordenadas N 7730721,45 m e E 395503,65 m; deste, segue com os seguintes azimute plano e distância: 16°37'31,40" e 60,97 m; até o vértice P1374, de coordenadas N 7730779,87 m e E 395521,10 m; deste, segue com os seguintes azimute plano e distância: 340°00'6,46" e 58,03 m; até o vértice P1375, de coordenadas N 7730834,41 m e E 395501,25 m; deste, segue com os seguintes azimute plano e distância: 19°38'26,71" e 118,78 m; até o vértice P1376, de coordenadas N 7730946,28 m e E 395541,18 m; deste, segue com os seguintes azimute plano e distância: 36°06'42,94" e 153,15 m; até o vértice P1377, de coordenadas N 7731070,00 m e E 395631,44 m; deste, segue com os seguintes azimute plano e distância: 43°54'40,79" e 243,19 m; até o vértice P1378, de coordenadas N 7731245,20 m e E 395800,10 m; deste, segue com os seguintes azimute plano e distância: 28°02'26,68" e 177,69 m; até o vértice P1379, de coordenadas N 7731402,03 m e E 395883,63 m; deste, segue com os seguintes azimute plano e distância: 142°28'6,45" e 176,00 m; até o vértice P1380, de coordenadas N 7731262,46 m e E 395990,85 m; deste, segue com os seguintes azimute plano e distância: 71°48'44,56" e 124,70 m; até o vértice P1381, de coordenadas N 7731301,38 m e E 396109,32 m; deste, segue com os seguintes azimute plano e distância: 134°09'47,46" e 111,21 m; até o vértice P1382, de coordenadas N 7731223,90 m e E 396189,10 m; deste, segue com os seguintes azimute plano e distância: 108°02'23,71" e 75,08 m; até o vértice P1383, de coordenadas N 7731200,65 m e E 396260,48 m; deste, segue com os seguintes azimute plano e distância: 64°41'9,31" e 74,75 m; até o vértice P1384, de coordenadas N 7731232,61 m e E 396328,06 m; deste, segue com os seguintes azimute plano e distância: 129°13'6,37" e 87,38 m; até o vértice P1385, de coordenadas N 7731177,36 m e E 396395,76 m; deste, segue com os seguintes azimute plano e distância: 224°22'52,95" e 98,16 m; até o vértice P1386, de coordenadas N 7731107,21 m e E 396327,10 m; deste, segue com os seguintes azimute plano e distância: 223°19'30,76" e 73,08 m; até o vértice P1387, de coordenadas N 7731054,04 m e E 396276,96 m; deste, segue com os seguintes azimute plano e distância: 255°35'29,46" e 173,66 m; até o vértice P1388, de coordenadas N 7731010,83 m e E 396108,76 m; deste, segue com os seguintes azimute plano e distância: 213°27'51,57" e 95,90 m; até o vértice P1389, de coordenadas N 7730930,83 m e E 396055,88 m; deste, segue com os seguintes azimute plano e distância: 205°57'22,67" e 95,74 m; até o vértice P1390, de coordenadas N 7730844,75 m e E 396013,98 m; deste, segue com os seguintes azimute plano e distância: 113°23'28,85" e 92,90 m; até o vértice P1391, de coordenadas N 7730807,87 m e E 396099,24 m; deste, segue com os seguintes azimute plano e distância: 242°36'22,65" e 122,85 m; até o vértice P1392, de coordenadas N 7730751,35 m e E 395990,17 m; deste, segue com os seguintes azimute plano e distância: 162°05'29,70" e 155,66 m; até o vértice P1393, de coordenadas N 7730603,23 m e E 396038,03 m; deste, segue com os seguintes azimute plano e distância: 76°53'20,59" e 72,37 m; até o vértice P1394, de coordenadas N 7730619,65 m e E 396108,51 m; deste, segue com os seguintes azimute plano e distância: 105°51'5,92" e 25,39 m; até o vértice P1395, de coordenadas N 7730612,71 m e E 396132,94 m; deste, segue com os seguintes azimute plano e distância: 145°33'28,02" e 127,23 m; até o vértice P1396, de coordenadas N 7730507,78 m e E 396204,90 m; deste, segue com os seguintes azimute plano e distância: 113°35'50,28" e 145,17 m; até o vértice P1397, de coordenadas N 7730449,67 m e E 396337,93 m; deste, segue com os seguintes azimute plano e distância: 133°20'18,97" e 209,41 m; até o vértice P1398, de coordenadas N 7730305,95 m e E 396490,23 m; deste, segue com os seguintes azimute plano e distância: 183°20'54,60" e 384,17 m; até o vértice P1399, de coordenadas N 7729922,44 m e E 396467,79 m; deste, segue com os seguintes azimute plano e distância: 173°42'53,08" e 65,19 m; até o vértice P1400, de coordenadas N 7729857,64 m e E 396474,93 m; deste, segue com os seguintes azimute plano e distância: 137°16'10,65" e 57,36 m; até o vértice P1401, de coordenadas N 7729815,51 m e E 396513,85 m; deste, segue com os seguintes azimute plano e distância: 133°54'52,41" e 90,07 m; até o vértice P1402, de coordenadas N 7729753,04 m e E 396578,73 m; deste, segue com os seguintes azimute plano e distância: 158°08'54,60" e 41,96 m; até o vértice P1403, de coordenadas N 7729714,10 m e E 396594,35 m; deste, segue com os seguintes azimute plano e distância: 149°40'39,92" e 53,93 m; até o vértice P1404, de coordenadas N 7729667,55 m e E 396621,57 m; deste, segue com os seguintes azimute plano e distância: 213°36'42,25" e 303,86 m; até o vértice P1405, de coordenadas N 7729414,49 m e E 396453,37 m; deste, segue com os seguintes azimute plano e distância: 191°34'4,84" e 85,84 m; até o vértice P1406, de coordenadas N 7729330,40 m e E 396436,16 m; deste, segue com os seguintes azimute plano e distância: 112°35'48,50" e 59,19 m; até o vértice P1407, de coordenadas N 7729307,66 m e E 396490,80 m; deste, segue com os seguintes azimute plano e distância: 121°01'53,56" e 40,64 m; até o vértice P1408, de coordenadas N 7729286,71 m e E 396525,63 m; deste, segue com os seguintes azimute plano e distância: 142°43'6,51" e 47,44 m; até o vértice P1409, de coordenadas N 7729248,96 m e E 396554,37 m; deste, segue com os seguintes azimute plano e distância: 168°31'19,09" e 72,64 m; até o vértice P1410, de coordenadas N 7729177,77 m e E 396568,82 m; deste, segue com os seguintes azimute plano e distância: 77°49'38,42" e 134,85 m; até o vértice P1411, de coordenadas N 7729206,20 m e E 396700,64 m; deste, segue com os seguintes azimute plano e distância: 101°19'28,19" e 88,54 m; até o vértice P1412, de coordenadas N 7729188,82 m e E 396787,45 m; deste, segue com os seguintes azimute plano e distância: 83°42'5,96" e 90,18 m; até o vértice P1413, de coordenadas N 7729198,71 m e E 396877,08 m; deste, segue com os seguintes azimute plano e distância: 91°14'57,66" e 99,49 m; até o vértice P1414, de coordenadas N 7729196,54 m e E 396976,56 m; deste, segue com os seguintes azimute plano e distância: 183°03'41,54" e 107,23 m; até o vértice P1415, de coordenadas N 7729089,46 m e E 396970,83 m; deste, segue com os seguintes azimute plano e distância: 195°15'42,71" e 112,24 m; até o vértice P1416, de coordenadas N 7728981,19 m e E 396941,28 m; deste, segue com os seguintes azimute plano e distância: 227°55'38,10" e 68,92 m; até o vértice P1417, de coordenadas N 7728935,00 m e E 396890,12 m; deste, segue com os seguintes azimute plano e distância: 239°46'59,07" e 156,48 m; até o vértice P1418, de coordenadas N 7728856,25 m e E 396754,91 m; deste, segue com os seguintes azimute plano e distância: 239°14'43,70" e

183,98 m; até o vértice P1419, de coordenadas N 7728762,17 m e E 396596,80 m; deste, segue com os seguintes azimute plano e distância: 248°46'4,66" e 194,30 m; até o vértice P1420, de coordenadas N 7728691,81 m e E 396415,69 m; deste, segue com os seguintes azimute plano e distância: 256°51'11,67" e 198,22 m; até o vértice P1421, de coordenadas N 7728646,72 m e E 396222,66 m; deste, segue com os seguintes azimute plano e distância: 256°25'52,22" e 136,28 m; até o vértice P1422, de coordenadas N 7728614,75 m e E 396090,19 m; deste, segue com os seguintes azimute plano e distância: 254°50'53,41" e 118,09 m; até o vértice P1423, de coordenadas N 7728583,88 m e E 395976,21 m; deste, segue com os seguintes azimute plano e distância: 240°00'21,90" e 125,25 m; até o vértice P1424, de coordenadas N 7728521,27 m e E 395867,73 m; deste, segue com os seguintes azimute plano e distância: 227°26'7,60" e 131,92 m; até o vértice P1425, de coordenadas N 7728432,04 m e E 395770,57 m; deste, segue com os seguintes azimute plano e distância: 216°53'44,59" e 145,72 m; até o vértice P1426, de coordenadas N 7728315,50 m e E 395683,08 m; deste, segue com os seguintes azimute plano e distância: 155°28'54,60" e 50,10 m; até o vértice P1427, de coordenadas N 7728269,92 m e E 395703,88 m; deste, segue com os seguintes azimute plano e distância: 160°56'40,26" e 52,74 m; até o vértice P1428, de coordenadas N 7728220,07 m e E 395721,09 m; deste, segue com os seguintes azimute plano e distância: 129°36'46,86" e 39,06 m; até o vértice P1429, de coordenadas N 7728195,16 m e E 395751,19 m; deste, segue com os seguintes azimute plano e distância: 134°22'25,53" e 45,19 m; até o vértice P1430, de coordenadas N 7728163,56 m e E 395783,49 m; deste, segue com os seguintes azimute plano e distância: 144°48'39,20" e 91,08 m; até o vértice P1431, de coordenadas N 7728089,12 m e E 395835,98 m; deste, segue com os seguintes azimute plano e distância: 160°18'51,73" e 65,87 m; até o vértice P1432, de coordenadas N 7728027,10 m e E 395858,17 m; deste, segue com os seguintes azimute plano e distância: 197°02'45,04" e 43,63 m; até o vértice P1433, de coordenadas N 7727985,38 m e E 395845,38 m; deste, segue com os seguintes azimute plano e distância: 244°16'4,41" e 63,25 m; até o vértice P1434, de coordenadas N 7727957,92 m e E 395788,40 m; deste, segue com os seguintes azimute plano e distância: 134°57'22,07" e 91,69 m; até o vértice P1435, de coordenadas N 7727893,14 m e E 395853,28 m; deste, segue com os seguintes azimute plano e distância: 160°18'41,44" e 40,02 m; até o vértice P1436, de coordenadas N 7727855,46 m e E 395866,76 m; deste, segue com os seguintes azimute plano e distância: 113°05'52,74" e 32,51 m; até o vértice P1437, de coordenadas N 7727842,71 m e E 395896,67 m; deste, segue com os seguintes azimute plano e distância: 133°37'51,09" e 29,63 m; até o vértice P1438, de coordenadas N 7727822,26 m e E 395918,12 m; deste, segue com os seguintes azimute plano e distância: 140°26'50,09" e 39,60 m; até o vértice P1439, de coordenadas N 7727791,73 m e E 395943,33 m; deste, segue com os seguintes azimute plano e distância: 241°26'56,17" e 31,31 m; até o vértice P1440, de coordenadas N 7727776,77 m e E 395915,83 m; deste, segue com os seguintes azimute plano e distância: 259°45'26,46" e 19,01 m; até o vértice P1441, de coordenadas N 7727773,39 m e E 395897,12 m; deste, segue com os seguintes azimute plano e distância: 143°54'22,37" e 52,09 m; até o vértice P1442, de coordenadas N 7727731,30 m e E 395927,81 m; deste, segue com os seguintes azimute plano e distância: 159°07'29,08" e 59,35 m; até o vértice P1443, de coordenadas N 7727675,84 m e E 395948,96 m; deste, segue com os seguintes azimute plano e distância: 141°42'21,26" e 58,97 m; até o vértice P1444, de coordenadas N 7727629,56 m e E 395985,50 m; deste, segue com os seguintes azimute plano e distância: 133°34'46,46" e 49,72 m; até o vértice P1445, de coordenadas N 7727595,28 m e E 396021,52 m; deste, segue com os seguintes azimute plano e distância: 138°00'35,36" e 86,68 m; até o vértice P1446, de coordenadas N 7727530,85 m e E 396079,52 m; deste, segue com os seguintes azimute plano e distância: 136°50'18,46" e 52,44 m; até o vértice P1447, de coordenadas N 7727492,60 m e E 396115,39 m; deste, segue com os seguintes azimute plano e distância: 142°57'54,37" e 54,35 m; até o vértice P1448, de coordenadas N 7727449,21 m e E 396148,12 m; deste, segue com os seguintes azimute plano e distância: 153°12'37,89" e 73,34 m; até o vértice P1449, de coordenadas N 7727383,74 m e E 396181,18 m; deste, segue com os seguintes azimute plano e distância: 145°06'25,60" e 65,86 m; até o vértice P1450, de coordenadas N 7727329,72 m e E 396218,86 m; deste, segue com os seguintes azimute plano e distância: 122°05'58,67" e 105,73 m; até o vértice P1451, de coordenadas N 7727273,54 m e E 396308,43 m; deste, segue com os seguintes azimute plano e distância: 85°04'18,69" e 39,12 m; até o vértice P1452, de coordenadas N 7727276,90 m e E 396347,40 m; deste, segue com os seguintes azimute plano e distância: 94°03'0,84" e 20,88 m; até o vértice P1453, de coordenadas N 7727275,42 m e E 396368,23 m; deste, segue com os seguintes azimute plano e distância: 68°33'29,30" e 66,92 m; até o vértice P1454, de coordenadas N 7727299,89 m e E 396430,52 m; deste, segue com os seguintes azimute plano e distância: 39°28'16,89" e 42,29 m; até o vértice P1455, de coordenadas N 7727332,53 m e E 396457,41 m; deste, segue com os seguintes azimute plano e distância: 35°53'24,94" e 59,14 m; até o vértice P1456, de coordenadas N 7727380,44 m e E 396492,08 m; deste, segue com os seguintes azimute plano e distância: 57°00'42,75" e 52,70 m; até o vértice P1457, de coordenadas N 7727409,13 m e E 396536,28 m; deste, segue com os seguintes azimute plano e distância: 353°51'15,65" e 69,57 m; até o vértice P1458, de coordenadas N 7727478,30 m e E 396528,83 m; deste, segue com os seguintes azimute plano e distância: 356°57'54,21" e 65,61 m; até o vértice P1459, de coordenadas N 7727543,82 m e E 396525,36 m; deste, segue com os seguintes azimute plano e distância: 309°13'37,83" e 36,76 m; até o vértice P1460, de coordenadas N 7727567,07 m e E 396496,88 m; deste, segue com os seguintes azimute plano e distância: 22°19'41,51" e 37,58 m; até o vértice P1461, de coordenadas N 7727601,83 m e E 396511,16 m; deste, segue com os seguintes azimute plano e distância: 40°03'26,69" e 106,74 m; até o vértice P1462, de coordenadas N 7727683,53 m e E 396579,85 m; deste, segue com os seguintes azimute plano e distância: 346°47'35,94" e 28,10 m; até o vértice P1463, de coordenadas N 7727710,88 m e E 396573,43 m; deste, segue com os seguintes azimute plano e distância: 329°17'32,72" e 114,95 m; até o vértice P1464, de coordenadas N 7727809,71 m e E 396514,73 m; deste, segue com os seguintes azimute plano e distância: 68°21'3,02" e 138,70 m; até o vértice P1465, de coordenadas N 7727860,88 m e E 396643,65 m; deste, segue com os seguintes azimute plano e distância: 106°18'58,95" e 30,94 m; até o vértice P1466, de coordenadas N 7727852,19 m e E 396673,34 m; deste, segue com os

seguintes azimute plano e distância: $136^{\circ}39'1,13''$ e 81,78 m; até o vértice P1467, de coordenadas N 7727792,72 m e E 396729,48 m; deste, segue com os seguintes azimute plano e distância: $169^{\circ}37'44,27''$ e 59,02 m; até o vértice P1468, de coordenadas N 7727734,67 m e E 396740,11 m; deste, segue com os seguintes azimute plano e distância: $120^{\circ}12'37,35''$ e 61,13 m; até o vértice P1469, de coordenadas N 7727703,91 m e E 396792,93 m; deste, segue com os seguintes azimute plano e distância: $141^{\circ}54'53,99''$ e 107,46 m; até o vértice P1470, de coordenadas N 7727619,33 m e E 396859,22 m; deste, segue com os seguintes azimute plano e distância: $102^{\circ}17'30,50''$ e 55,10 m; até o vértice P1471, de coordenadas N 7727607,60 m e E 396913,05 m; deste, segue com os seguintes azimute plano e distância: $79^{\circ}06'27,98''$ e 74,48 m; até o vértice P1472, de coordenadas N 7727621,67 m e E 396986,19 m; deste, segue com os seguintes azimute plano e distância: $52^{\circ}56'3,83''$ e 124,65 m; até o vértice P1473, de coordenadas N 7727696,80 m e E 397085,66 m; deste, segue com os seguintes azimute plano e distância: $89^{\circ}34'20,64''$ e 64,56 m; até o vértice P1474, de coordenadas N 7727697,29 m e E 397150,21 m; deste, segue com os seguintes azimute plano e distância: $103^{\circ}25'51,47''$ e 122,35 m; até o vértice P1475, de coordenadas N 7727668,87 m e E 397269,21 m; deste, segue com os seguintes azimute plano e distância: $97^{\circ}07'35,35''$ e 109,18 m; até o vértice P1476, de coordenadas N 7727655,32 m e E 397377,55 m; deste, segue com os seguintes azimute plano e distância: $97^{\circ}24'5,26''$ e 103,41 m; até o vértice P1477, de coordenadas N 7727642,00 m e E 397480,10 m; deste, segue com os seguintes azimute plano e distância: $79^{\circ}21'24,80''$ e 257,35 m; até o vértice P1478, de coordenadas N 7727689,53 m e E 397733,02 m; deste, segue com os seguintes azimute plano e distância: $80^{\circ}37'24,29''$ e 95,55 m; até o vértice P1479, de coordenadas N 7727705,10 m e E 397827,30 m; deste, segue com os seguintes azimute plano e distância: $72^{\circ}37'23,54''$ e 200,31 m; até o vértice P1480, de coordenadas N 7727764,92 m e E 398018,46 m; deste, segue com os seguintes azimute plano e distância: $332^{\circ}27'3,15''$ e 149,10 m; até o vértice P1481, de coordenadas N 7727897,12 m e E 397949,50 m; deste, segue com os seguintes azimute plano e distância: $320^{\circ}24'57,00''$ e 99,10 m; até o vértice P1482, de coordenadas N 7727973,49 m e E 397886,36 m; deste, segue com os seguintes azimute plano e distância: $311^{\circ}23'39,83''$ e 174,98 m; até o vértice P1483, de coordenadas N 7728089,20 m e E 397755,09 m; deste, segue com os seguintes azimute plano e distância: $304^{\circ}34'1,72''$ e 208,12 m; até o vértice P1484, de coordenadas N 7728207,28 m e E 397583,71 m; deste, segue com os seguintes azimute plano e distância: $309^{\circ}04'43,42''$ e 143,10 m; até o vértice P1485, de coordenadas N 7728297,49 m e E 397472,63 m; deste, segue com os seguintes azimute plano e distância: $11^{\circ}05'59,46''$ e 125,14 m; até o vértice P1486, de coordenadas N 7728420,28 m e E 397496,72 m; deste, segue com os seguintes azimute plano e distância: $26^{\circ}13'23,50''$ e 107,13 m; até o vértice P1487, de coordenadas N 7728516,39 m e E 397544,06 m; deste, segue com os seguintes azimute plano e distância: $52^{\circ}05'29,23''$ e 134,19 m; até o vértice P1488, de coordenadas N 7728598,84 m e E 397649,93 m; deste, segue com os seguintes azimute plano e distância: $75^{\circ}39'22,59''$ e 57,11 m; até o vértice P1489, de coordenadas N 7728612,99 m e E 397705,26 m; deste, segue com os seguintes azimute plano e distância: $67^{\circ}22'29,74''$ e 96,77 m; até o vértice P1490, de coordenadas N 7728650,21 m e E 397794,58 m; deste, segue com os seguintes azimute plano e distância: $79^{\circ}29'59,15''$ e 84,65 m; até o vértice P1491, de coordenadas N 7728665,64 m e E 397877,81 m; deste, segue com os seguintes azimute plano e distância: $109^{\circ}48'9,93''$ e 87,08 m; até o vértice P1492, de coordenadas N 7728636,14 m e E 397959,74 m; deste, segue com os seguintes azimute plano e distância: $98^{\circ}16'10,82''$ e 77,63 m; até o vértice P1493, de coordenadas N 7728624,97 m e E 398036,57 m; deste, segue com os seguintes azimute plano e distância: $128^{\circ}55'18,82''$ e 55,63 m; até o vértice P1494, de coordenadas N 7728590,02 m e E 398079,85 m; deste, segue com os seguintes azimute plano e distância: $355^{\circ}02'18,39''$ e 191,96 m; até o vértice P1495, de coordenadas N 7728781,26 m e E 398063,25 m; deste, segue com os seguintes azimute plano e distância: $113^{\circ}55'17,96''$ e 317,82 m; até o vértice P1496, de coordenadas N 7728652,39 m e E 398353,78 m; deste, segue com os seguintes azimute plano e distância: $18^{\circ}03'14,31''$ e 37,06 m; até o vértice P1497, de coordenadas N 7728687,62 m e E 398365,26 m; deste, segue com os seguintes azimute plano e distância: $344^{\circ}41'39,30''$ e 57,57 m; até o vértice P1498, de coordenadas N 7728743,15 m e E 398350,06 m; deste, segue com os seguintes azimute plano e distância: $6^{\circ}41'19,39''$ e 94,46 m; até o vértice P1499, de coordenadas N 7728836,97 m e E 398361,07 m; deste, segue com os seguintes azimute plano e distância: $112^{\circ}33'18,78''$ e 82,38 m; até o vértice P1500, de coordenadas N 7728805,37 m e E 398437,15 m; deste, segue com os seguintes azimute plano e distância: $158^{\circ}40'6,66''$ e 231,96 m; até o vértice P1501, de coordenadas N 7728589,31 m e E 398521,52 m; deste, segue com os seguintes azimute plano e distância: $130^{\circ}32'29,31''$ e 31,25 m; até o vértice P1502, de coordenadas N 7728569,00 m e E 398545,27 m; deste, segue com os seguintes azimute plano e distância: $28^{\circ}42'28,62''$ e 60,37 m; até o vértice P1503, de coordenadas N 7728621,95 m e E 398574,27 m; deste, segue com os seguintes azimute plano e distância: $94^{\circ}51'52,09''$ e 94,64 m; até o vértice P1504, de coordenadas N 7728613,92 m e E 398668,57 m; deste, segue com os seguintes azimute plano e distância: $46^{\circ}35'27,41''$ e 124,67 m; até o vértice P1505, de coordenadas N 7728699,60 m e E 398759,14 m; deste, segue com os seguintes azimute plano e distância: $63^{\circ}05'33,56''$ e 52,63 m; até o vértice P1506, de coordenadas N 7728723,41 m e E 398806,07 m; deste, segue com os seguintes azimute plano e distância: $176^{\circ}13'20,47''$ e 102,69 m; até o vértice P1507, de coordenadas N 7728620,95 m e E 398812,83 m; deste, segue com os seguintes azimute plano e distância: $181^{\circ}21'37,94''$ e 90,84 m; até o vértice P1508, de coordenadas N 7728530,14 m e E 398810,67 m; deste, segue com os seguintes azimute plano e distância: $151^{\circ}36'26,86''$ e 62,98 m; até o vértice P1509, de coordenadas N 7728474,74 m e E 398840,62 m; deste, segue com os seguintes azimute plano e distância: $61^{\circ}21'59,87''$ e 86,84 m; até o vértice P1510, de coordenadas N 7728516,35 m e E 398916,84 m; deste, segue com os seguintes azimute plano e distância: $167^{\circ}48'22,87''$ e 101,69 m; até o vértice P1511, de coordenadas N 7728416,95 m e E 398938,32 m; deste, segue com os seguintes azimute plano e distância: $217^{\circ}19'6,98''$ e 129,65 m; até o vértice P1512, de coordenadas N 7728313,85 m e E 398859,72 m; deste, segue com os seguintes azimute plano e distância: $128^{\circ}37'8,54''$ e 185,85 m; até o vértice P1513, de coordenadas N 7728197,85 m e E 399004,93 m; deste, segue com os seguintes azimute plano e distância: $29^{\circ}12'36,18''$ e 202,21 m; até o vértice P1514, de coordenadas N 7728374,34

m e E 399103,60 m; deste, segue com os seguintes azimute plano e distância: 51°32'21,47" e 104,65 m; até o vértice P1515, de coordenadas N 7728439,43 m e E 399185,55 m; deste, segue com os seguintes azimute plano e distância: 41°24'35,09" e 180,93 m; até o vértice P1516, de coordenadas N 7728575,13 m e E 399305,22 m; deste, segue com os seguintes azimute plano e distância: 24°51'50,38" e 55,09 m; até o vértice P1517, de coordenadas N 7728625,11 m e E 399328,38 m; deste, segue com os seguintes azimute plano e distância: 26°13'58,70" e 144,25 m; até o vértice P1518, de coordenadas N 7728754,51 m e E 399392,15 m; deste, segue com os seguintes azimute plano e distância: 38°41'28,65" e 79,32 m; até o vértice P1519, de coordenadas N 7728816,42 m e E 399441,73 m; deste, segue com os seguintes azimute plano e distância: 98°34'24,20" e 74,58 m; até o vértice P1520, de coordenadas N 7728805,30 m e E 399515,48 m; deste, segue com os seguintes azimute plano e distância: 125°07'51,74" e 90,58 m; até o vértice P1521, de coordenadas N 7728753,18 m e E 399589,56 m; deste, segue com os seguintes azimute plano e distância: 146°09'5,18" e 101,74 m; até o vértice P1522, de coordenadas N 7728668,68 m e E 399646,23 m; deste, segue com os seguintes azimute plano e distância: 36°18'16,45" e 127,98 m; até o vértice P1523, de coordenadas N 7728771,82 m e E 399722,00 m; deste, segue com os seguintes azimute plano e distância: 29°45'5,71" e 128,82 m; até o vértice P1524, de coordenadas N 7728883,66 m e E 399785,93 m; deste, segue com os seguintes azimute plano e distância: 46°26'24,21" e 68,60 m; até o vértice P1525, de coordenadas N 7728930,93 m e E 399835,64 m; deste, segue com os seguintes azimute plano e distância: 23°26'55,24" e 152,66 m; até o vértice P1526, de coordenadas N 7729070,99 m e E 399896,38 m; deste, segue com os seguintes azimute plano e distância: 16°25'47,96" e 162,25 m; até o vértice P1527, de coordenadas N 7729226,61 m e E 399942,28 m; deste, segue com os seguintes azimute plano e distância: 4°40'8,68" e 164,70 m; até o vértice P1528, de coordenadas N 7729390,77 m e E 399955,68 m; deste, segue com os seguintes azimute plano e distância: 334°03'29,40" e 61,65 m; até o vértice P1529, de coordenadas N 7729446,21 m e E 399928,71 m; deste, segue com os seguintes azimute plano e distância: 37°34'17,73" e 33,48 m; até o vértice P1530, de coordenadas N 7729472,74 m e E 399949,12 m; deste, segue com os seguintes azimute plano e distância: 55°38'24,20" e 131,33 m; até o vértice P1531, de coordenadas N 7729546,86 m e E 400057,54 m; deste, segue com os seguintes azimute plano e distância: 68°41'23,56" e 148,16 m; até o vértice P1532, de coordenadas N 7729600,70 m e E 400195,57 m; deste, segue com os seguintes azimute plano e distância: 58°55'6,76" e 143,76 m; até o vértice P1533, de coordenadas N 7729674,92 m e E 400318,69 m; deste, segue com os seguintes azimute plano e distância: 61°18'46,16" e 210,52 m; até o vértice P1534, de coordenadas N 7729775,97 m e E 400503,36 m; deste, segue com os seguintes azimute plano e distância: 31°36'13,54" e 210,77 m; até o vértice P1535, de coordenadas N 7729955,49 m e E 400613,82 m; deste, segue com os seguintes azimute plano e distância: 306°25'56,15" e 114,16 m; até o vértice P1536, de coordenadas N 7730023,29 m e E 400521,96 m; deste, segue com os seguintes azimute plano e distância: 299°27'15,73" e 138,41 m; até o vértice P1537, de coordenadas N 7730091,35 m e E 400401,44 m; deste, segue com os seguintes azimute plano e distância: 282°51'0,24" e 272,59 m; até o vértice P1538, de coordenadas N 7730151,98 m e E 400135,68 m; deste, segue com os seguintes azimute plano e distância: 320°22'48,69" e 170,03 m; até o vértice P1539, de coordenadas N 7730282,95 m e E 400027,25 m; deste, segue com os seguintes azimute plano e distância: 317°43'59,36" e 151,60 m; até o vértice P1540, de coordenadas N 7730395,14 m e E 399925,28 m; deste, segue com os seguintes azimute plano e distância: 306°14'33,70" e 157,56 m; até o vértice P1541, de coordenadas N 7730488,29 m e E 399798,21 m; deste, segue com os seguintes azimute plano e distância: 359°32'19,95" e 113,02 m; até o vértice P1542, de coordenadas N 7730601,31 m e E 399797,30 m; deste, segue com os seguintes azimute plano e distância: 38°21'31,69" e 120,89 m; até o vértice P1543, de coordenadas N 7730696,11 m e E 399872,32 m; deste, segue com os seguintes azimute plano e distância: 92°14'42,81" e 132,79 m; até o vértice P1544, de coordenadas N 7730690,90 m e E 400005,00 m; deste, segue com os seguintes azimute plano e distância: 312°04'35,79" e 111,44 m; até o vértice P1545, de coordenadas N 7730765,58 m e E 399922,29 m; deste, segue com os seguintes azimute plano e distância: 276°50'49,00" e 197,40 m; até o vértice P1546, de coordenadas N 7730789,11 m e E 399726,30 m; deste, segue com os seguintes azimute plano e distância: 263°39'38,23" e 184,16 m; até o vértice P1547, de coordenadas N 7730768,78 m e E 399543,27 m; deste, segue com os seguintes azimute plano e distância: 308°01'56,70" e 121,06 m; até o vértice P1548, de coordenadas N 7730843,37 m e E 399447,91 m; deste, segue com os seguintes azimute plano e distância: 20°54'16,99" e 121,37 m; até o vértice P1549, de coordenadas N 7730956,75 m e E 399491,22 m; deste, segue com os seguintes azimute plano e distância: 63°06'23,34" e 141,06 m; até o vértice P1550, de coordenadas N 7731020,56 m e E 399617,03 m; deste, segue com os seguintes azimute plano e distância: 54°52'24,42" e 176,63 m; até o vértice P1551, de coordenadas N 7731122,19 m e E 399761,49 m; deste, segue com os seguintes azimute plano e distância: 30°15'51,80" e 160,71 m; até o vértice P1552, de coordenadas N 7731260,99 m e E 399842,48 m; deste, segue com os seguintes azimute plano e distância: 78°17'23,12" e 128,80 m; até o vértice P1553, de coordenadas N 7731287,13 m e E 399968,60 m; deste, segue com os seguintes azimute plano e distância: 169°10'25,52" e 210,64 m; até o vértice P1554, de coordenadas N 7731080,24 m e E 400008,16 m; deste, segue com os seguintes azimute plano e distância: 37°16'27,92" e 103,21 m; até o vértice P1555, de coordenadas N 7731162,37 m e E 400070,67 m; deste, segue com os seguintes azimute plano e distância: 151°45'8,13" e 149,03 m; até o vértice P1556, de coordenadas N 7731031,08 m e E 400141,20 m; deste, segue com os seguintes azimute plano e distância: 118°26'32,01" e 64,95 m; até o vértice P1557, de coordenadas N 7731000,15 m e E 400198,31 m; deste, segue com os seguintes azimute plano e distância: 59°13'23,41" e 124,38 m; até o vértice P1558, de coordenadas N 7731063,79 m e E 400305,17 m; deste, segue com os seguintes azimute plano e distância: 123°45'37,13" e 145,13 m; até o vértice P1559, de coordenadas N 7730983,14 m e E 400425,83 m; deste, segue com os seguintes azimute plano e distância: 165°02'12,48" e 226,99 m; até o vértice P1560, de coordenadas N 7730763,85 m e E 400484,43 m; deste, segue com os seguintes azimute plano e distância: 39°48'49,60" e 156,34 m; até o vértice P1561, de coordenadas N 7730883,94 m e E 400584,54 m; deste, segue com os seguintes azimute plano e distância: 354°36'40,82" e 220,59 m; até o vértice P1562,

de coordenadas N 7731103,55 m e E 400563,82 m; deste, segue com os seguintes azimute plano e distância: 320°42'58,55" e 161,18 m; até o vértice P1563, de coordenadas N 7731228,31 m e E 400461,77 m; deste, segue com os seguintes azimute plano e distância: 297°09'18,24" e 135,46 m; até o vértice P1564, de coordenadas N 7731290,14 m e E 400341,24 m; deste, segue com os seguintes azimute plano e distância: 310°43'8,30" e 209,80 m; até o vértice P1565, de coordenadas N 7731427,00 m e E 400182,23 m; deste, segue com os seguintes azimute plano e distância: 291°47'59,43" e 116,03 m; até o vértice P1566, de coordenadas N 7731470,09 m e E 400074,49 m; deste, segue com os seguintes azimute plano e distância: 302°24'57,02" e 142,88 m; até o vértice P1567, de coordenadas N 7731546,68 m e E 399953,88 m; deste, segue com os seguintes azimute plano e distância: 39°41'16,75" e 254,68 m; até o vértice P1568, de coordenadas N 7731742,67 m e E 400116,52 m; deste, segue com os seguintes azimute plano e distância: 9°53'53,06" e 280,90 m; até o vértice P1569, de coordenadas N 7732019,39 m e E 400164,81 m; deste, segue com os seguintes azimute plano e distância: 33°72'50,60" e 158,25 m; até o vértice P1570, de coordenadas N 7732165,54 m e E 400104,11 m; deste, segue com os seguintes azimute plano e distância: 305°55'8,55" e 153,13 m; até o vértice P1571, de coordenadas N 7732255,37 m e E 399980,11 m; deste, segue com os seguintes azimute plano e distância: 300°00'18,38" e 81,79 m; até o vértice P1572, de coordenadas N 7732296,26 m e E 399909,28 m; deste, segue com os seguintes azimute plano e distância: 285°27'51,17" e 67,61 m; até o vértice P1573, de coordenadas N 7732314,29 m e E 399844,12 m; deste, segue com os seguintes azimute plano e distância: 277°08'48,36" e 86,85 m; até o vértice P1574, de coordenadas N 7732325,10 m e E 399757,94 m; deste, segue com os seguintes azimute plano e distância: 300°36'49,79" e 67,83 m; até o vértice P1575, de coordenadas N 7732359,64 m e E 399699,57 m; deste, segue com os seguintes azimute plano e distância: 279°12'56,62" e 104,07 m; até o vértice P1576, de coordenadas N 7732376,30 m e E 399596,84 m; deste, segue com os seguintes azimute plano e distância: 263°07'41,80" e 142,60 m; até o vértice P1577, de coordenadas N 7732359,24 m e E 399455,27 m; deste, segue com os seguintes azimute plano e distância: 326°49'22,81" e 120,21 m; até o vértice P1578, de coordenadas N 7732459,86 m e E 399389,49 m; deste, segue com os seguintes azimute plano e distância: 349°49'48,11" e 196,29 m; até o vértice P1579, de coordenadas N 7732653,07 m e E 399354,83 m; deste, segue com os seguintes azimute plano e distância: 1°41'20,17" e 203,86 m; até o vértice P1580, de coordenadas N 7732856,84 m e E 399360,84 m; deste, segue com os seguintes azimute plano e distância: 34°46'31,71" e 285,18 m; até o vértice P1581, de coordenadas N 7733091,09 m e E 399523,49 m; deste, segue com os seguintes azimute plano e distância: 76°31'9,83" e 335,36 m; até o vértice P1582, de coordenadas N 7733169,26 m e E 399849,61 m; deste, segue com os seguintes azimute plano e distância: 123°46'53,62" e 349,97 m; até o vértice P1583, de coordenadas N 7732974,67 m e E 400140,49 m; deste, segue com os seguintes azimute plano e distância: 128°01'50,81" e 164,56 m; até o vértice P1584, de coordenadas N 7732873,29 m e E 400270,11 m; deste, segue com os seguintes azimute plano e distância: 359°43'40,49" e 98,49 m; até o vértice P1585, de coordenadas N 7732971,78 m e E 400269,65 m; deste, segue com os seguintes azimute plano e distância: 46°36'57,21" e 80,71 m; até o vértice P1586, de coordenadas N 7733027,22 m e E 400328,30 m; deste, segue com os seguintes azimute plano e distância: 52°35'34,74" e 91,21 m; até o vértice P1587, de coordenadas N 7733082,62 m e E 400400,75 m; deste, segue com os seguintes azimute plano e distância: 142°50'12,32" e 203,74 m; até o vértice P1588, de coordenadas N 7732920,26 m e E 400523,83 m; deste, segue com os seguintes azimute plano e distância: 9°54'41,05" e 140,42 m; até o vértice P1589, de coordenadas N 7733058,58 m e E 400548,00 m; deste, segue com os seguintes azimute plano e distância: 2°12'44,52" e 130,71 m; até o vértice P1590, de coordenadas N 7733189,20 m e E 400553,04 m; deste, segue com os seguintes azimute plano e distância: 79°55'13,00" e 126,11 m; até o vértice P1591, de coordenadas N 7733211,27 m e E 400677,21 m; deste, segue com os seguintes azimute plano e distância: 143°27'27,21" e 188,63 m; até o vértice P1592, de coordenadas N 7733059,72 m e E 400789,52 m; deste, segue com os seguintes azimute plano e distância: 141°50'42,44" e 185,99 m; até o vértice P1593, de coordenadas N 7732913,47 m e E 400904,42 m; deste, segue com os seguintes azimute plano e distância: 119°12'34,96" e 77,90 m; até o vértice P1594, de coordenadas N 7732875,45 m e E 400972,42 m; deste, segue com os seguintes azimute plano e distância: 53°16'19,68" e 199,97 m; até o vértice P1595, de coordenadas N 7732995,03 m e E 401132,70 m; deste, segue com os seguintes azimute plano e distância: 44°41'59,79" e 37,29 m; até o vértice P1596, de coordenadas N 7733021,54 m e E 401158,92 m; deste, segue com os seguintes azimute plano e distância: 80°42'33,78" e 85,65 m; até o vértice P1597, de coordenadas N 7733035,36 m e E 401243,44 m; deste, segue com os seguintes azimute plano e distância: 95°50'29,65" e 119,74 m; até o vértice P1598, de coordenadas N 7733023,18 m e E 401362,56 m; deste, segue com os seguintes azimute plano e distância: 37°10'29,34" e 99,60 m; até o vértice P1599, de coordenadas N 7733102,54 m e E 401422,74 m; deste, segue com os seguintes azimute plano e distância: 27°19'17,59" e 124,81 m; até o vértice P1600, de coordenadas N 7733213,43 m e E 401480,03 m; deste, segue com os seguintes azimute plano e distância: 357°40'33,18" e 81,55 m; até o vértice P1601, de coordenadas N 7733294,90 m e E 401476,72 m; deste, segue com os seguintes azimute plano e distância: 1°45'18,79" e 68,40 m; até o vértice P1602, de coordenadas N 7733363,28 m e E 401478,82 m; deste, segue com os seguintes azimute plano e distância: 315°27'5,24" e 98,84 m; até o vértice P1603, de coordenadas N 7733433,71 m e E 401409,48 m; deste, segue com os seguintes azimute plano e distância: 357°40'42,85" e 81,54 m; até o vértice P1604, de coordenadas N 7733515,18 m e E 401406,18 m; deste, segue com os seguintes azimute plano e distância: 331°29'49,80" e 61,87 m; até o vértice P1605, de coordenadas N 7733569,56 m e E 401376,65 m; deste, segue com os seguintes azimute plano e distância: 47°32'20,30" e 188,62 m; até o vértice P1606, de coordenadas N 7733696,89 m e E 401515,81 m; deste, segue com os seguintes azimute plano e distância: 68°47'43,77" e 59,38 m; até o vértice P1607, de coordenadas N 7733718,37 m e E 401571,17 m; deste, segue com os seguintes azimute plano e distância: 0°58'27,71" e 105,18 m; até o vértice P1608, de coordenadas N 7733823,54 m e E 401572,96 m; deste, segue com os seguintes azimute plano e distância: 16°29'12,73" e 90,70 m; até o vértice P1609, de coordenadas N 7733910,50 m e E 401598,69 m; deste, segue com os seguintes azimute plano e distância: 335°15'49,09" e

83,64 m; até o vértice P1610, de coordenadas N 7733986,47 m e E 401563,70 m; deste, segue com os seguintes azimute plano e distância: 356°04'50,27" e 131,71 m; até o vértice P1611, de coordenadas N 7734117,87 m e E 401554,69 m; deste, segue com os seguintes azimute plano e distância: 311°59'5,95" e 89,60 m; até o vértice P1612, de coordenadas N 7734177,81 m e E 401488,09 m; deste, segue com os seguintes azimute plano e distância: 290°58'2,65" e 107,98 m; até o vértice P1613, de coordenadas N 7734216,45 m e E 401387,26 m; deste, segue com os seguintes azimute plano e distância: 261°53'22,42" e 98,74 m; até o vértice P1614, de coordenadas N 7734202,52 m e E 401289,50 m; deste, segue com os seguintes azimute plano e distância: 312°31'18,56" e 57,85 m; até o vértice P1615, de coordenadas N 7734241,61 m e E 401246,87 m; deste, segue com os seguintes azimute plano e distância: 272°53'11,89" e 90,08 m; até o vértice P1616, de coordenadas N 7734246,15 m e E 401156,90 m; deste, segue com os seguintes azimute plano e distância: 278°34'41,18" e 66,96 m; até o vértice P1617, de coordenadas N 7734256,14 m e E 401090,69 m; deste, segue com os seguintes azimute plano e distância: 252°12'10,53" e 97,01 m; até o vértice P1618, de coordenadas N 7734226,49 m e E 400998,31 m; deste, segue com os seguintes azimute plano e distância: 286°58'12,78" e 105,37 m; até o vértice P1619, de coordenadas N 7734257,24 m e E 400897,53 m; deste, segue com os seguintes azimute plano e distância: 43°05'56,44" e 130,58 m; até o vértice P1620, de coordenadas N 7734352,59 m e E 400986,75 m; deste, segue com os seguintes azimute plano e distância: 356°13'50,96" e 137,76 m; até o vértice P1621, de coordenadas N 7734490,05 m e E 400977,69 m; deste, segue com os seguintes azimute plano e distância: 63°06'20,69" e 35,45 m; até o vértice P1622, de coordenadas N 7734506,09 m e E 401009,31 m; deste, segue com os seguintes azimute plano e distância: 59°18'17,97" e 88,80 m; até o vértice P1623, de coordenadas N 7734551,42 m e E 401085,67 m; deste, segue com os seguintes azimute plano e distância: 34°58'10,67" e 132,30 m; até o vértice P1624, de coordenadas N 7734659,83 m e E 401161,50 m; deste, segue com os seguintes azimute plano e distância: 17°43'24,74" e 124,32 m; até o vértice P1625, de coordenadas N 7734778,26 m e E 401199,35 m; deste, segue com os seguintes azimute plano e distância: 51°02'37,74" e 118,30 m; até o vértice P1626, de coordenadas N 7734852,63 m e E 401291,34 m; deste, segue com os seguintes azimute plano e distância: 44°01'51,75" e 158,49 m; até o vértice P1627, de coordenadas N 7734966,58 m e E 401401,50 m; deste, segue com os seguintes azimute plano e distância: 84°47'44,83" e 63,71 m; até o vértice P1628, de coordenadas N 7734972,36 m e E 401464,95 m; deste, segue com os seguintes azimute plano e distância: 11°51'33,89" e 61,89 m; até o vértice P1629, de coordenadas N 7735032,93 m e E 401477,67 m; deste, segue com os seguintes azimute plano e distância: 57°41'0,85" e 149,46 m; até o vértice P1630, de coordenadas N 7735112,83 m e E 401603,98 m; deste, segue com os seguintes azimute plano e distância: 38°47'46,05" e 108,67 m; até o vértice P1631, de coordenadas N 7735197,52 m e E 401672,07 m; deste, segue com os seguintes azimute plano e distância: 123°39'43,97" e 70,30 m; até o vértice P1632, de coordenadas N 7735158,55 m e E 401730,58 m; deste, segue com os seguintes azimute plano e distância: 128°27'49,39" e 54,40 m; até o vértice P1633, de coordenadas N 7735124,72 m e E 401773,18 m; deste, segue com os seguintes azimute plano e distância: 144°09'32,64" e 109,65 m; até o vértice P1634, de coordenadas N 7735035,83 m e E 401837,38 m; deste, segue com os seguintes azimute plano e distância: 136°51'42,35" e 85,84 m; até o vértice P1635, de coordenadas N 7734973,19 m e E 401896,08 m; deste, segue com os seguintes azimute plano e distância: 149°55'22,10" e 139,15 m; até o vértice P1636, de coordenadas N 7734852,78 m e E 401965,81 m; deste, segue com os seguintes azimute plano e distância: 119°52'35,25" e 52,10 m; até o vértice P1637, de coordenadas N 7734826,83 m e E 402010,99 m; deste, segue com os seguintes azimute plano e distância: 51°40'9,09" e 77,06 m; até o vértice P1638, de coordenadas N 7734874,62 m e E 402071,43 m; deste, segue com os seguintes azimute plano e distância: 359°32'8,29" e 81,52 m; até o vértice P1639, de coordenadas N 7734956,13 m e E 402070,77 m; deste, segue com os seguintes azimute plano e distância: 330°20'11,43" e 81,34 m; até o vértice P1640, de coordenadas N 7735026,81 m e E 402030,52 m; deste, segue com os seguintes azimute plano e distância: 6°29'10,93" e 87,42 m; até o vértice P1641, de coordenadas N 7735113,67 m e E 402040,39 m; deste, segue com os seguintes azimute plano e distância: 38°21'43,20" e 50,64 m; até o vértice P1642, de coordenadas N 7735153,37 m e E 402071,82 m; deste, segue com os seguintes azimute plano e distância: 57°04'12,91" e 78,39 m; até o vértice P1643, de coordenadas N 7735195,98 m e E 402137,61 m; deste, segue com os seguintes azimute plano e distância: 30°44'22,61" e 219,56 m; até o vértice P1644, de coordenadas N 7735384,69 m e E 402249,84 m; deste, segue com os seguintes azimute plano e distância: 34°40'40,56" e 128,65 m; até o vértice P1645, de coordenadas N 7735490,49 m e E 402323,03 m; deste, segue com os seguintes azimute plano e distância: 35°32'17,68" e 116,99 m; até o vértice P1646, de coordenadas N 7735585,69 m e E 402391,03 m; deste, segue com os seguintes azimute plano e distância: 21°54'40,81" e 62,54 m; até o vértice P1647, de coordenadas N 7735643,71 m e E 402414,37 m; deste, segue com os seguintes azimute plano e distância: 344°42'39,97" e 51,67 m; até o vértice P1648, de coordenadas N 7735693,55 m e E 402400,74 m; deste, segue com os seguintes azimute plano e distância: 317°44'9,88" e 63,48 m; até o vértice P1649, de coordenadas N 7735740,53 m e E 402358,05 m; deste, segue com os seguintes azimute plano e distância: 315°27'8,28" e 98,85 m; até o vértice P1650, de coordenadas N 7735810,98 m e E 402288,71 m; deste, segue com os seguintes azimute plano e distância: 290°40'40,31" e 51,04 m; até o vértice P1651, de coordenadas N 7735829,00 m e E 402240,96 m; deste, segue com os seguintes azimute plano e distância: 269°32'11,07" e 95,21 m; até o vértice P1652, de coordenadas N 7735828,23 m e E 402145,75 m; deste, segue com os seguintes azimute plano e distância: 244°59'5,05" e 107,59 m; até o vértice P1653, de coordenadas N 7735782,73 m e E 402048,25 m; deste, segue com os seguintes azimute plano e distância: 306°56'1,55" e 43,29 m; até o vértice P1654, de coordenadas N 7735808,74 m e E 402013,65 m; deste, segue com os seguintes azimute plano e distância: 308°38'47,08" e 112,52 m; até o vértice P1655, de coordenadas N 7735879,01 m e E 401925,77 m; deste, segue com os seguintes azimute plano e distância: 303°52'51,47" e 102,54 m; até o vértice P1656, de coordenadas N 7735936,18 m e E 401840,64 m; deste, segue com os seguintes azimute plano e distância: 28°17'42,84" e 66,00 m; até o vértice P1657, de coordenadas N 7735994,29 m e E 401871,92 m; deste, segue com os seguintes

azimute plano e distância: $266^{\circ}57'4,77''$ e **58,26 m**; até o vértice P1658, de coordenadas N 7735991,19 m e E 401813,75 m; deste, segue com os seguintes azimute plano e distância: $324^{\circ}23'29,52''$ e **32,16 m**; até o vértice P1659, de coordenadas N 7736017,34 m e E 401795,03 m; deste, segue com os seguintes azimute plano e distância: $18^{\circ}05'4,35''$ e **116,49 m**; até o vértice P1660, de coordenadas N 7736128,07 m e E 401831,19 m; deste, segue com os seguintes azimute plano e distância: $25^{\circ}37'14,65''$ e **108,32 m**; até o vértice P1661, de coordenadas N 7736225,74 m e E 401878,03 m; deste, segue com os seguintes azimute plano e distância: $27^{\circ}59'16,05''$ e **116,62 m**; até o vértice P1662, de coordenadas N 7736328,72 m e E 401932,75 m; deste, segue com os seguintes azimute plano e distância: $35^{\circ}43'27,12''$ e **71,67 m**; até o vértice P1663, de coordenadas N 7736386,90 m e E 401974,60 m; deste, segue com os seguintes azimute plano e distância: $54^{\circ}31'11,89''$ e **142,09 m**; até o vértice P1664, de coordenadas N 7736469,38 m e E 402090,30 m; deste, segue com os seguintes azimute plano e distância: $122^{\circ}46'33,81''$ e **139,14 m**; até o vértice P1665, de coordenadas N 7736394,05 m e E 402207,30 m; deste, segue com os seguintes azimute plano e distância: $124^{\circ}22'26,46''$ e **64,45 m**; até o vértice P1666, de coordenadas N 7736357,66 m e E 402260,49 m; deste, segue com os seguintes azimute plano e distância: $137^{\circ}52'33,70''$ e **91,51 m**; até o vértice P1667, de coordenadas N 7736289,79 m e E 402321,87 m; deste, segue com os seguintes azimute plano e distância: $44^{\circ}42'7,26''$ e **89,54 m**; até o vértice P1668, de coordenadas N 7736353,43 m e E 402384,86 m; deste, segue com os seguintes azimute plano e distância: $42^{\circ}12'48,99''$ e **128,80 m**; até o vértice P1669, de coordenadas N 7736448,82 m e E 402471,40 m; deste, segue com os seguintes azimute plano e distância: $63^{\circ}06'41,26''$ e **53,17 m**; até o vértice P1670, de coordenadas N 7736472,87 m e E 402518,82 m; deste, segue com os seguintes azimute plano e distância: $83^{\circ}40'28,86''$ e **154,21 m**; até o vértice P1671, de coordenadas N 7736489,86 m e E 402672,09 m; deste, segue com os seguintes azimute plano e distância: $93^{\circ}48'48,30''$ e **106,08 m**; até o vértice P1672, de coordenadas N 7736482,80 m e E 402777,94 m; deste, segue com os seguintes azimute plano e distância: $70^{\circ}33'5,72''$ e **171,67 m**; até o vértice P1673, de coordenadas N 7736539,96 m e E 402939,81 m; deste, segue com os seguintes azimute plano e distância: $41^{\circ}07'46,20''$ e **124,86 m**; até o vértice P1674, de coordenadas N 7736634,01 m e E 403021,93 m; deste, segue com os seguintes azimute plano e distância: $356^{\circ}55'14,80''$ e **241,95 m**; até o vértice P1675, de coordenadas N 7736875,61 m e E 403008,94 m; deste, segue com os seguintes azimute plano e distância: $68^{\circ}36'43,25''$ e **153,81 m**; até o vértice P1676, de coordenadas N 7736931,70 m e E 403152,16 m; deste, segue com os seguintes azimute plano e distância: $63^{\circ}06'25,93''$ e **172,78 m**; até o vértice P1677, de coordenadas N 7737009,85 m e E 403306,26 m; deste, segue com os seguintes azimute plano e distância: $39^{\circ}48'20,19''$ e **136,80 m**; até o vértice P1678, de coordenadas N 7737114,95 m e E 403393,84 m; deste, segue com os seguintes azimute plano e distância: $355^{\circ}25'46,70''$ e **77,11 m**; até o vértice P1679, de coordenadas N 7737191,81 m e E 403387,69 m; deste, segue com os seguintes azimute plano e distância: $335^{\circ}59'20,08''$ e **179,79 m**; até o vértice P1680, de coordenadas N 7737356,05 m e E 403314,53 m; deste, segue com os seguintes azimute plano e distância: $292^{\circ}54'19,90''$ e **168,56 m**; até o vértice P1681, de coordenadas N 7737421,65 m e E 403159,27 m; deste, segue com os seguintes azimute plano e distância: $317^{\circ}56'48,60''$ e **124,88 m**; até o vértice P1682, de coordenadas N 7737514,38 m e E 403075,62 m; deste, segue com os seguintes azimute plano e distância: $319^{\circ}33'57,63''$ e **129,04 m**; até o vértice P1683, de coordenadas N 7737612,59 m e E 402991,93 m; deste, segue com os seguintes azimute plano e distância: $316^{\circ}13'14,06''$ e **120,83 m**; até o vértice P1684, de coordenadas N 7737699,83 m e E 402908,33 m; deste, segue com os seguintes azimute plano e distância: $286^{\circ}08'33,49''$ e **173,01 m**; até o vértice P1685, de coordenadas N 7737747,93 m e E 402742,14 m; deste, segue com os seguintes azimute plano e distância: $300^{\circ}21'7,20''$ e **128,69 m**; até o vértice P1686, de coordenadas N 7737812,97 m e E 402631,09 m; deste, segue com os seguintes azimute plano e distância: $35^{\circ}14'21,24''$ e **94,72 m**; até o vértice P1687, de coordenadas N 7737890,33 m e E 402685,74 m; deste, segue com os seguintes azimute plano e distância: $17^{\circ}17'18,12''$ e **126,90 m**; até o vértice P1688, de coordenadas N 7738011,50 m e E 402723,46 m; deste, segue com os seguintes azimute plano e distância: $357^{\circ}33'18,82''$ e **159,40 m**; até o vértice P1689, de coordenadas N 7738170,76 m e E 402716,66 m; deste, segue com os seguintes azimute plano e distância: $315^{\circ}42'30,11''$ e **143,62 m**; até o vértice P1690, de coordenadas N 7738273,56 m e E 402616,36 m; deste, segue com os seguintes azimute plano e distância: $341^{\circ}00'28,88''$ e **121,68 m**; até o vértice P1691, de coordenadas N 7738388,62 m e E 402576,76 m; deste, segue com os seguintes azimute plano e distância: $351^{\circ}35'0,61''$ e **199,67 m**; até o vértice P1692, de coordenadas N 7738586,14 m e E 402547,54 m; deste, segue com os seguintes azimute plano e distância: $355^{\circ}56'44,12''$ e **176,15 m**; até o vértice P1693, de coordenadas N 7738761,85 m e E 402535,08 m; deste, segue com os seguintes azimute plano e distância: $322^{\circ}30'1,94''$ e **82,57 m**; até o vértice P1694, de coordenadas N 7738827,35 m e E 402484,82 m; deste, segue com os seguintes azimute plano e distância: $329^{\circ}38'26,39''$ e **177,40 m**; até o vértice P1695, de coordenadas N 7738980,43 m e E 402395,16 m; deste, segue com os seguintes azimute plano e distância: $313^{\circ}01'26,07''$ e **167,61 m**; até o vértice P1696, de coordenadas N 7739094,79 m e E 402272,63 m; deste, segue com os seguintes azimute plano e distância: $46^{\circ}49'41,50''$ e **105,29 m**; até o vértice P1697, de coordenadas N 7739166,82 m e E 402349,41 m; deste, segue com os seguintes azimute plano e distância: $53^{\circ}03'51,84''$ e **267,98 m**; até o vértice P1698, de coordenadas N 7739327,86 m e E 402563,61 m; deste, segue com os seguintes azimute plano e distância: $55^{\circ}37'9,45''$ e **226,42 m**; até o vértice P1699, de coordenadas N 7739455,72 m e E 402750,48 m; deste, segue com os seguintes azimute plano e distância: $44^{\circ}40'40,89''$ e **281,30 m**; até o vértice P1700, de coordenadas N 7739655,74 m e E 402948,27 m; deste, segue com os seguintes azimute plano e distância: $24^{\circ}11'16,67''$ e **237,60 m**; até o vértice P1701, de coordenadas N 7739872,48 m e E 403045,62 m; deste, segue com os seguintes azimute plano e distância: $47^{\circ}32'6,36''$ e **377,24 m**; até o vértice P1702, de coordenadas N 7740127,17 m e E 403323,91 m; deste, segue com os seguintes azimute plano e distância: $61^{\circ}12'32,78''$ e **268,96 m**; até o vértice P1703, de coordenadas N 7740256,70 m e E 403559,62 m; deste, segue com os seguintes azimute plano e distância: $39^{\circ}53'16,32''$ e **344,97 m**; até o vértice P1704, de coordenadas N 7740521,40 m e E 403780,84 m; deste, segue com os seguintes azimute plano e distância: $31^{\circ}12'51,42''$ e **401,54 m**; até o vértice P1705,

de coordenadas N 7740864,81 m e E 403988,93 m; deste, segue com os seguintes azimute plano e distância: 27°14'58,51" e 475,43 m; até o vértice P1706, de coordenadas N 7741287,48 m e E 404206,62 m; deste, segue com os seguintes azimute plano e distância: 33°23'8,40" e 439,22 m; até o vértice P1707, de coordenadas N 7741654,22 m e E 404448,31 m; deste, segue com os seguintes azimute plano e distância: 58°12'48,22" e 355,80 m; até o vértice P1708, de coordenadas N 7741841,64 m e E 404750,74 m; deste, segue com os seguintes azimute plano e distância: 60°38'15,59" e 527,57 m; até o vértice P1709, de coordenadas N 7742100,32 m e E 405210,54 m; deste, segue com os seguintes azimute plano e distância: 60°52'26,36" e 410,86 m; até o vértice P1710, de coordenadas N 7742300,30 m e E 405569,45 m; deste, segue com os seguintes azimute plano e distância: 88°43'1,20" e 249,82 m; até o vértice P1711, de coordenadas N 7742305,89 m e E 405819,21 m; deste, segue com os seguintes azimute plano e distância: 97°11'35,23" e 229,57 m; até o vértice P1712, de coordenadas N 7742277,15 m e E 406046,97 m; deste, segue com os seguintes azimute plano e distância: 101°10'40,30" e 313,96 m; até o vértice P1713, de coordenadas N 7742216,29 m e E 406354,98 m; deste, segue com os seguintes azimute plano e distância: 106°32'44,18" e 405,51 m; até o vértice P1714, de coordenadas N 7742100,80 m e E 406743,70 m; deste, segue com os seguintes azimute plano e distância: 112°20'26,44" e 309,84 m; até o vértice P1715, de coordenadas N 7741983,03 m e E 407030,28 m; deste, segue com os seguintes azimute plano e distância: 133°32'37,18" e 160,10 m; até o vértice P1716, de coordenadas N 7741872,73 m e E 407146,33 m; deste, segue com os seguintes azimute plano e distância: 128°20'55,80" e 176,93 m; até o vértice P1717, de coordenadas N 7741762,96 m e E 407285,09 m; deste, segue com os seguintes azimute plano e distância: 34°42'27,54" e 251,08 m; até o vértice P1718, de coordenadas N 7741969,37 m e E 407428,05 m; deste, segue com os seguintes azimute plano e distância: 2°48'54,71" e 316,85 m; até o vértice P1719, de coordenadas N 7742285,83 m e E 407443,62 m; deste, segue com os seguintes azimute plano e distância: 35°20'21,83" e 323,47 m; até o vértice P1720, de coordenadas N 7742549,70 m e E 407630,72 m; deste, segue com os seguintes azimute plano e distância: 57°54'13,19" e 330,46 m; até o vértice P1721, de coordenadas N 7742725,28 m e E 407910,66 m; deste, segue com os seguintes azimute plano e distância: 74°45'24,70" e 327,56 m; até o vértice P0, de coordenadas N 7742811,40 m e E 408226,70 m, encerrando esta descrição.

Todas as coordenadas aqui descritas estão georreferenciadas ao Sistema Geodésico Brasileiro e encontram-se representadas no sistema UTM, referenciadas ao Meridiano Central -45, Fuso 23S, tendo como DATUM SIRGAS 2000 . Todos os azimutes e distâncias, área e perímetro foram calculados no plano de projeção UTM.

07 de junho de 2024

ANEXO V

ANOTAÇÃO DE RESPONSABILIDADE TÉCNICA – ART



Conselho Regional de Engenharia e Agronomia de Minas Gerais

INICIAL

1. Responsável Técnico

IGOR MESSIAS DA SILVA

Título profissional: **TECNÓLOGO EM SANEAMENTO AMBIENTAL, ENGENHEIRO AMBIENTAL**

RNP: **1405324392**

Registro: **MG0000099746D MG**

2. Dados do Contrato

Contratante: **Shirley Elaine Gonçalves Rezende**

CPF/CNPJ: [REDACTED]

Nº: [REDACTED]

Complemento:

Bairro: **Centro**

Cidade: [REDACTED]

UF: **MG**

CEP: [REDACTED]

Contrato: **Não especificado**

Celebrado em: **06/09/2023**

Valor: [REDACTED]

Tipo de contratante: **Pessoa Física**

Ação Institucional: **Outros**

3. Dados da Obra/Serviço

RUA Visconde de Ouro Preto

Nº: **435**

Complemento:

Bairro: **Centro**

Cidade: **PIUMHI**

UF: **MG**

CEP: **37925000**

Data de Início: **11/09/2023**

Previsão de término: **14/06/2024**

Coordenadas Geográficas: **0, 0**

Finalidade: **AMBIENTAL**

Código: **Não Especificado**

Proprietário: **Shirley Elaine Gonçalves Rezende**

CPF/CNPJ: [REDACTED]

4. Atividade Técnica

10 - Coordenação

40 - Estudo > MEIO AMBIENTE > GESTÃO AMBIENTAL > #7.6.6 - DE ESTUDOS AMBIENTAIS

Quantidade

Unidade

1,00

un

Após a conclusão das atividades técnicas o profissional deve proceder a baixa desta ART

5. Observações

Coordenação de Estudo Técnico para criação da Área de Proteção Ambiental Serras e Águas de Piumhi

6. Declarações

- Declaro estar ciente de que devo cumprir as regras de acessibilidade previstas nas normas técnicas da ABNT, na legislação específica e no decreto n. 5296/2004.

- Cláusula Compromissória: Qualquer conflito ou litígio originado do presente contrato, bem como sua interpretação ou execução, será resolvido por arbitragem, de acordo com a Lei no. 9.307, de 23 de setembro de 1996, por meio da Câmara de Mediação e Arbitragem - CMA vinculada ao Crea-MG, nos termos do respectivo regulamento de arbitragem que, expressamente, as partes declararam concordar

- Declaro, nos termos da Lei Federal nº 13.709, de 14 de agosto de 2018 - Lei Geral de Proteção de Dados Pessoais (LGPD), que estou ciente de que meus dados pessoais e eventuais documentos por mim apresentados nesta solicitação serão utilizados conforme a Política de Privacidade do CREA-MG, que encontra-se à disposição no seguinte endereço eletrônico: <https://www.crea-mg.org.br/transparencia/gpd/politica-privacidade-dados>. Em caso de cadastro de ART para PESSOA FÍSICA, declaro que informei ao CONTRATANTE e ao PROPRIETÁRIO que para a emissão desta ART é necessário cadastrar nos sistemas do CREA-MG, em campos específicos, os seguintes dados pessoais: nome, CPF e endereço. Por fim, declaro que estou ciente que é proibida a inserção de qualquer dado pessoal no campo "observação" da ART, seja meu ou de terceiros.

- Declaro, nos termos da Lei Federal nº 13.709, de 14 de agosto de 2018 - Lei Geral de Proteção de Dados Pessoais (LGPD), que estou ciente de que não posso compartilhar a ART com terceiros sem o devido consentimento do contratante e/ou do(a) proprietário(a), exceto para cumprimento de dever legal.

7. Entidade de Classe

APEA-TMAPS - Associação dos Profissionais de Engenharia Ambiental do Triângulo Mineiro, Alto Paranaíba e Sul de Minas

8. Assinaturas

Declaro serem verdadeiras as informações acima

Piumhi, 10 de junho de 2024

Local

data

IGOR MESSIAS DA SILVA - CPF: [REDACTED]

Shirley Elaine Gonçalves Rezende - CPF: [REDACTED]

9. Informações

* A ART é válida somente quando quitada, mediante apresentação do comprovante do pagamento ou conferência no site do Crea.

10. Valor

Valor da ART: R\$ [REDACTED]

Registrada em: **10/06/2024**

Valor pago: R\$ [REDACTED]

Nossa Número: **8604945077**

A autenticidade desta ART pode ser verificada em: <https://crea-mg.sitac.com.br/publico/>, com a chave: AY540
Impresso em: 10/06/2024 às 15:03:02 por: , ip: 155.190.28.6

